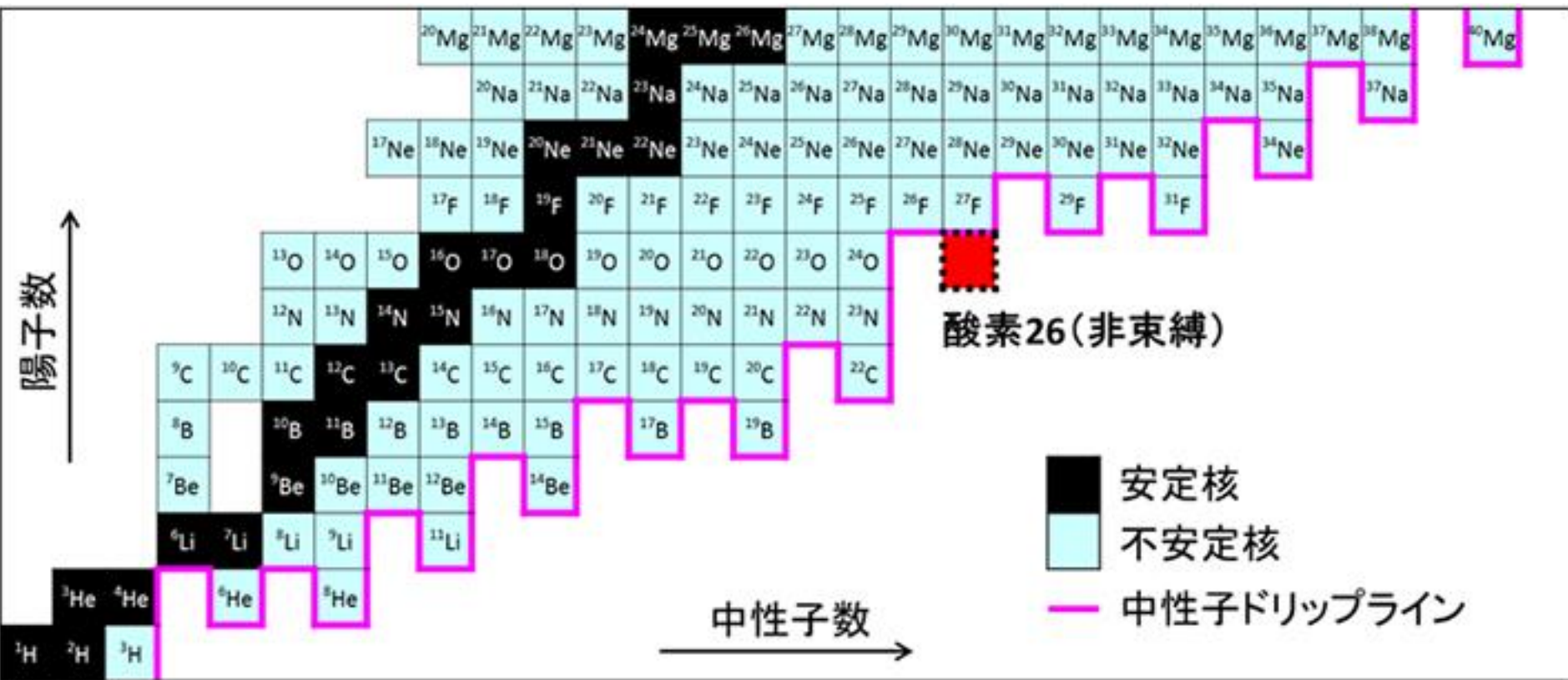


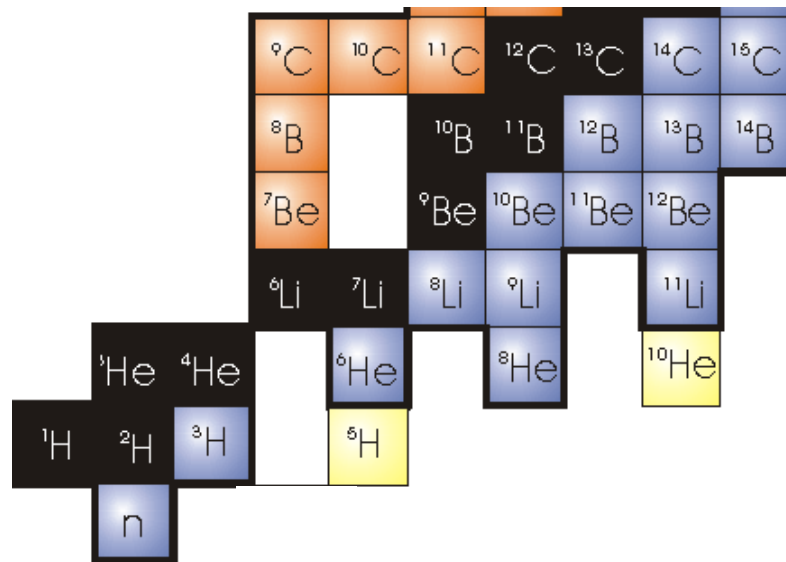
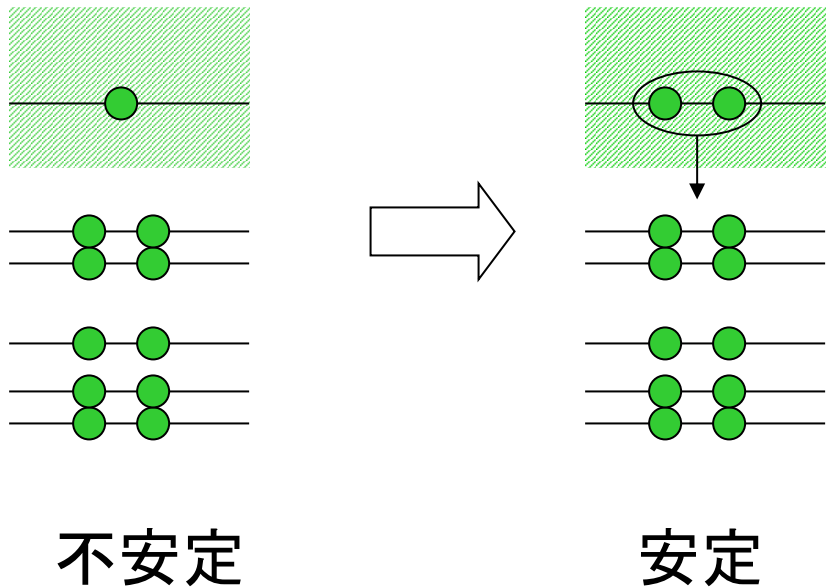
## 5&6. 中性子過剰核における対相関



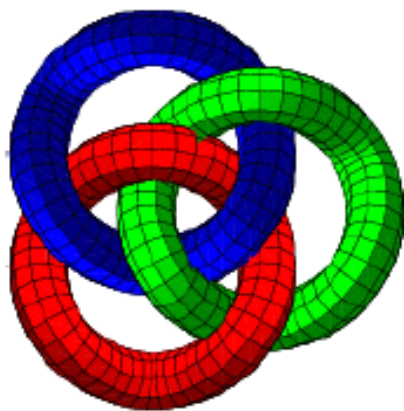
東工大プレスリリースの図より

なぜドリップラインがギザギザなのか？

# 核子間の対相関のため



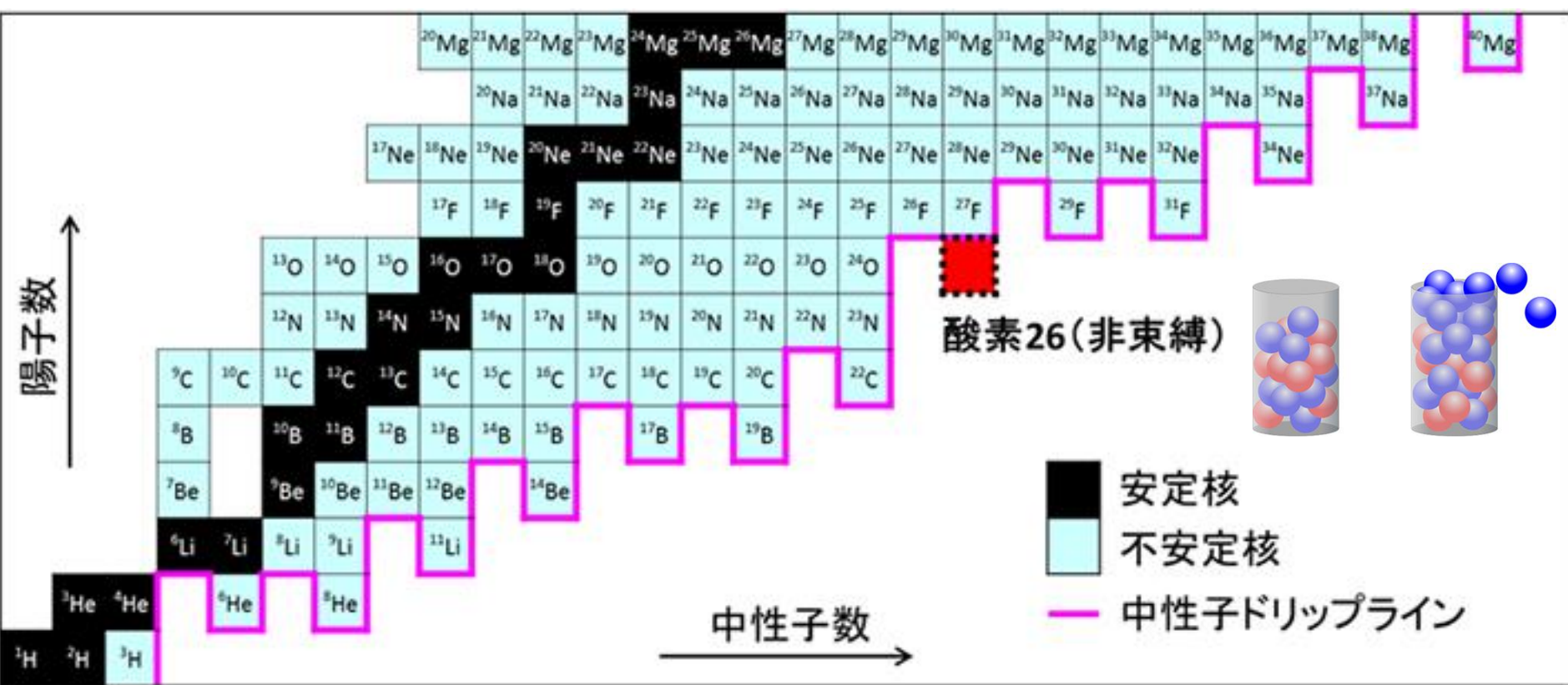
## ボロミアン原子核



2体では束縛しないが3体系として束縛

$${}^6\text{He} = {}^4\text{He} + n + n$$

$${}^{11}\text{Li} = {}^9\text{Li} + n + n \quad \text{など}$$



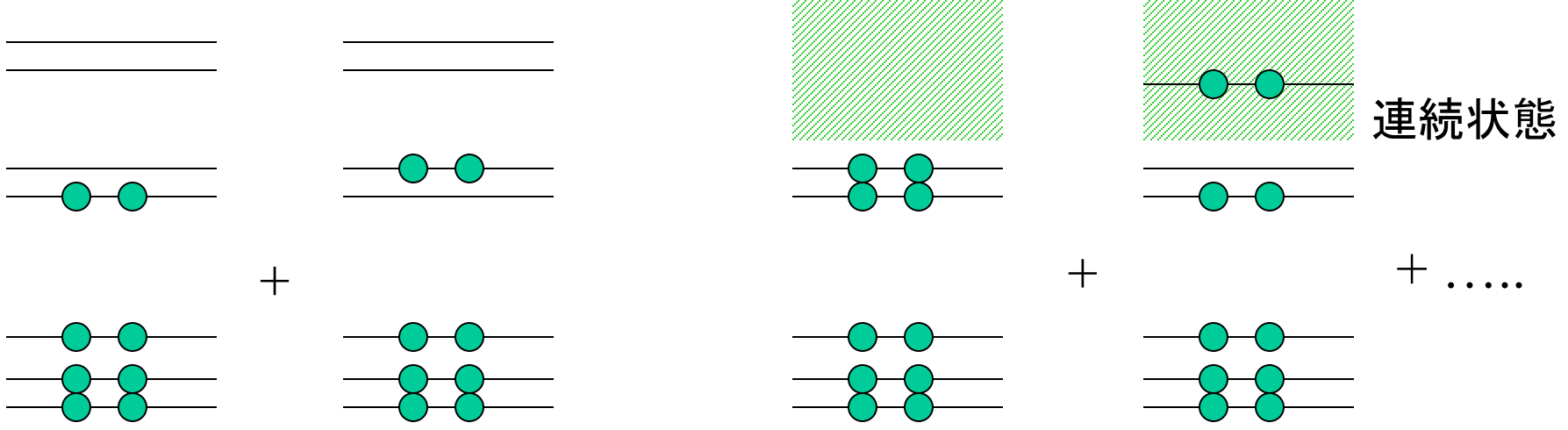
東工大プレスリリースの図より

- ✓ なぜドリップラインがギザギザなのか? → 対相関のため
- ✓ ドリップラインを越えても、障壁があれば共鳴状態として原子核が存在

# 弱束縛核における対相関

$$H = \sum_i T_i + \sum_{i < j} v_{ij} \rightarrow H = \sum_i (T_i + V_i) + \underbrace{\sum_{i < j} v_{ij} - \sum_i V_i}_{\text{平均からのずれ (残留相互作用)}}$$

平均からのずれ  
(残留相互作用)



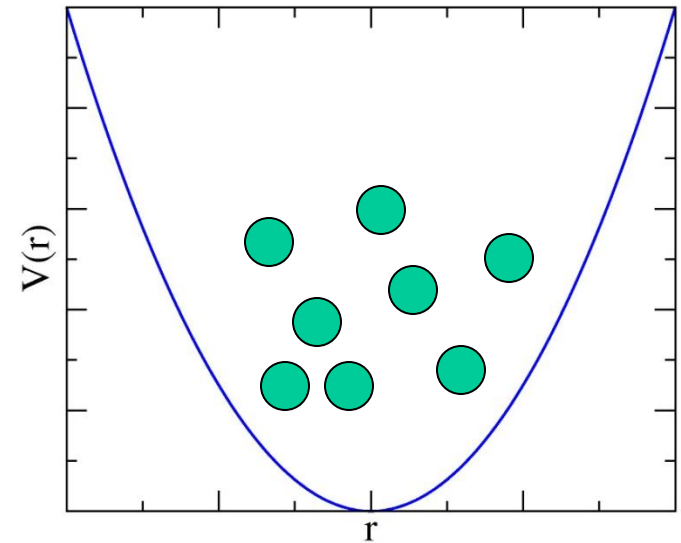
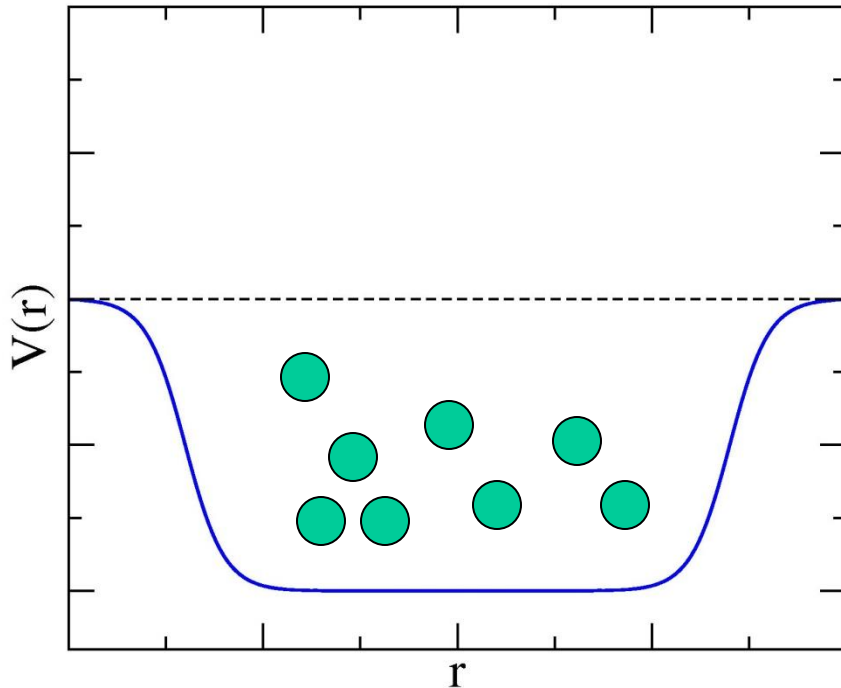
安定な原子核  
→ 超流動状態

弱く束縛された系

# 中性子過剰核の物理

- ✓ 弱束縛系
- ✓ 残留相互作用(対相関)
- ✓ 連続状態との結合

ポテンシャルの井戸に束縛された相互作用する多フェルミオン系



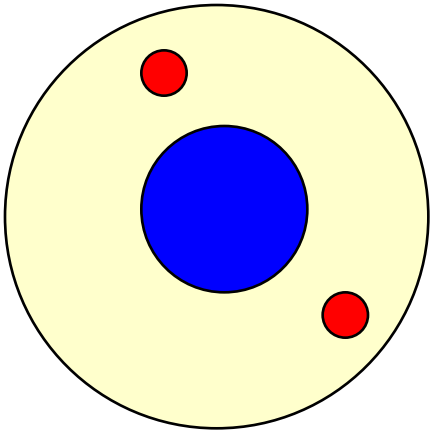
cf. a harmonic trap

- 有限の深さを持つ井戸
- 自己無撞着性



とてもチャレンジングな問題

# ダイ・ニュートロン相関



原子核中での2中性子の空間的配置?

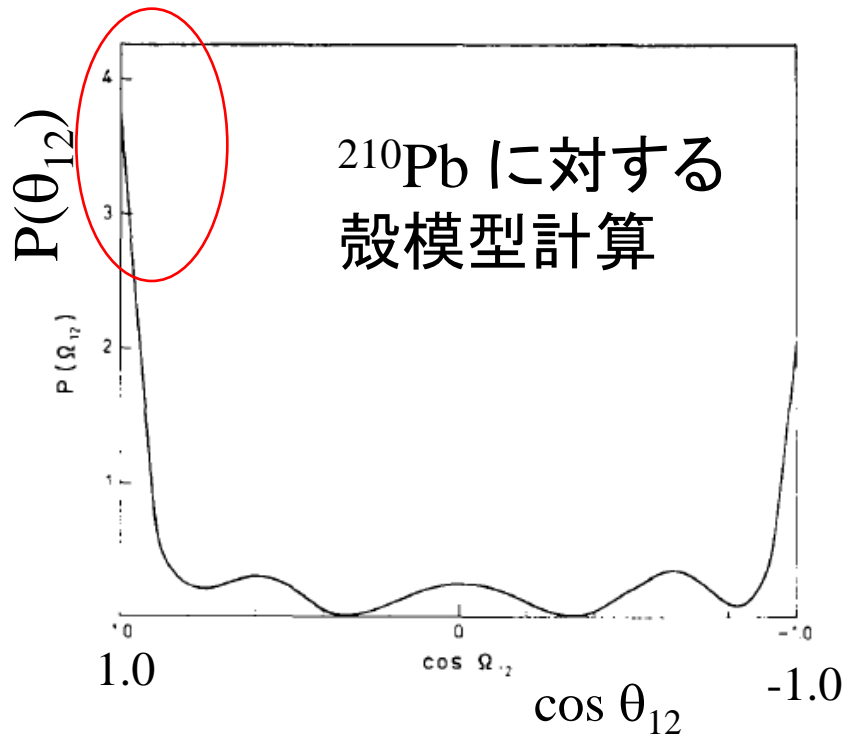
独立粒子

→片方の中性子がどこにいようとも関知せず

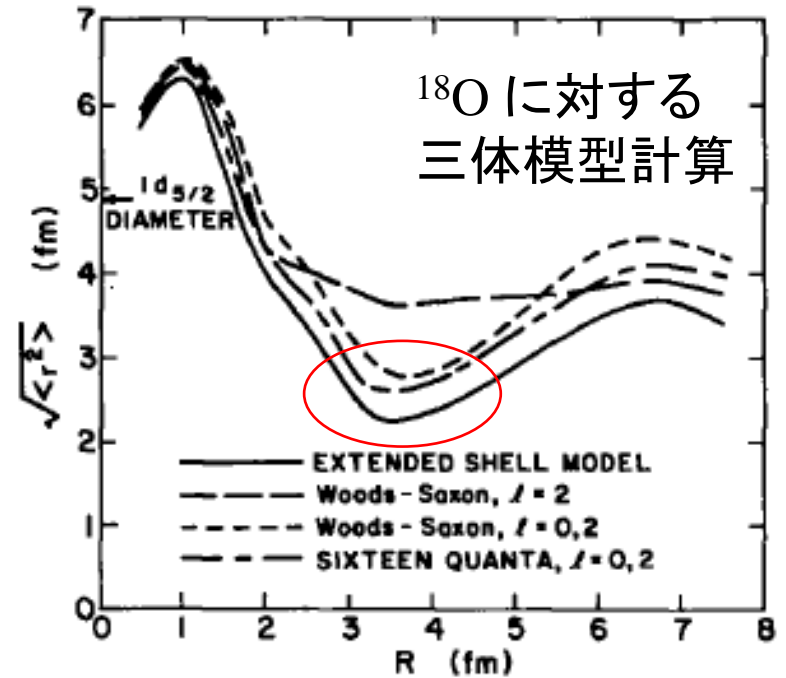


対相関が働くとどうなるか?

この問題はかなり古くから議論されてきた



G.F. Bertsch, R.A. Broglia, and C. Riedel,  
NPA91('67)123



R.H. Ibarra et al.,  
NPA288('77)397

2中性子は空間的に局在している(ダイ・ニュートロン相関)

cf. A.B. Migdal, "Two interacting particles in a potential well",  
Soviet J. of Nucl. Phys. 16 ('73) 238.



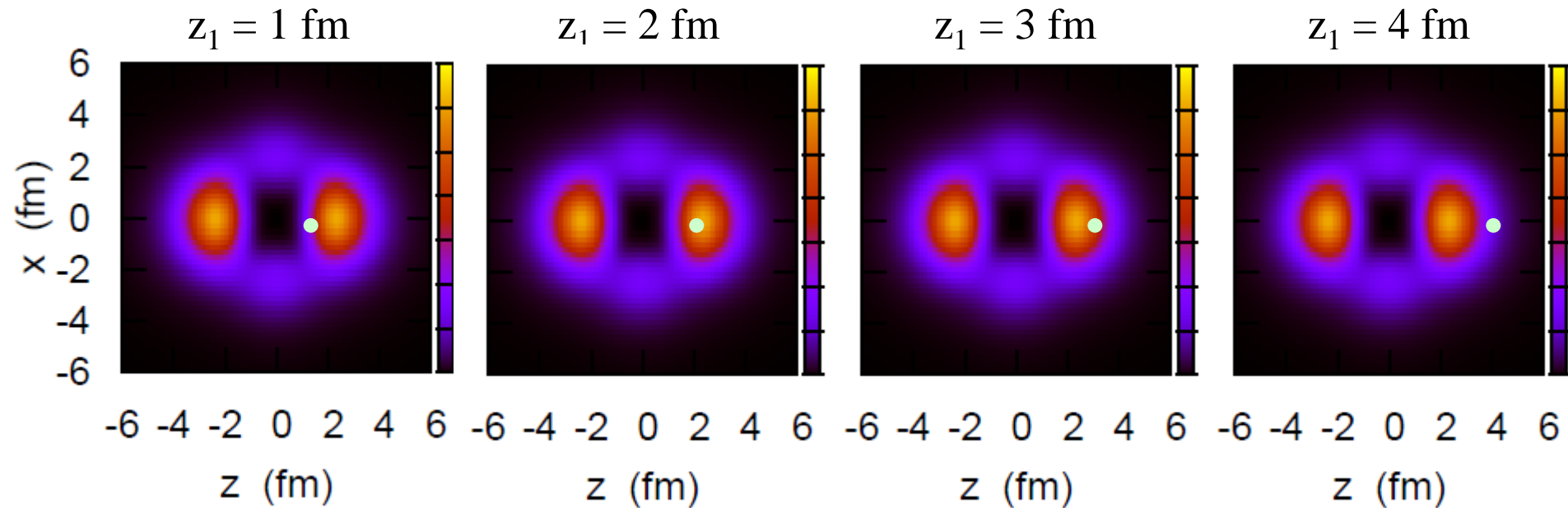
## Dineutron 相関とはどういうものか?

相関:  $\langle AB \rangle \neq \langle A \rangle \langle B \rangle$

例)  $^{18}\text{O} = ^{16}\text{O} + n + n$  cf.  $^{16}\text{O} + n$ : 3つの束縛状態 ( $1d_{5/2}$ ,  $2s_{1/2}$ ,  $1d_{3/2}$ )

i) 2中性子相関がない場合  $|nn\rangle = |(1d_{5/2})^2\rangle$

中性子1を  $z_1$  に置いたときの中性子2の分布:



✓ 2つの粒子が独立に運動

✓ 中性子1がどこにいても中性子2の分布は影響されない

$$\langle AB \rangle = \langle A \rangle \langle B \rangle$$

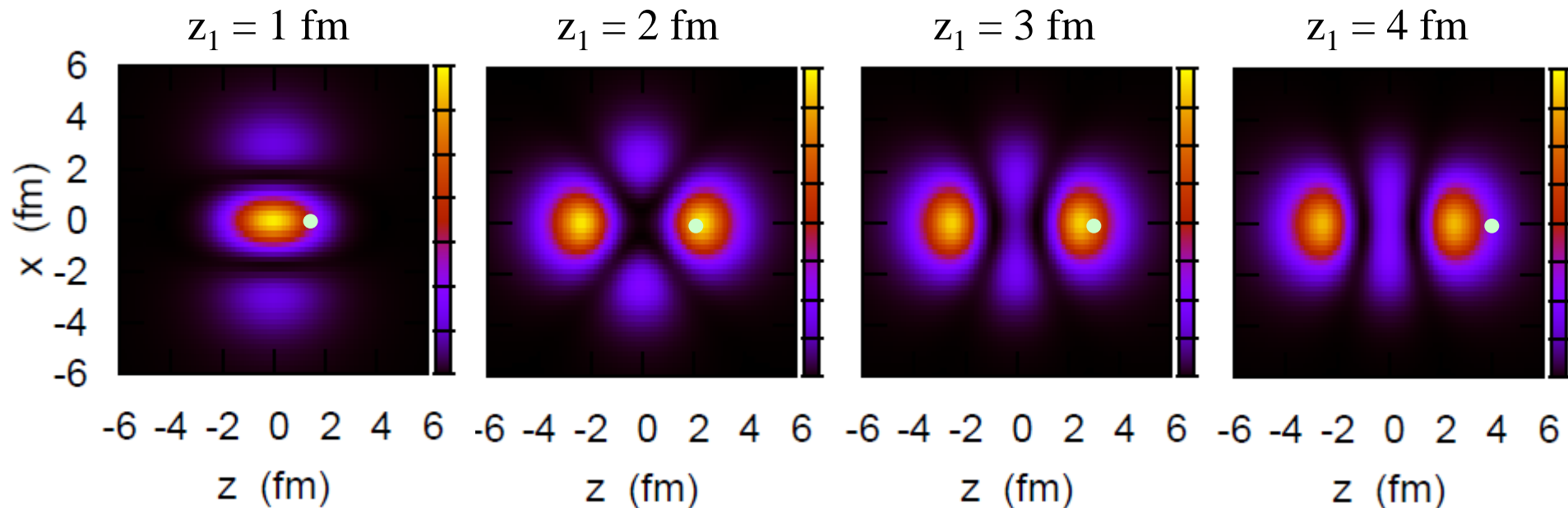
## Dineutron 相関とはどういうものか?

相関:  $\langle AB \rangle \neq \langle A \rangle \langle B \rangle$

例)  $^{18}\text{O} = ^{16}\text{O} + n + n$  cf.  $^{16}\text{O} + n$ : 3つの束縛状態 ( $1d_{5/2}$ ,  $2s_{1/2}$ ,  $1d_{3/2}$ )

ii) 2中性子相関が同パリティ状態(束縛状態)にのみ働く場合

$$|nn\rangle = \alpha |(1d_{5/2})^2\rangle + \beta |(2s_{1/2})^2\rangle + \gamma |(1d_{3/2})^2\rangle$$

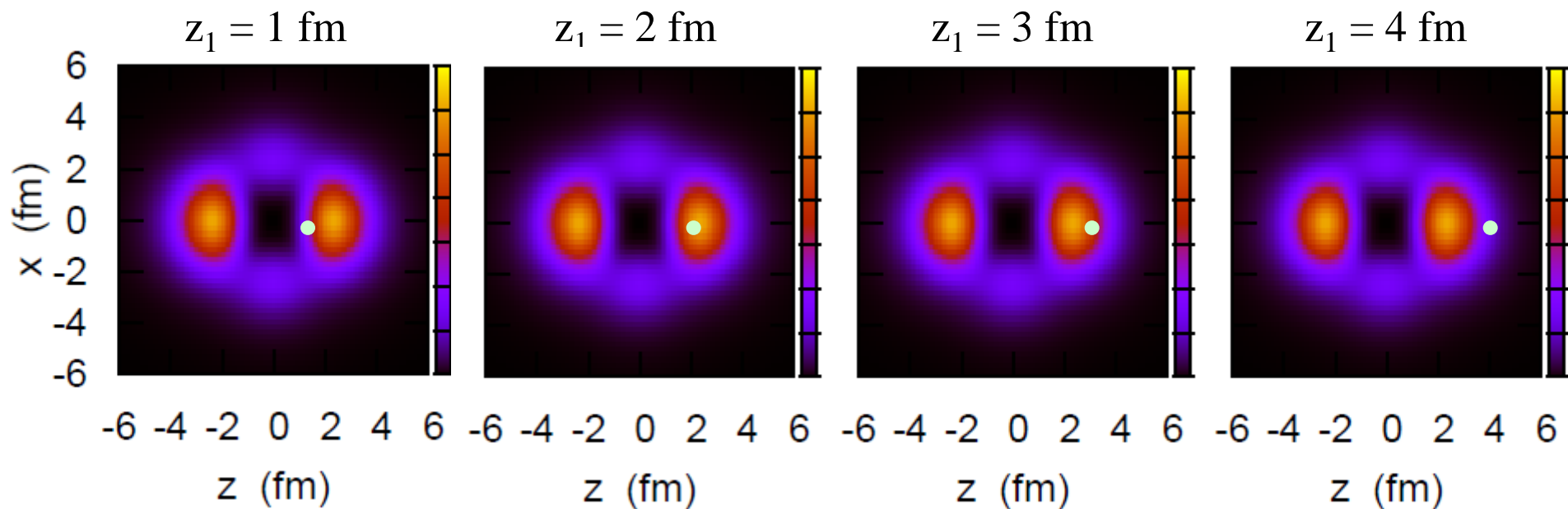


✓ 中性子1とともに中性子2の分布が変化 (2中性子相関)

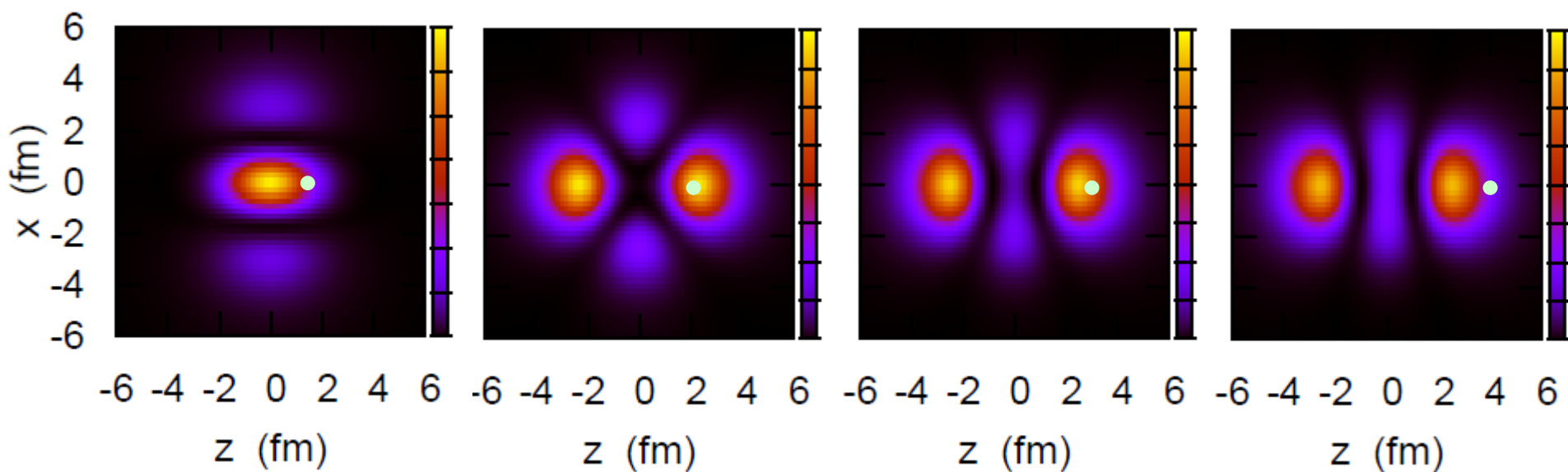
✓ ただし、中性子2は  $z_1$  と  $-z_1$  の両方にピーク

→ このようなものは di-neutron 相関とは言わない

## 相関なし



## 相関あり



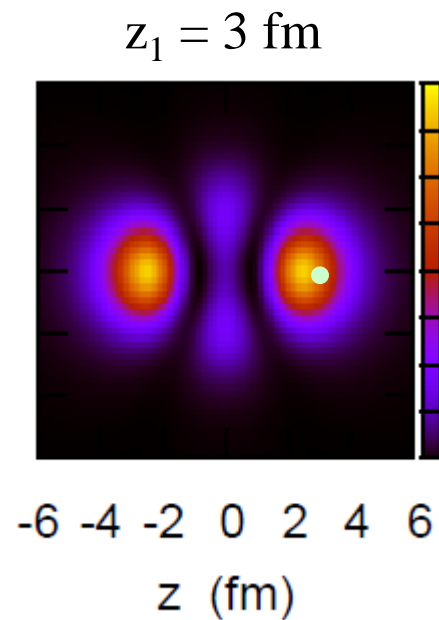
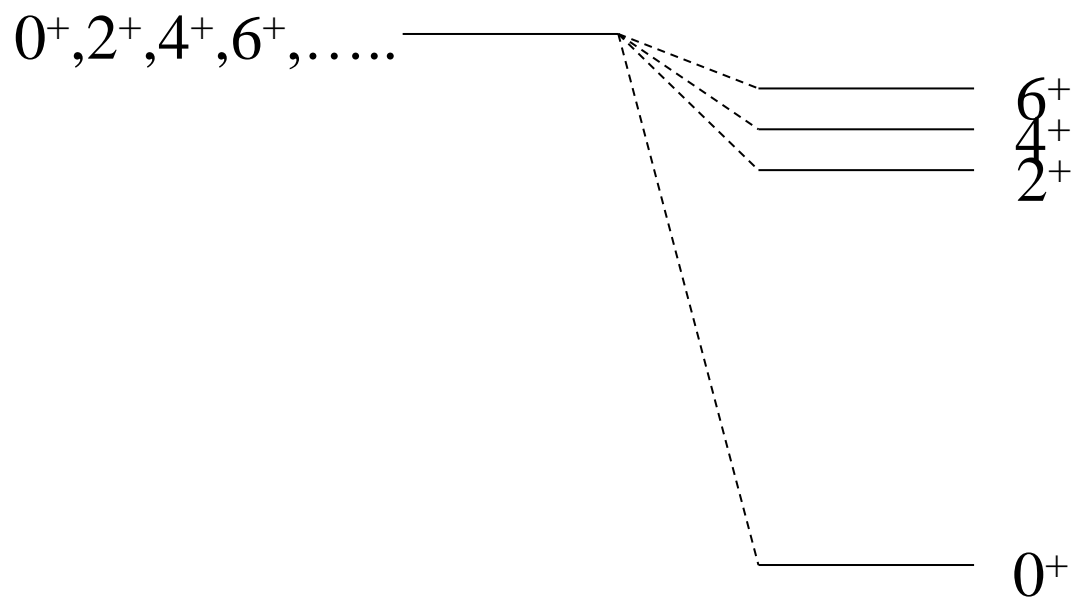
## Dineutron 相関とはどういうものか?

相関:  $\langle AB \rangle \neq \langle A \rangle \langle B \rangle$

例)  $^{18}\text{O} = ^{16}\text{O} + n + n$  cf.  $^{16}\text{O} + n$ : 3つの束縛状態 ( $1d_{5/2}$ ,  $2s_{1/2}$ ,  $1d_{3/2}$ )

ii) 2中性子相関が同パリティ状態(束縛状態)にのみ働く場合

$$|nn\rangle = \alpha|(1d_{5/2})^2\rangle + \beta|(2s_{1/2})^2\rangle + \gamma|(1d_{3/2})^2\rangle$$



ペ어링を適当に効かせても2中性子の空間分布がコンパクトになるとは限らない

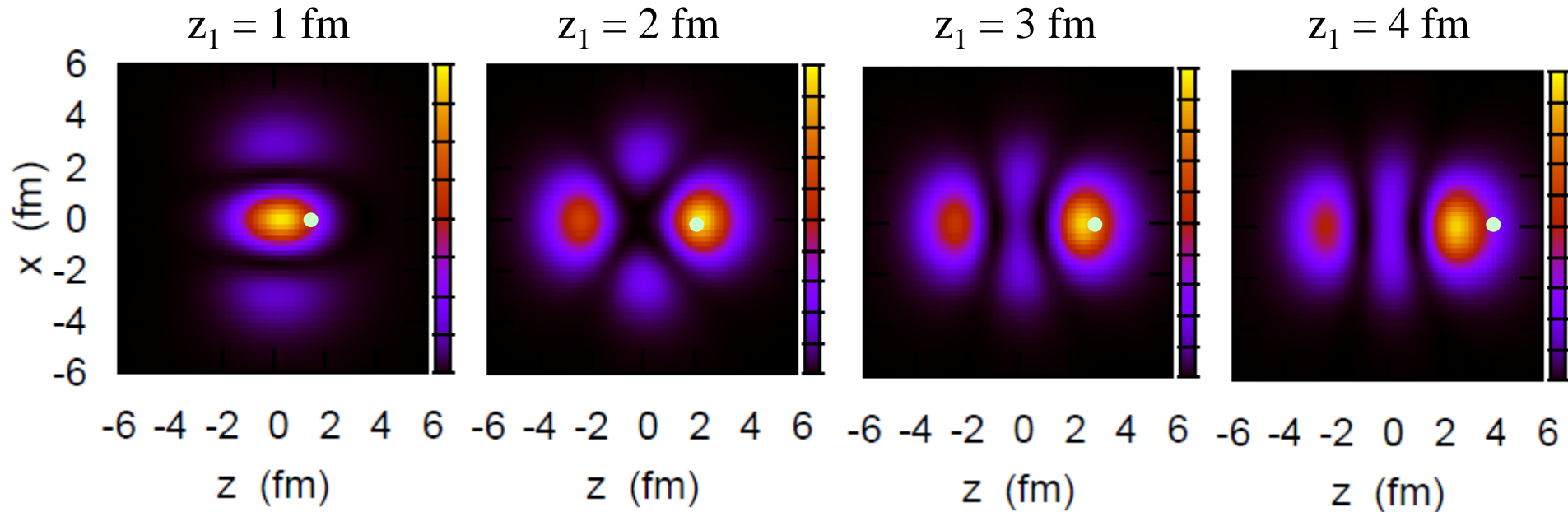
# Dineutron 相関とはどういうものか?

相関:  $\langle AB \rangle \neq \langle A \rangle \langle B \rangle$

例)  $^{18}\text{O} = ^{16}\text{O} + n + n$  cf.  $^{16}\text{O} + n$ : 3つの束縛状態 ( $1d_{5/2}$ ,  $2s_{1/2}$ ,  $1d_{3/2}$ )

iii) 2中性子相関が連続状態にも働く場合

$$|nn\rangle = \sum_{n,n',j,l} C_{nn'jl} |(nn'jl)^2\rangle$$



✓空間的な相関: 中性子2の密度は中性子1側にかたよる

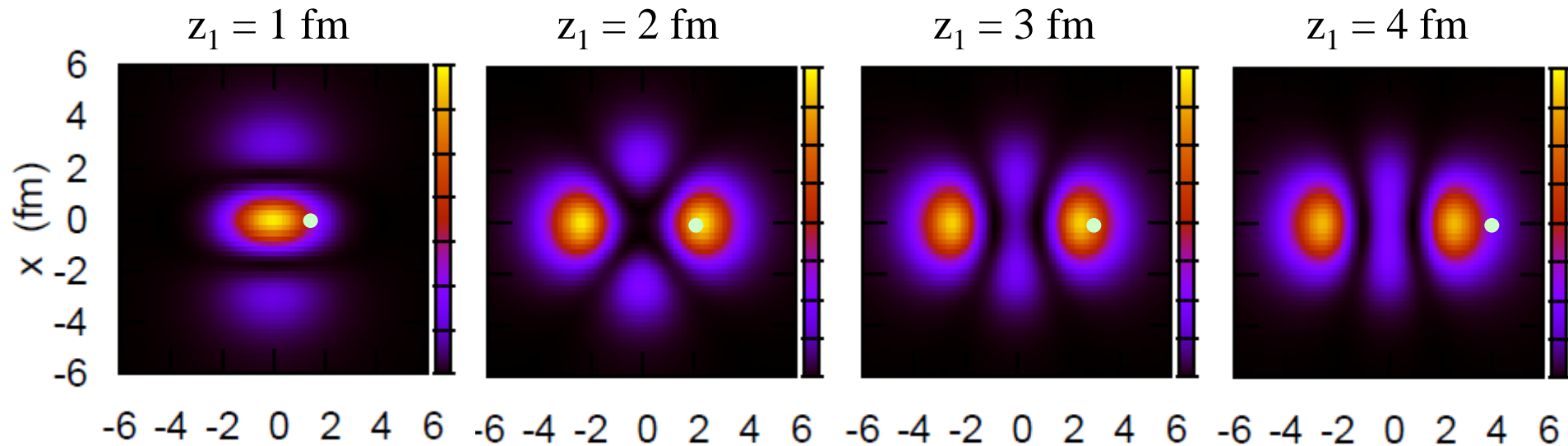
✓パリティ混合が本質的な役割

(dineutron 相関)

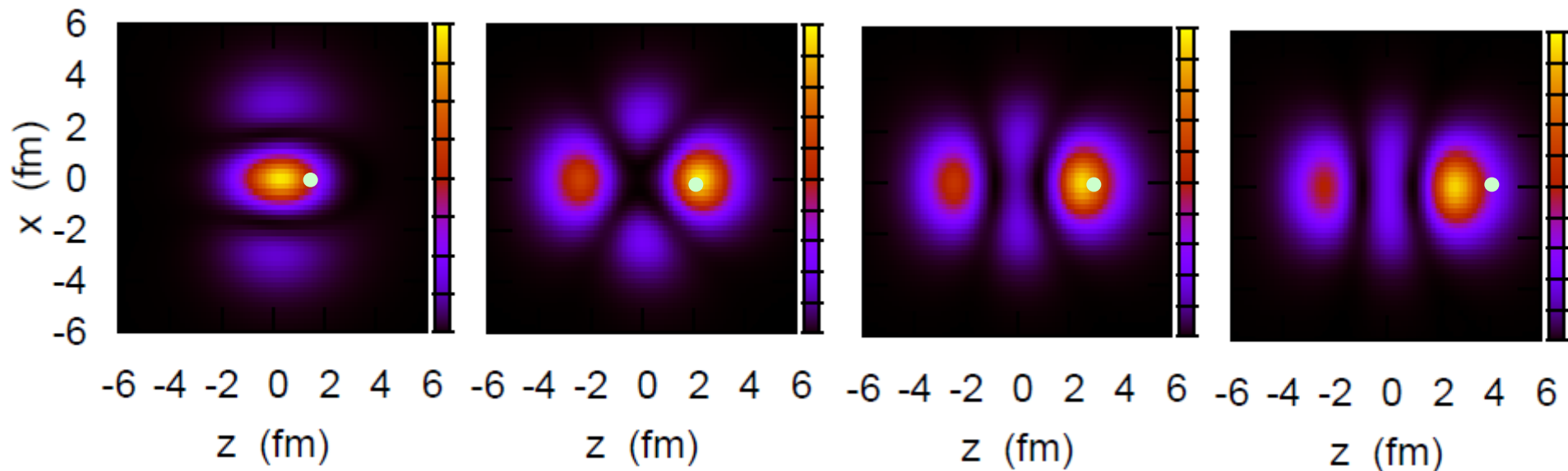
cf. F. Catara, A. Insolia, E. Maglione, and A. Vitturi, PRC29('84)1091

例)  $^{18}\text{O} = ^{16}\text{O} + n + n$  cf.  $^{16}\text{O} + n$  : 3つの束縛状態 ( $1d_{5/2}$ ,  $2s_{1/2}$ ,  $1d_{3/2}$ )

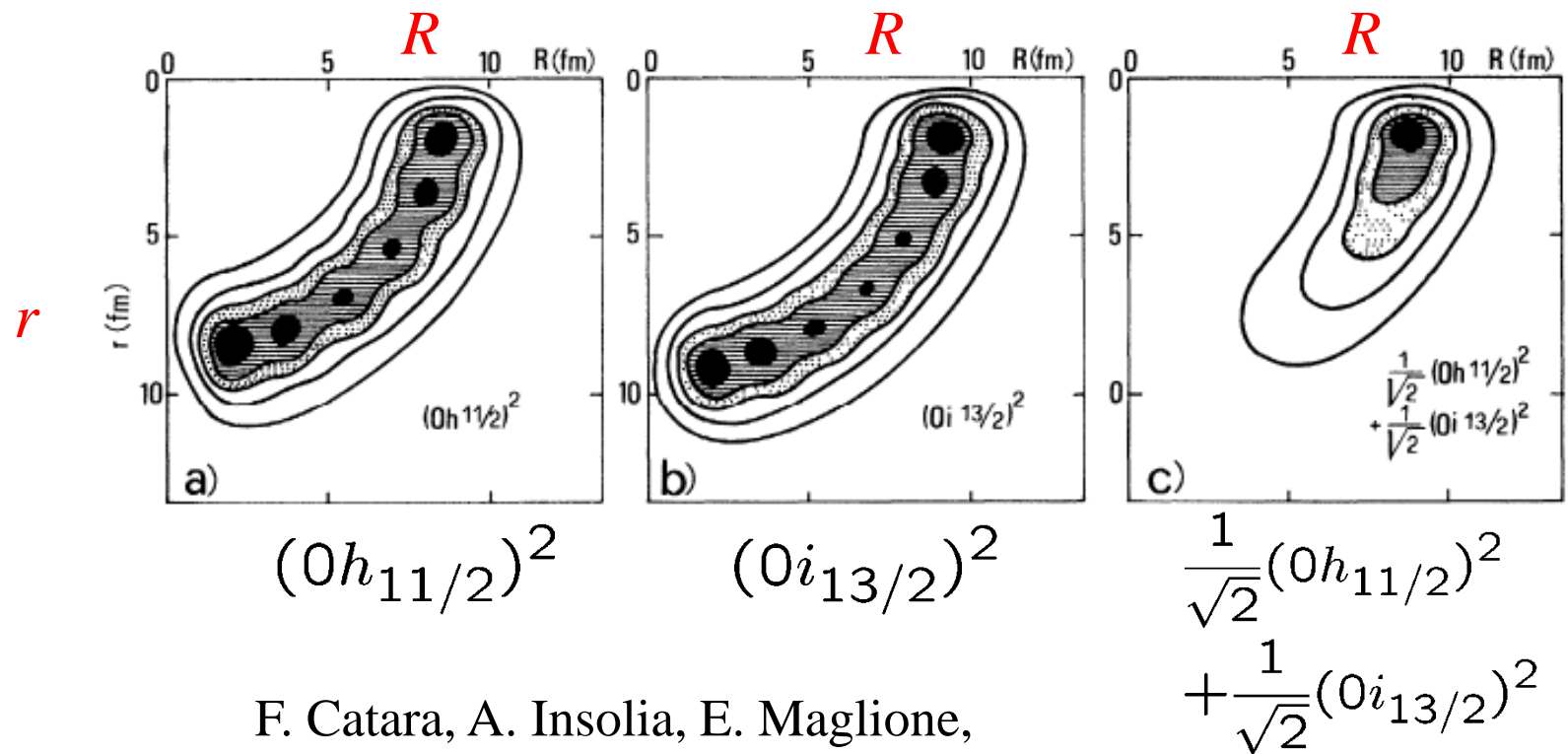
i) 正パリティのみ → 不十分



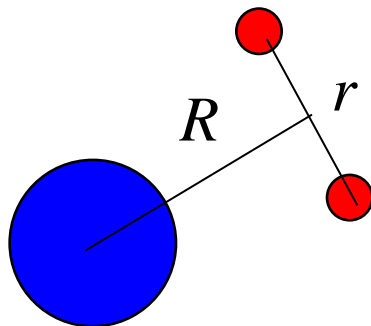
ii) 正 + 負パリティ (束縛 + 連続状態)



# dineutron 相関は異なるパリティ状態の混合によって生じる



F. Catara, A. Insolia, E. Maglione,  
and A. Vitturi, PRC29('84)1091



## なぜ違うパリティ状態の混合が重要か?

$$\Psi(\mathbf{r}, \mathbf{r}') = [C_{ee} \phi_e(\mathbf{r})\phi_e(\mathbf{r}') + C_{oo} \phi_o(\mathbf{r})\phi_o(\mathbf{r}')] |S = 0\rangle$$

とする。

➡  $\Psi(\mathbf{r}, -\mathbf{r}') = [C_{ee} \phi_e(\mathbf{r})\phi_e(\mathbf{r}') - C_{oo} \phi_o(\mathbf{r})\phi_o(\mathbf{r}')] |S = 0\rangle$

$$\rho(\mathbf{r}, \mathbf{r}) = C_{ee}^2 |\phi_e(\mathbf{r})|^4 + C_{oo}^2 |\phi_o(\mathbf{r})|^2$$

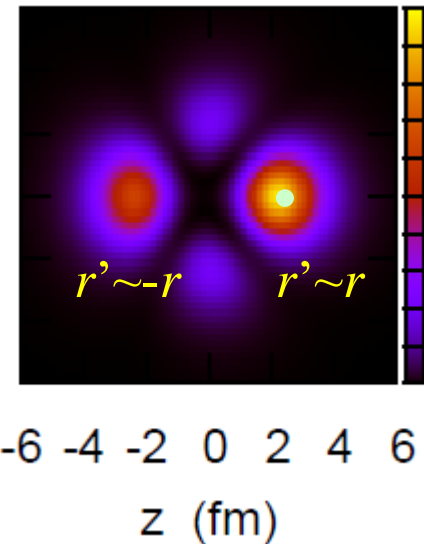
$+ C_{ee}C_{oo} [\phi_e^*(\mathbf{r})]^2 [\phi_o(\mathbf{r})]^2$

$$+ c.c.$$

$$\rho(\mathbf{r}, -\mathbf{r}) = C_{ee}^2 |\phi_e(\mathbf{r})|^4 + C_{oo}^2 |\phi_o(\mathbf{r})|^2$$

$- C_{ee}C_{oo} [\phi_e^*(\mathbf{r})]^2 [\phi_o(\mathbf{r})]^2$

$$+ c.c.$$



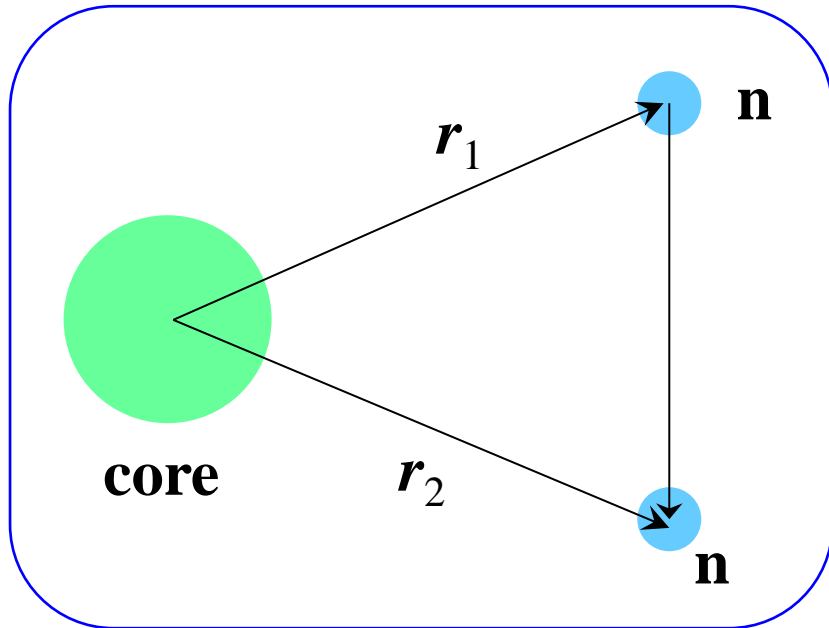
干渉項の入りが逆



# Bertsch-Esbensenの3体模型

$${}^{11}\text{Li} = {}^9\text{Li} + n + n$$

$${}^6\text{He} = {}^4\text{He} + n + n$$



G.F. Bertsch and H. Esbensen,  
Ann. of Phys. 209('91)327

H. Esbensen, G.F. Bertsch, K. Hencken,  
Phys. Rev. C56('99)3054

K.H. and H. Sagawa, PRC72('05)044321

密度に依存する接触型相互作用

$$v_{nn}(\mathbf{r}_1, \mathbf{r}_2) = v_0(1 + \alpha\rho_c(r)) \times \delta(\mathbf{r}_1 - \mathbf{r}_2)$$

V-座標

$$H = \frac{p_1^2}{2m} + \frac{p_2^2}{2m} + V_{nC}(r_1) + V_{nC}(r_2) + v_{nn} + \frac{(p_1 + p_2)^2}{2A_c m}$$

## 接触型相互作用

H. Esbensen, G.F. Bertsch, K. Hencken, Phys. Rev. C56('99)3054

$$v_{nn}(\mathbf{r}_1, \mathbf{r}_2) = v_0 \delta(\mathbf{r}_1 - \mathbf{r}_2)$$

$$v_0 = \frac{2\pi^2 \hbar^2}{m} \cdot \frac{2a_{nn}}{\pi - 2k_c a_{nn}}$$

\* この相互作用は有限核では強すぎる

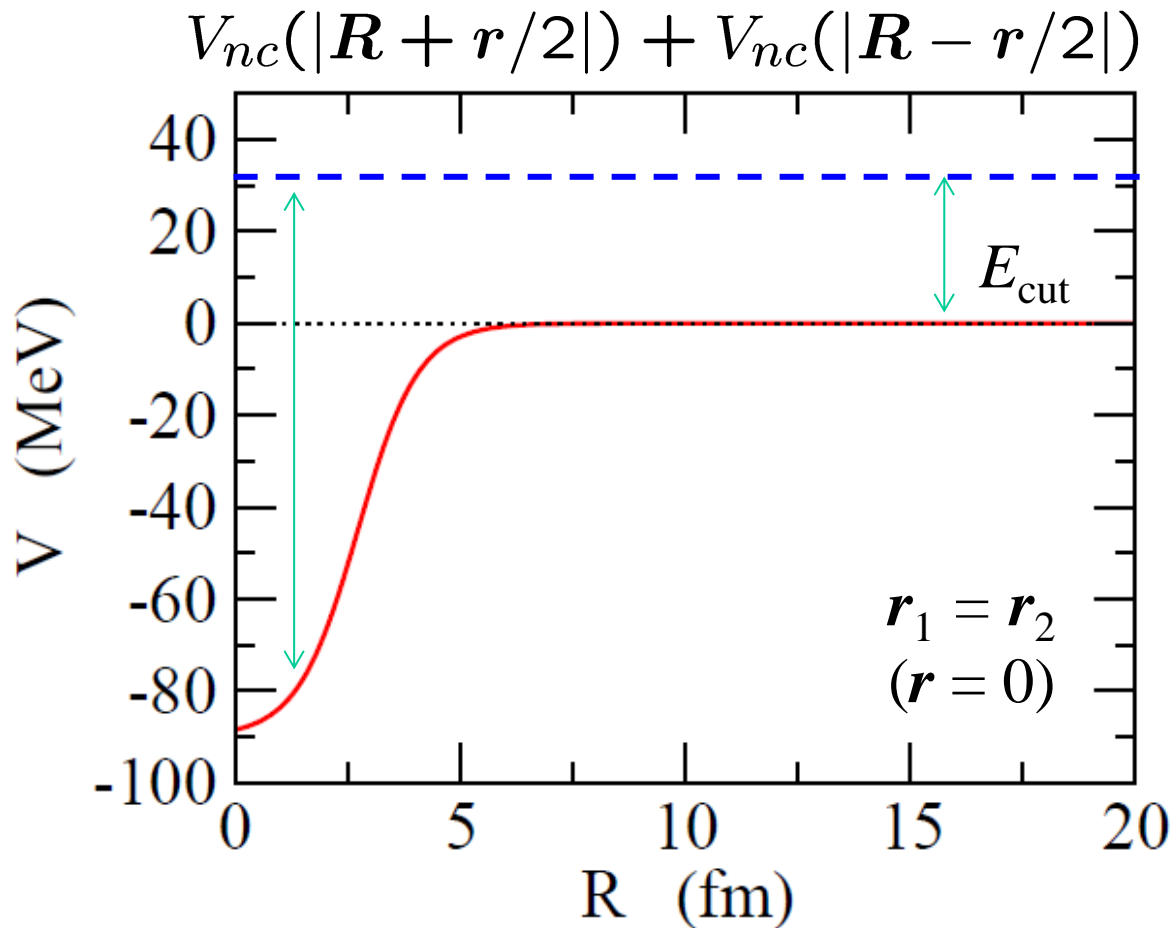
cf.  $^{18}\text{O}$  の3体計算:  $E = -28.1$  MeV (実験値は  $-12.2$  MeV)

→ 核内で引力を弱める(斥力項を密度依存型として導入)

$$v_{nn}(\mathbf{r}_1, \mathbf{r}_2) = \delta(\mathbf{r}_1 - \mathbf{r}_2) \left( v_0 + \frac{v_\rho}{1 + \exp[(r_1 - R_\rho)/a_\rho]} \right)$$

(密度依存性の詳細はよく分からないので、ここでは WS 型にする)

## 密度依存項の起源



- 核内(小さい  $R$ )では  $E_{\text{cut}}$  が実効的に大きくなる
  - 相互作用が実効的に強くなる
  - 核内で相互作用を弱める必要がある  
(密度依存項の導入)

## 基底状態の構造 ( $J^\pi = 0^+$ )

$$\begin{aligned} H &= \frac{p_1^2}{2m} + \frac{p_2^2}{2m} + V_{nC}(r_1) + V_{nC}(r_2) + v_{nn} + \frac{(p_1 + p_2)^2}{2A_c m} \\ &= \frac{p_1^2}{2\mu} + \frac{p_2^2}{2\mu} + V_{nC}(r_1) + V_{nC}(r_2) + v_{nn} + \frac{p_1 \cdot p_2}{A_c m} \end{aligned}$$
$$\frac{1}{\mu} = \frac{1}{m} + \frac{1}{A_c m}$$

波動関数を適当な基底で展開して対角化する

$$\begin{aligned} \Psi_{\text{gs}}(\mathbf{r}, \mathbf{r}') &= \sum_k \alpha_k \Phi_k(\mathbf{r}, \mathbf{r}') \\ \longrightarrow \sum_{k'} \langle \Phi_k | H | \Phi_{k'} \rangle \alpha_{k'} &= E \alpha_k \end{aligned}$$

## 基底状態の構造 ( $J^\pi = 0^+$ )

$$H = \frac{p_1^2}{2\mu} + \frac{p_2^2}{2\mu} + V_{nC}(r_1) + V_{nC}(r_2) + v_{nn} + \frac{\mathbf{p}_1 \cdot \mathbf{p}_2}{A_{cm}}$$

$v_{nn}$  及び  $\frac{\mathbf{p}_1 \cdot \mathbf{p}_2}{A_{cm}}$  がないときの解:

$$\Phi_{nn'lj}(\mathbf{r}, \mathbf{r}') = \mathcal{A}[\psi_{njl}(\mathbf{r})\psi_{n'jl}(\mathbf{r}')]^{(00)}$$

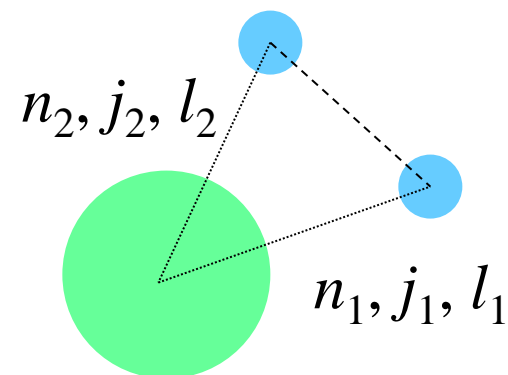
$$\left[ \frac{p^2}{2\mu} + V_{nC}(r) \right] \psi_{njlm_j}(\mathbf{r}) = \epsilon_{njl} \psi_{njlm_j}(\mathbf{r})$$

\*  $J = 0 \rightarrow j_1 = j_2, \pi = + \rightarrow l_1 = l_2$

この基底で波動関数を展開する:

$$\Psi_{gs}(\mathbf{r}, \mathbf{r}') = \sum_{nn'lj} \alpha_{nn'lj} \Phi_{nn'lj}(\mathbf{r}, \mathbf{r}')$$

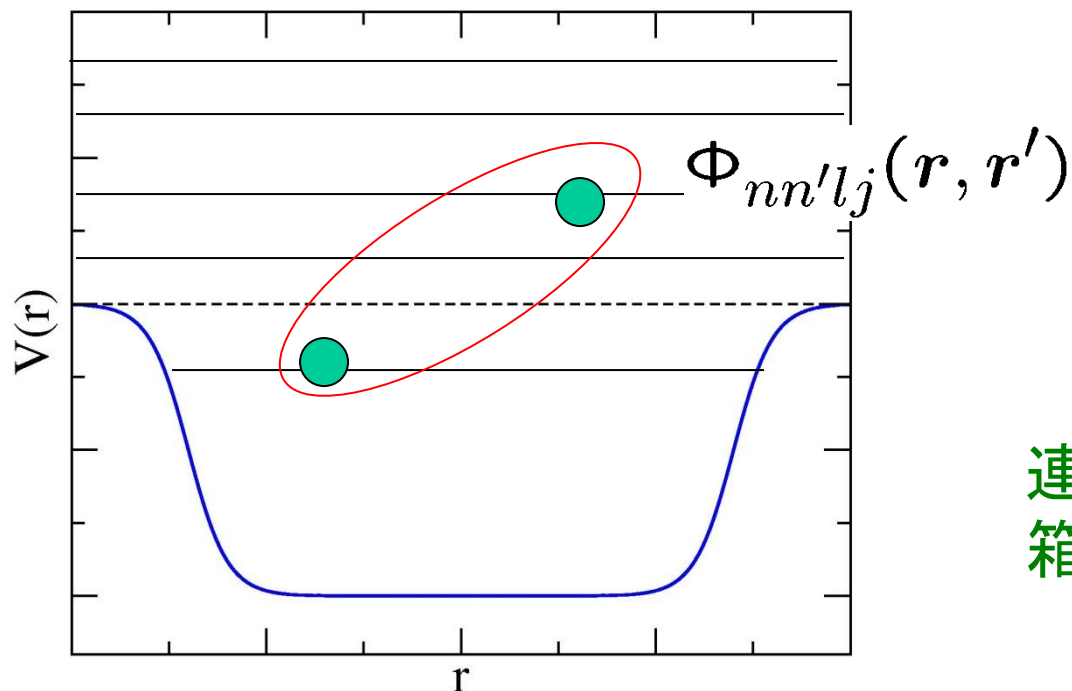
パウリ原理: 芯核の軌道は展開の基底から除外



## 基底状態の構造 ( $J^\pi = 0^+$ )

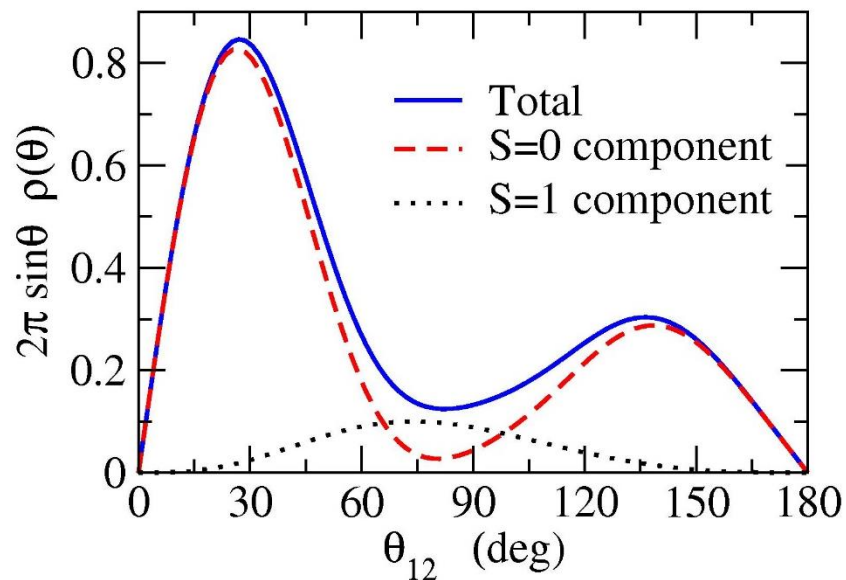
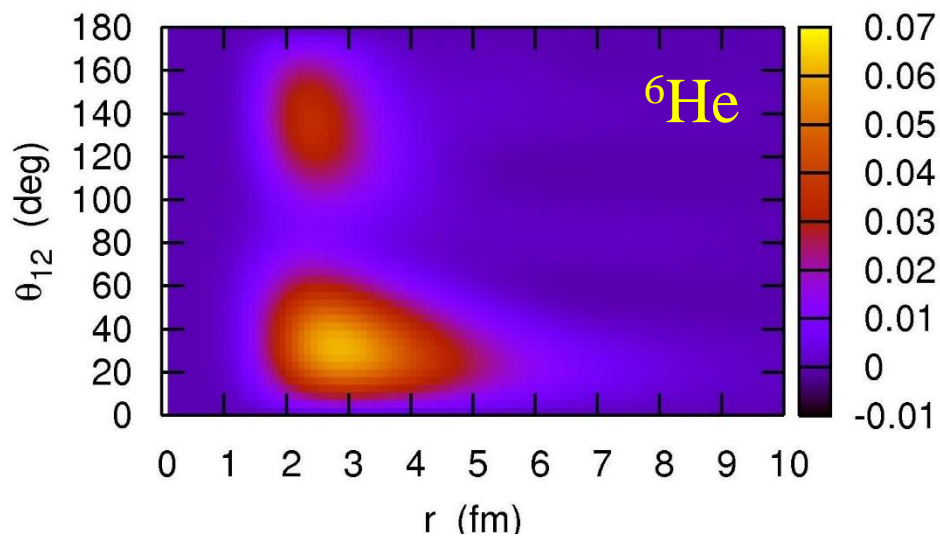
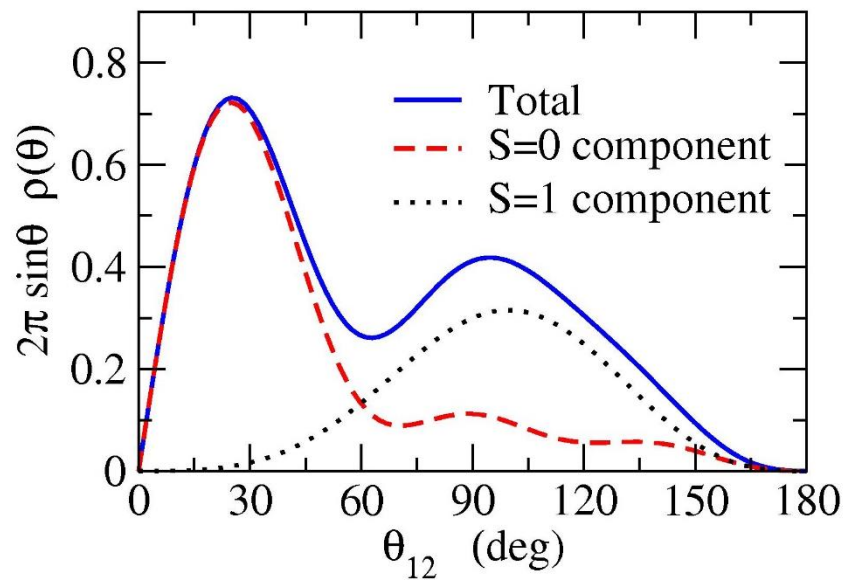
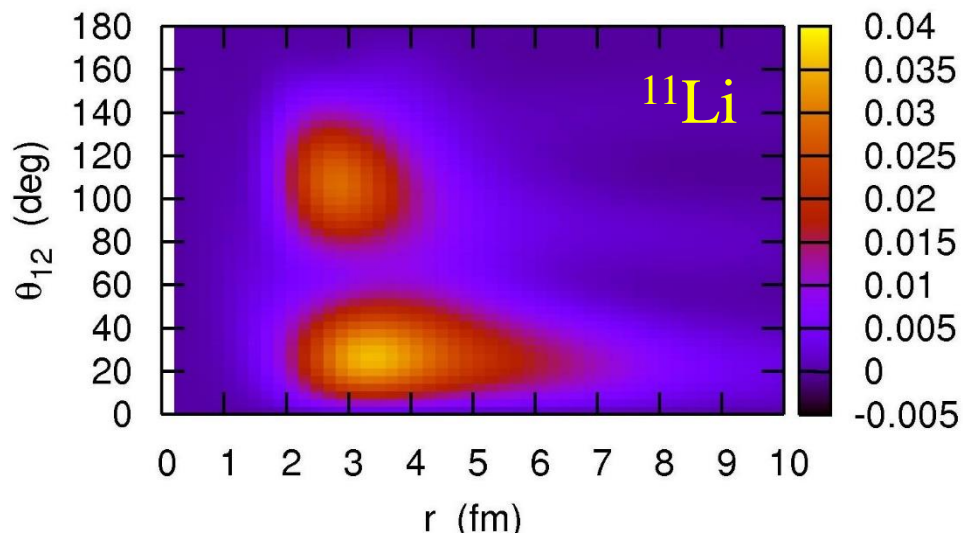
$$H = \frac{p_1^2}{2\mu} + \frac{p_2^2}{2\mu} + V_{nC}(r_1) + V_{nC}(r_2) + v_{nn} + \frac{\mathbf{p}_1 \cdot \mathbf{p}_2}{A_c m}$$

$$\Psi_{\text{gs}}(\mathbf{r}, \mathbf{r}') = \mathcal{A} \sum_{nn'lj} \alpha_{nn'lj} [\psi_{njl}(\mathbf{r}) \psi_{n'jl}(\mathbf{r}')]^{(00)}$$



連続状態(散乱状態)は  
箱の中に入れて離散化

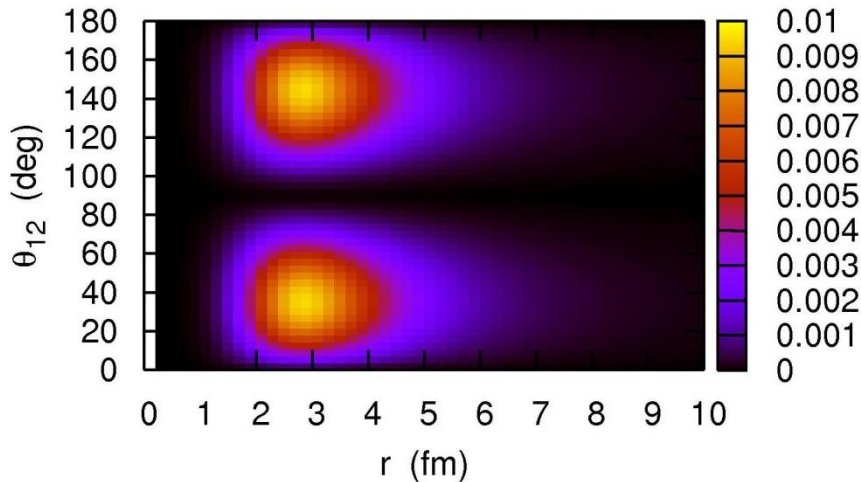
# $^{11}\text{Li}$ と $^6\text{He}$ の比較



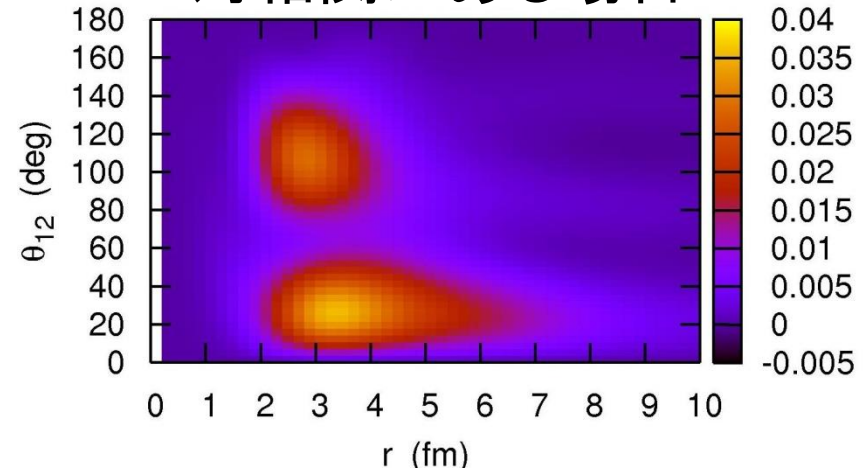
# 対相関力がある場合とない場合の比較:

$^{11}\text{Li}$

対相関がない場合  $[1p_{1/2}]^2$



対相関がある場合

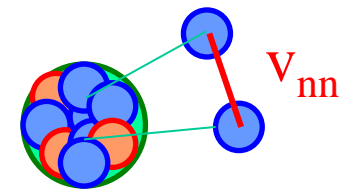


- 対相関がないと、2つの対称的なピーク ( $p_{1/2}$  状態を反映)。
  - 対相関があると、大きい  $\theta$  にあるピークが抑制され、小さい  $\theta$  にあるピークが増幅する (ダイニュートロン相関)。
  - 小さい  $\theta$  にあるピークのテールがのびる (ハロー構造)。
- ← 対相関による連続状態との結合の効果

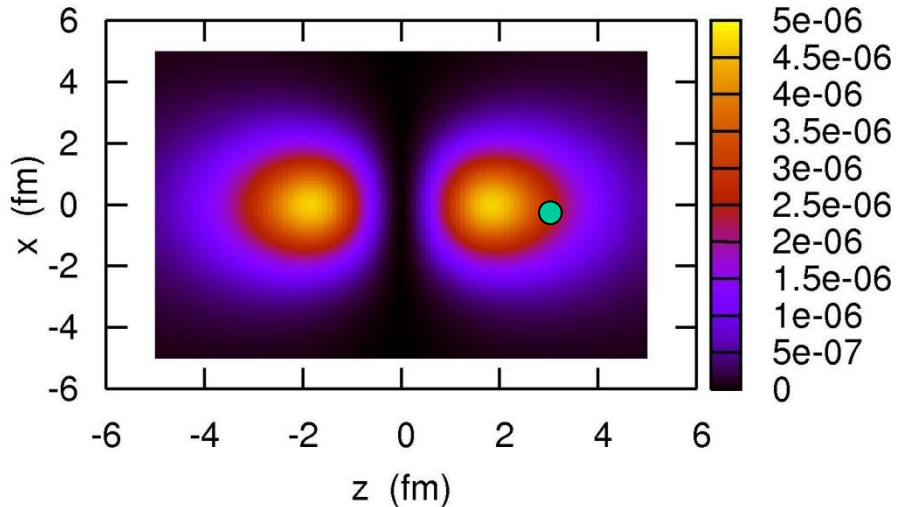


The ground state density:  $^{11}\text{Li} = ^9\text{Li} + n + n$

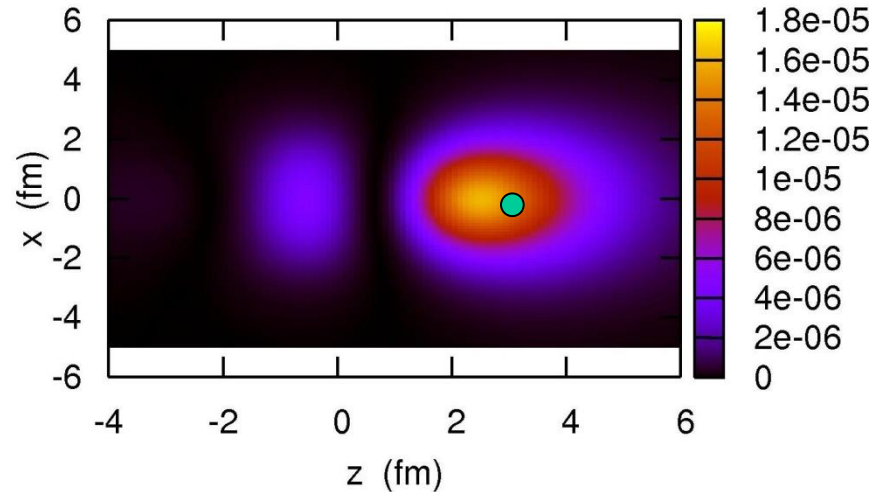
K.H. and H. Sagawa, PRC72 ('05) 044321



without nn interaction

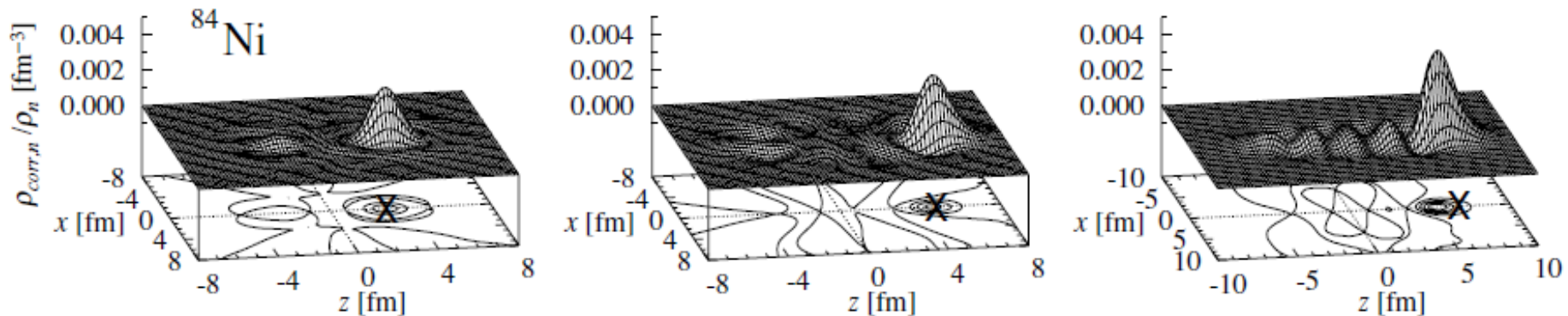


with nn interaction

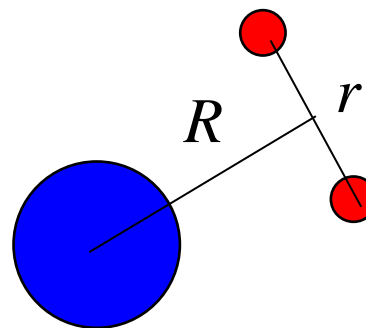
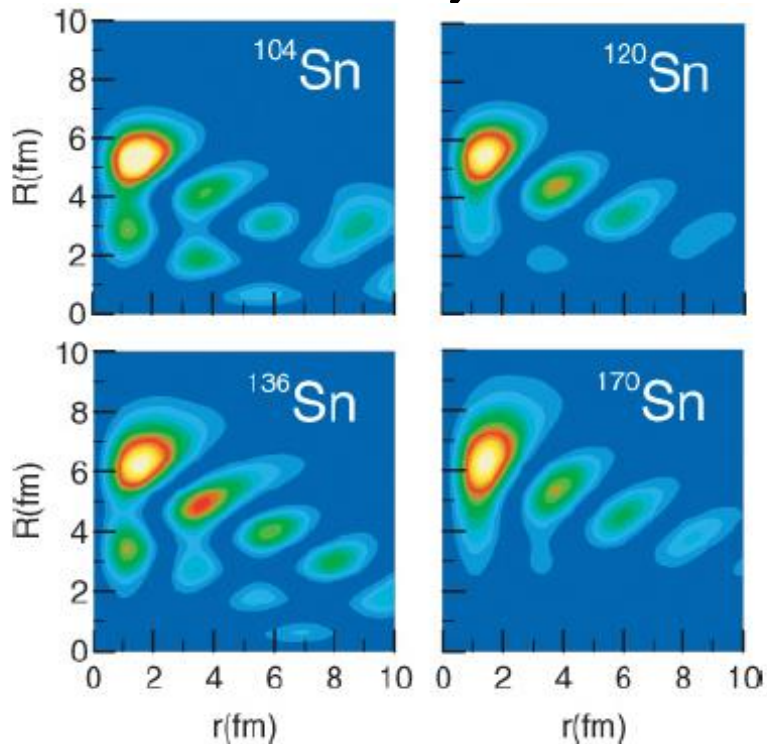


large asymmetry in density distribution = di-neutron correlation

# 重い中性子過剰核の dineutron 相関

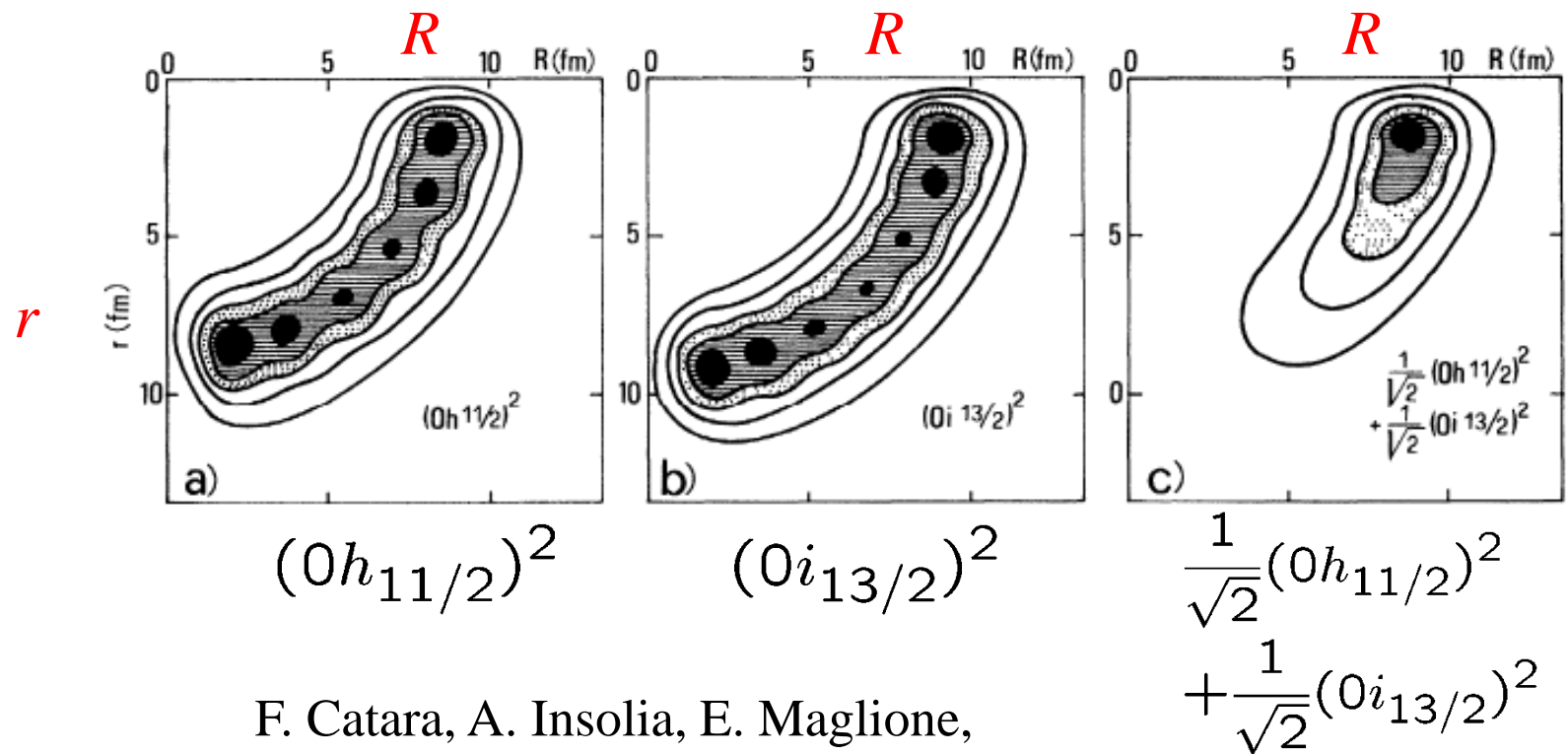


M. Matsuo, K. Mizuyama, and Y. Serizawa, PRC71('05)064326  
Skyrme HFB

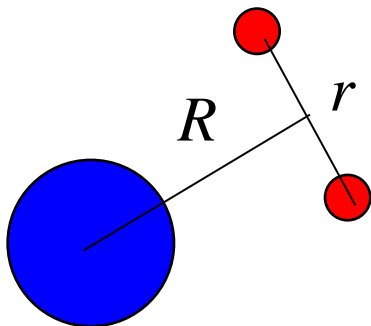


N. Pillet, N. Sandulescu, and P. Schuck,  
PRC76('07)024310  
Gogny HFB

# dineutron 相関は異なるパリティ状態の混合によって生じる

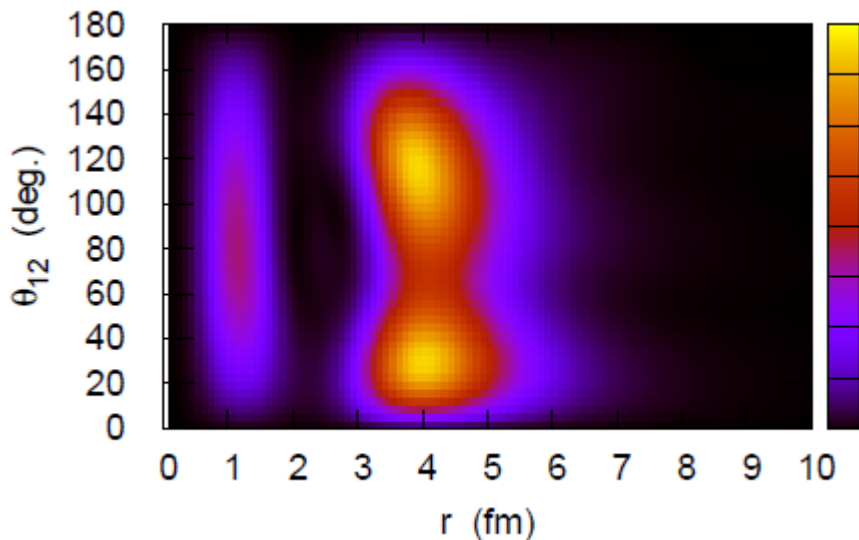


F. Catara, A. Insolia, E. Maglione,  
and A. Vitturi, PRC29('84)1091



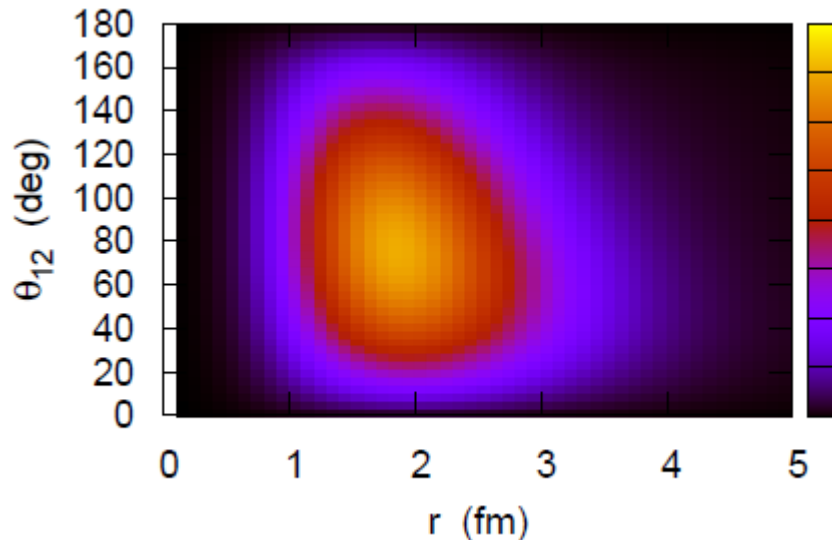
# ダイニュートロン相関の起源：異なるパリティからなる配位の混合

どの程度混合すれば相関が見えるのか？



odd<sup>2</sup>: 2.49 %  
even<sup>2</sup>: 97.5% [内、(s<sub>1/2</sub>)<sup>2</sup>=93.6%]

$$\langle \theta_{12} \rangle = 84.1 \text{ deg.}$$



odd<sup>2</sup>: 1.45 %  
even<sup>2</sup>: 98.5% [内、(1s<sub>1/2</sub>)<sup>2</sup>=97.2%]

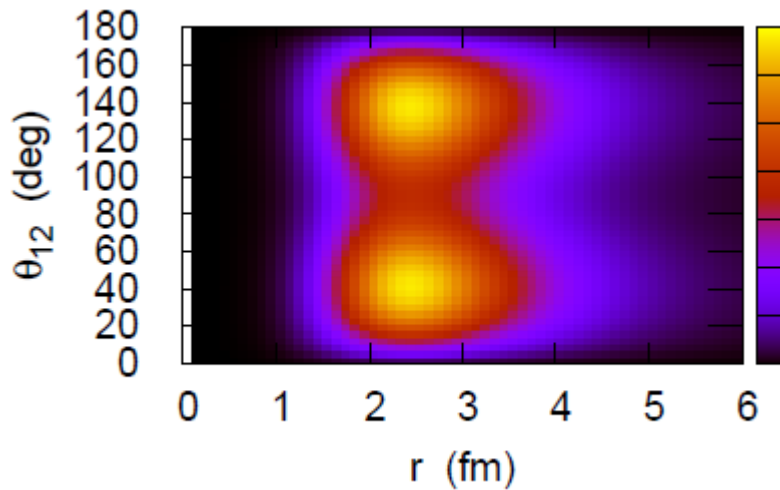
$$\langle \theta_{12} \rangle = 83.0 \text{ deg.}$$

s-wave が主成分だと見えづらいが、混合度合いが小さくてもやはり密度分布に偏りが出る

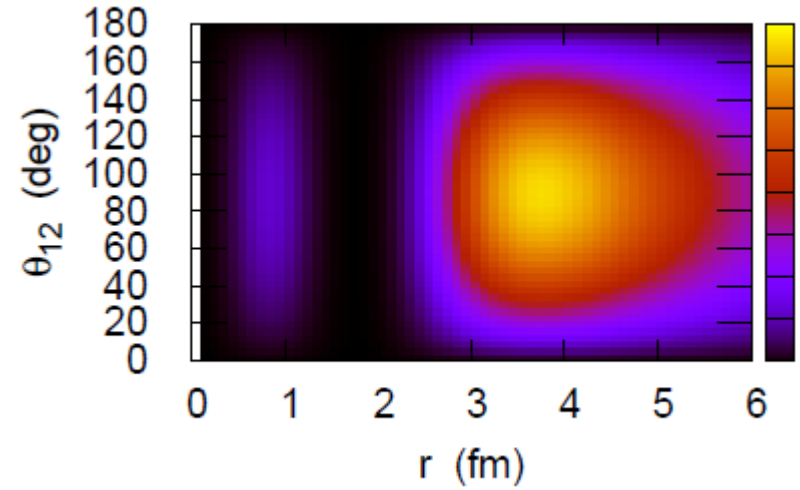
## 2配位モデルによる解析 $|\Psi\rangle = \sqrt{\alpha^2} |(1p_{3/2})^2\rangle + \sqrt{1 - \alpha^2} |(2s_{1/2})^2\rangle$

- ✓  $1p_{3/2}$ ,  $2s_{1/2}$  の波動関数は Woods-Saxon ポテンシャルで生成
- ✓ それぞれの一粒子エネルギーが  $-0.5$  MeV になるように調整

100%  $p_{3/2}$  のとき



100%  $s_{1/2}$  のとき



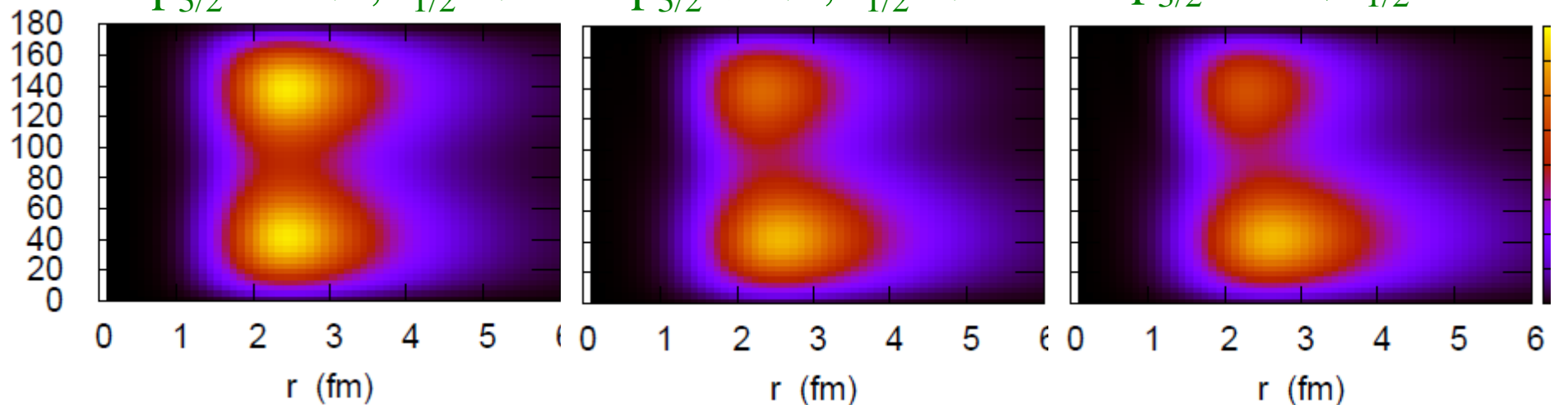
混合度合い  $\alpha$  を変えて密度分布の変化を見る

2配位模型による解析  $|\Psi\rangle = \sqrt{\alpha^2} |(1p_{3/2})^2\rangle + \sqrt{1 - \alpha^2} |(2s_{1/2})^2\rangle$

$p_{3/2}$  100%,  $s_{1/2}$  0%

$p_{3/2}$  95%,  $s_{1/2}$  5%

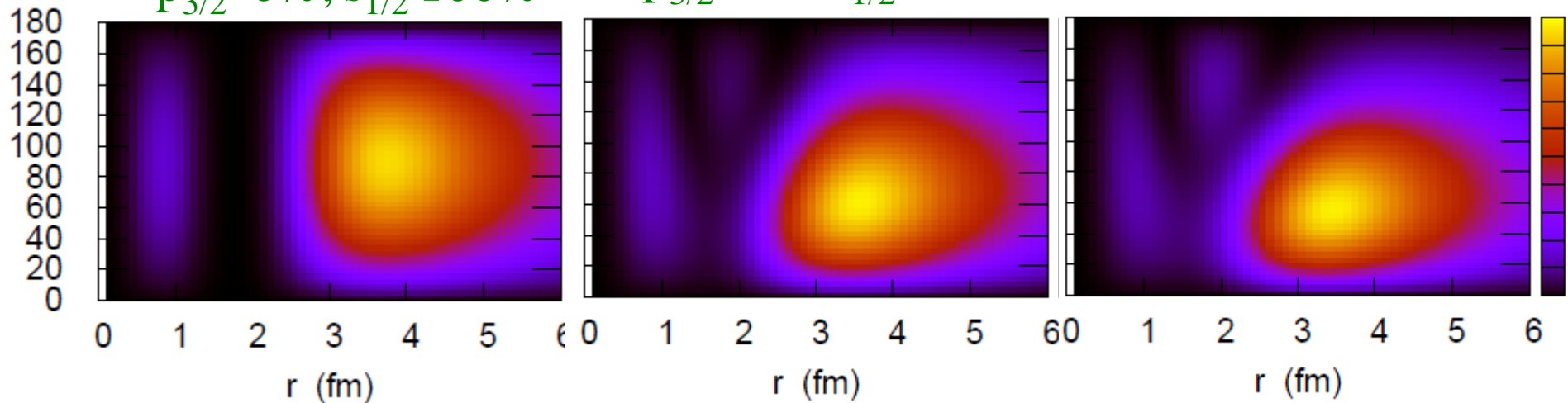
$p_{3/2}$  90%,  $s_{1/2}$  10%



$p_{3/2}$  0%,  $s_{1/2}$  100%

$p_{3/2}$  5%,  $s_{1/2}$  95%

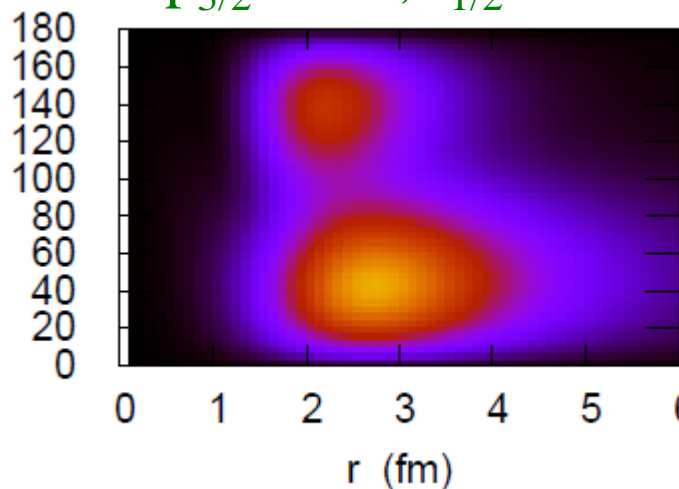
$p_{3/2}$  10%,  $s_{1/2}$  90%



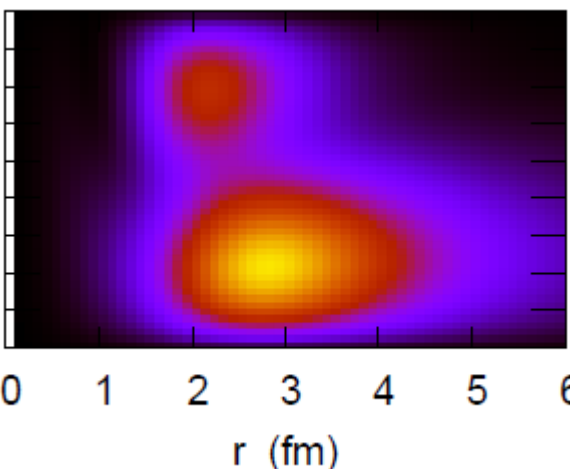
## 2配位モデルによる解析

$$|\Psi\rangle = \sqrt{\alpha^2} |(1p_{3/2})^2\rangle + \sqrt{1 - \alpha^2} |(2s_{1/2})^2\rangle$$

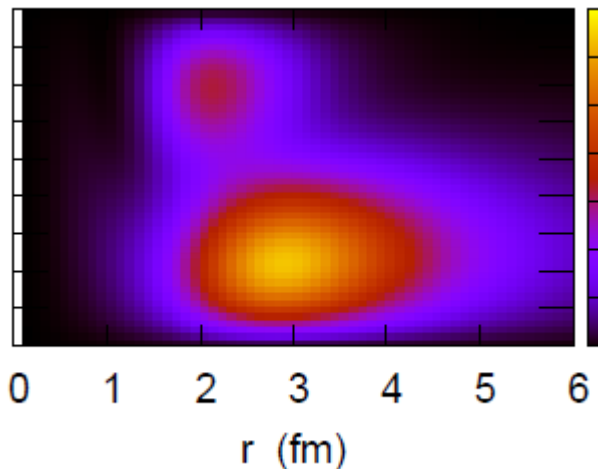
$p_{3/2}$  80%,  $s_{1/2}$  20%



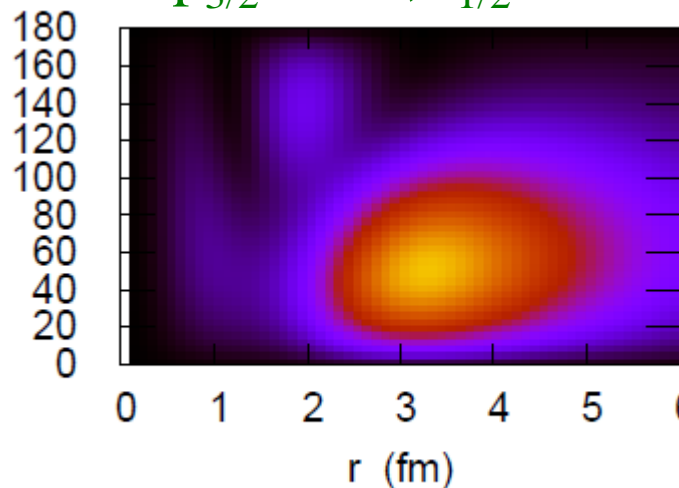
$p_{3/2}$  70%,  $s_{1/2}$  30%



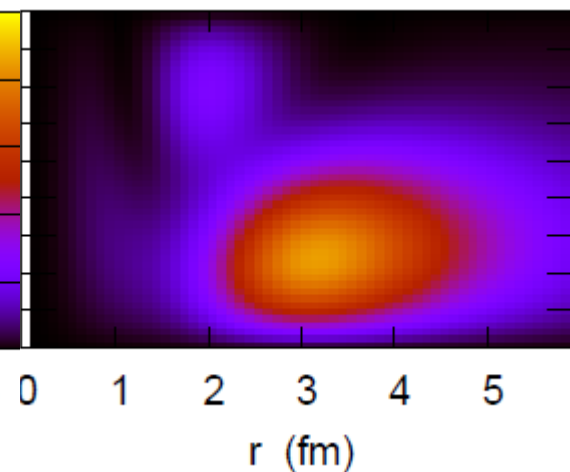
$p_{3/2}$  60%,  $s_{1/2}$  40%



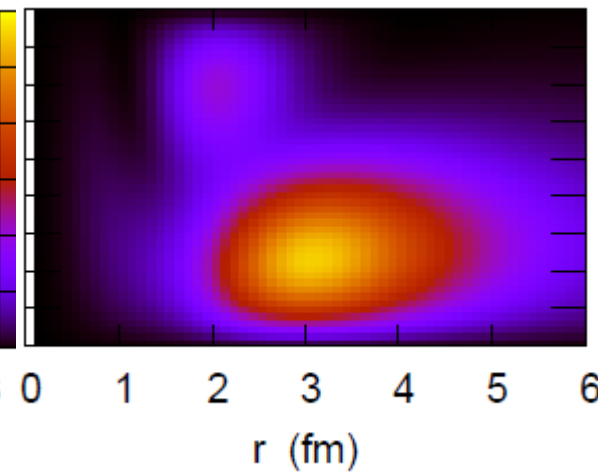
$p_{3/2}$  20%,  $s_{1/2}$  80%



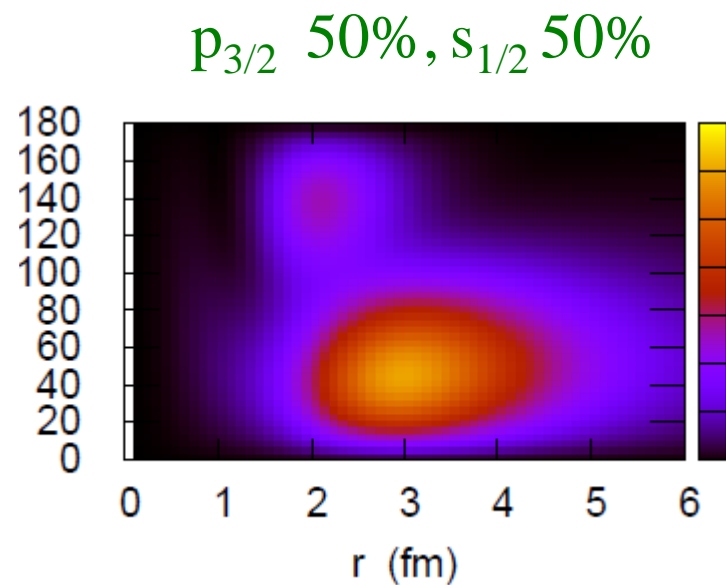
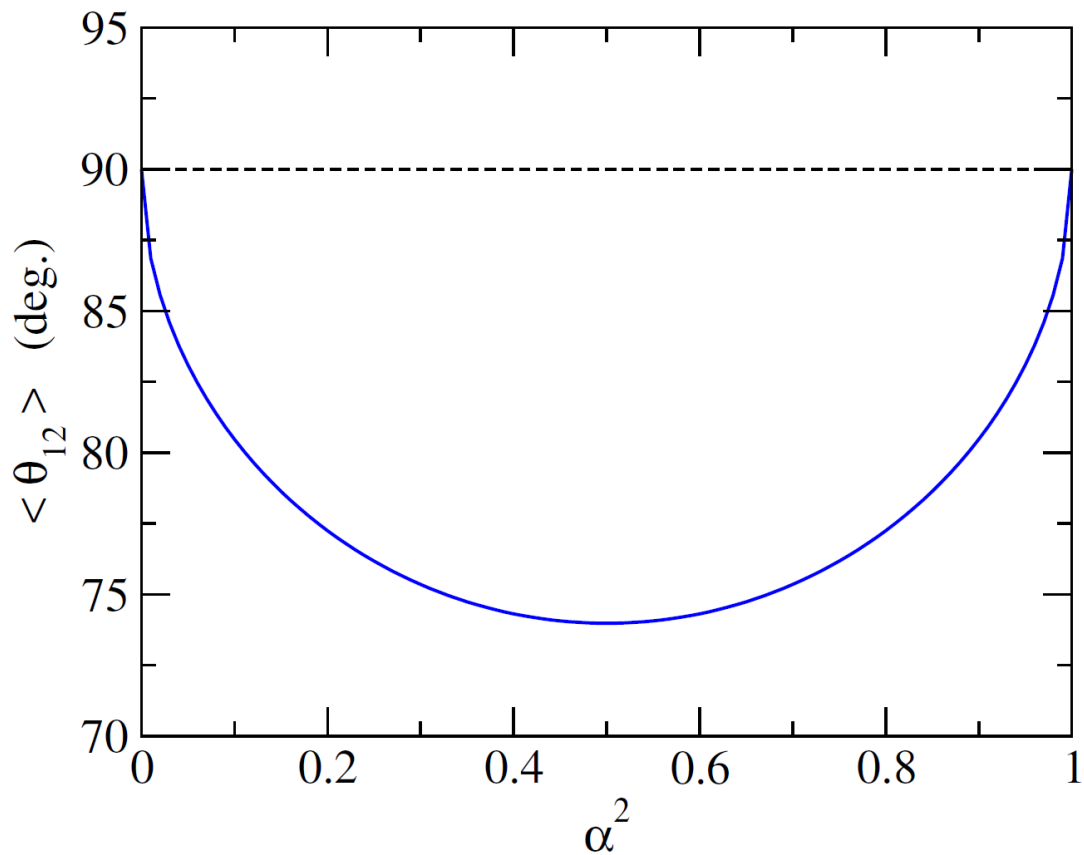
$p_{3/2}$  30%,  $s_{1/2}$  70%



$p_{3/2}$  40%,  $s_{1/2}$  60%



2配位模型による解析  $|\Psi\rangle = \sqrt{\alpha^2} |(1p_{3/2})^2\rangle + \sqrt{1 - \alpha^2} |(2s_{1/2})^2\rangle$



$\alpha^2 = 0.5$  で対称になっている  $\rightarrow s_{1/2}$  かどうかはあまり関係ない



## 2中性子は空間的に局在 (dineutron相関)

cf. Migdal, Soviet J. of Nucl. Phys. 16 ('73) 238

Bertsch, Broglia, Riedel, NPA91('67)123

### 弱束縛核

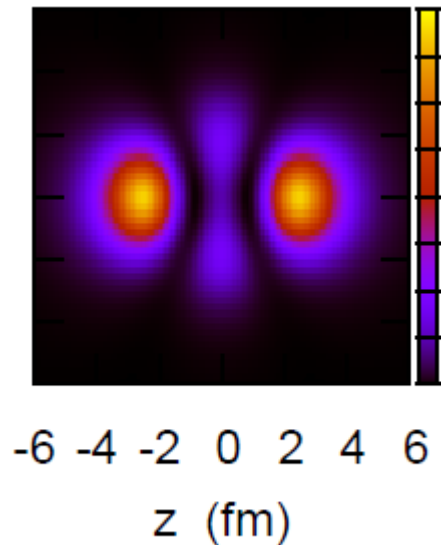
→連続状態のためにパリティ混合が起きやすい

+ 表面領域における対相関力の増大

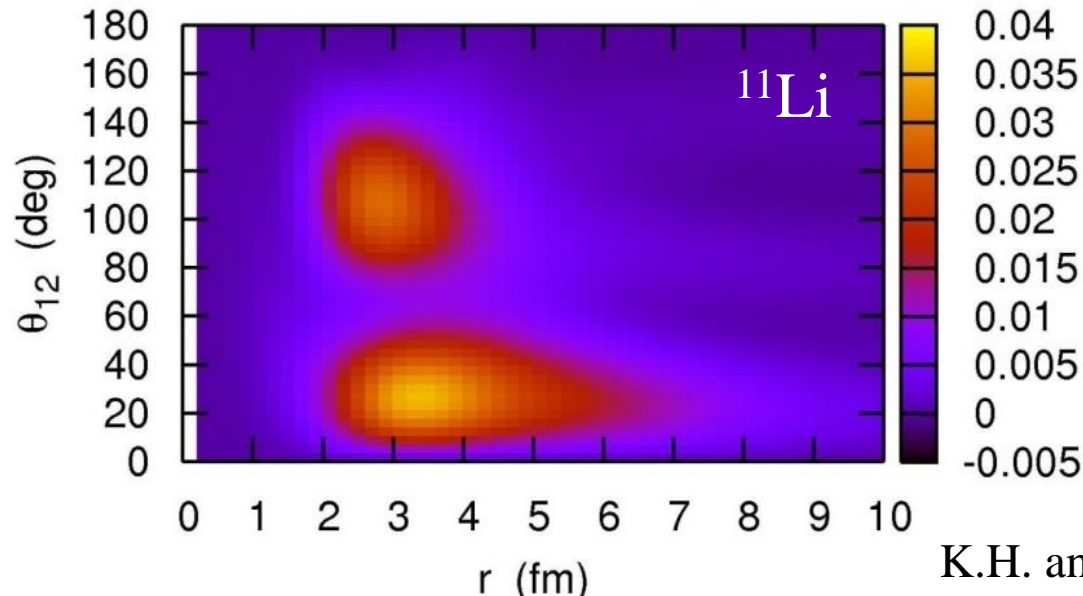
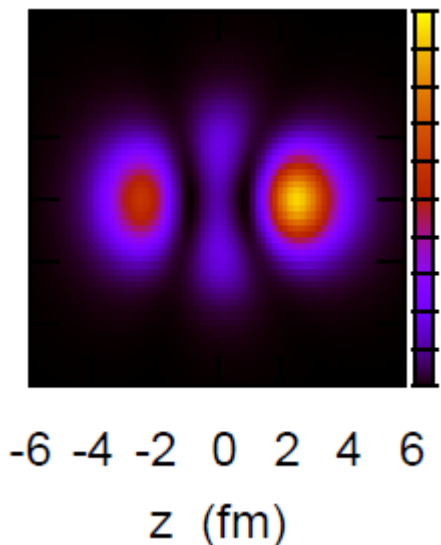
→dineutron 相関が増幅される

cf. - Bertsch, Esbensen, Ann. of Phys. 209('91)327

- M. Matsuo, K. Mizuyama, Y. Serizawa,  
PRC71('05)064326

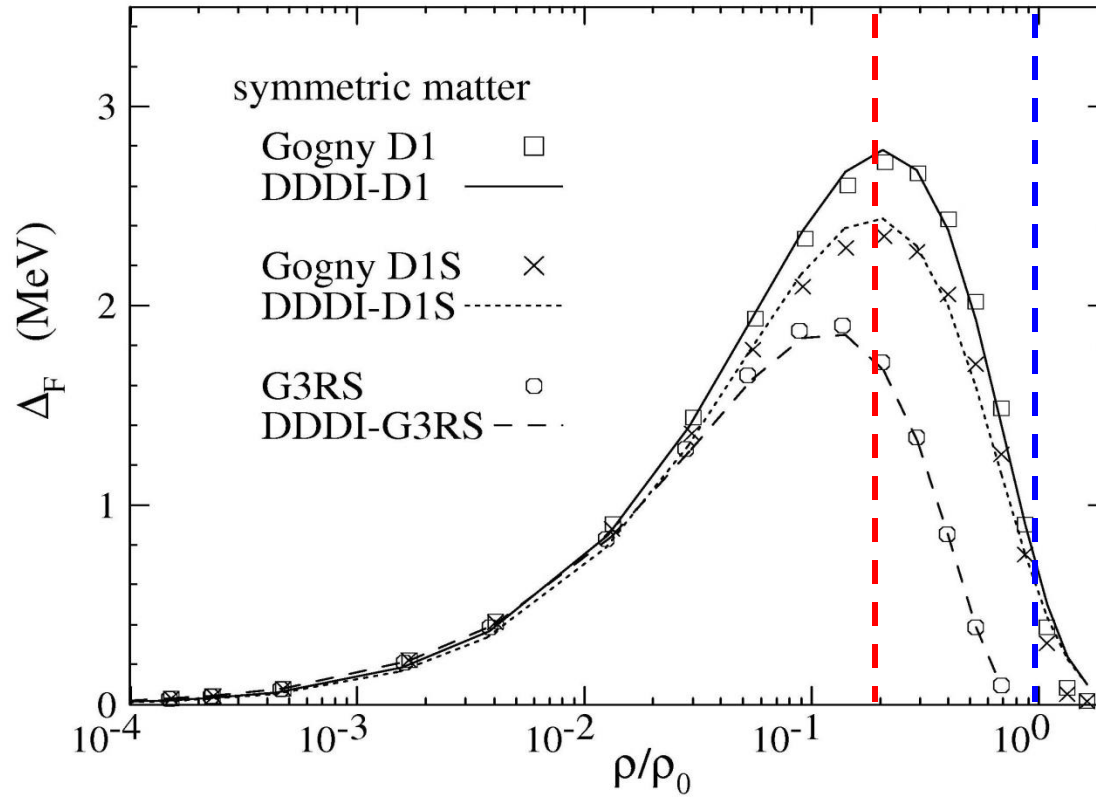


パリティ混合



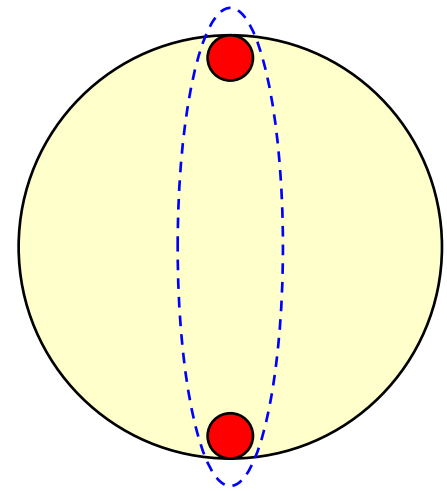
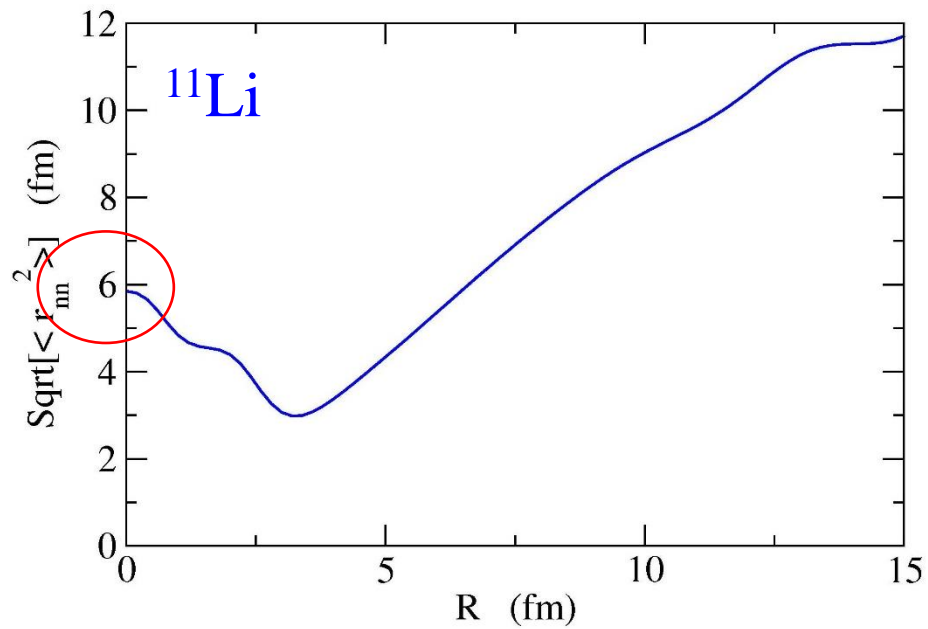
K.H. and H. Sagawa,  
PRC72('05)044321

## 無限核物質の対ギャップ

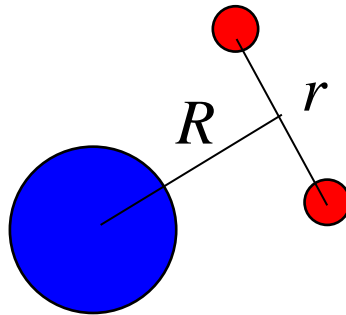


M. Matsuo, PRC73('06)044309

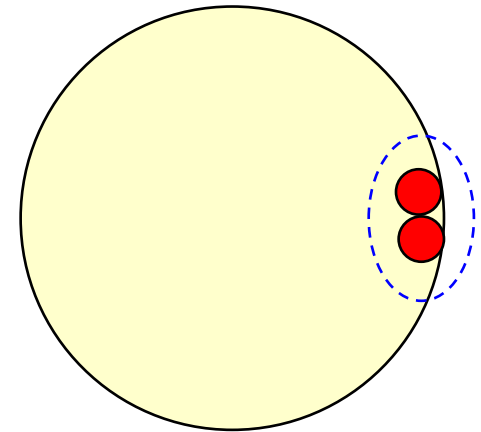
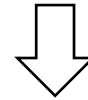
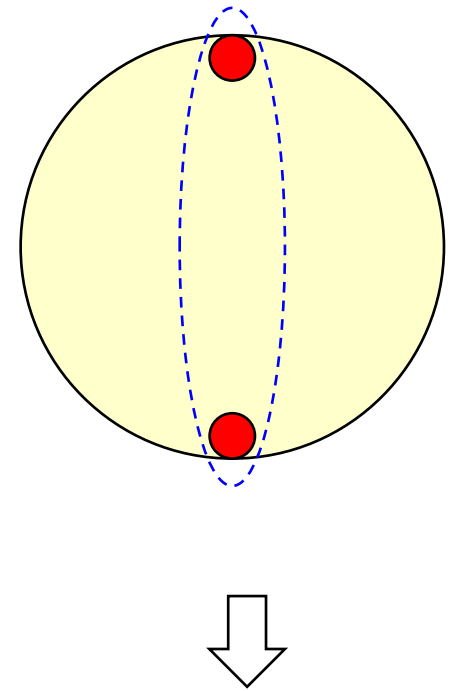
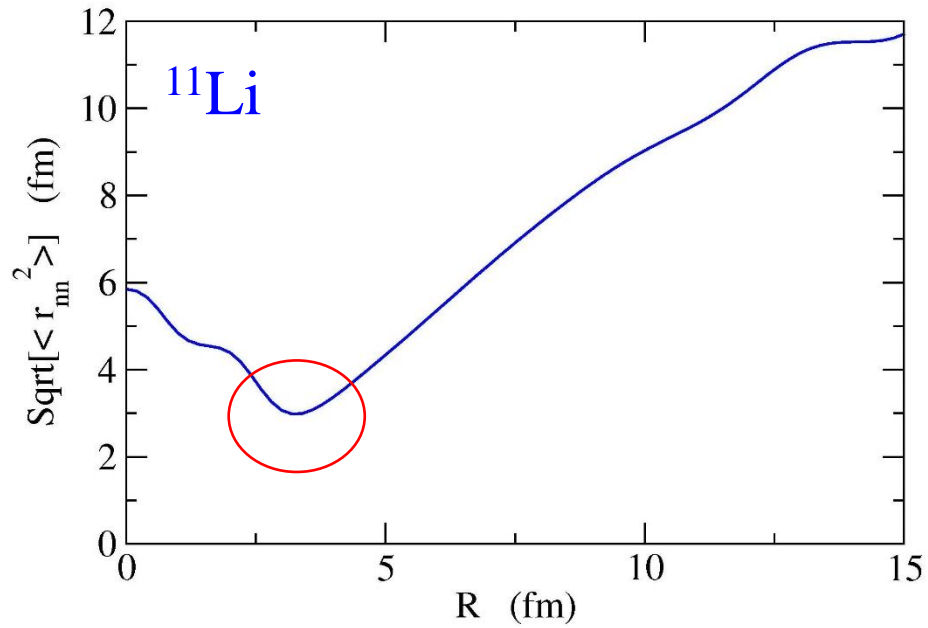
# Surface dineutron correlations



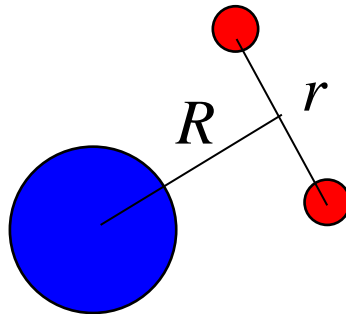
K.H., H. Sagawa, J. Carbonell, and P. Schuck,  
PRL99 ('07) 022506



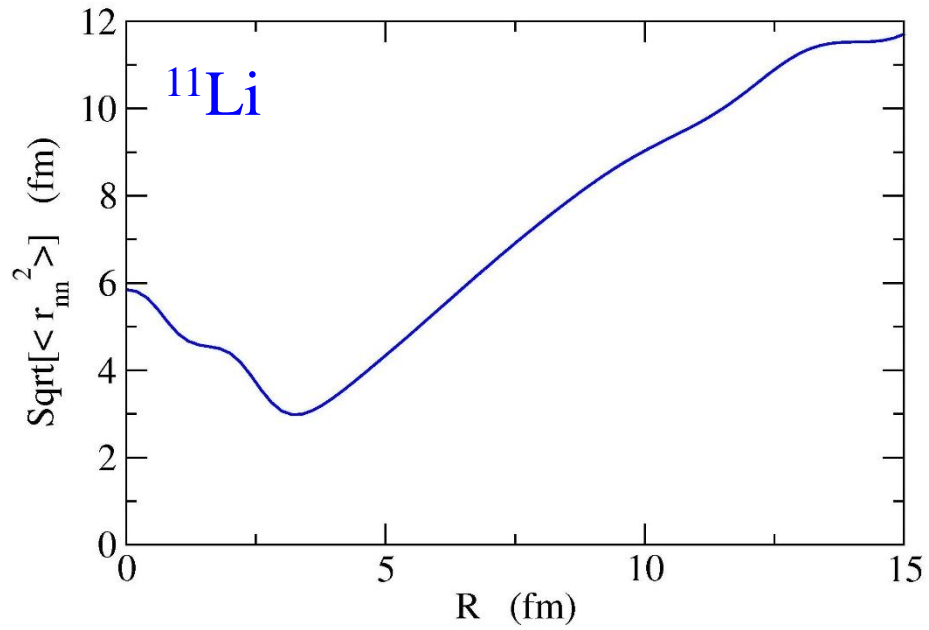
# Surface dineutron correlations



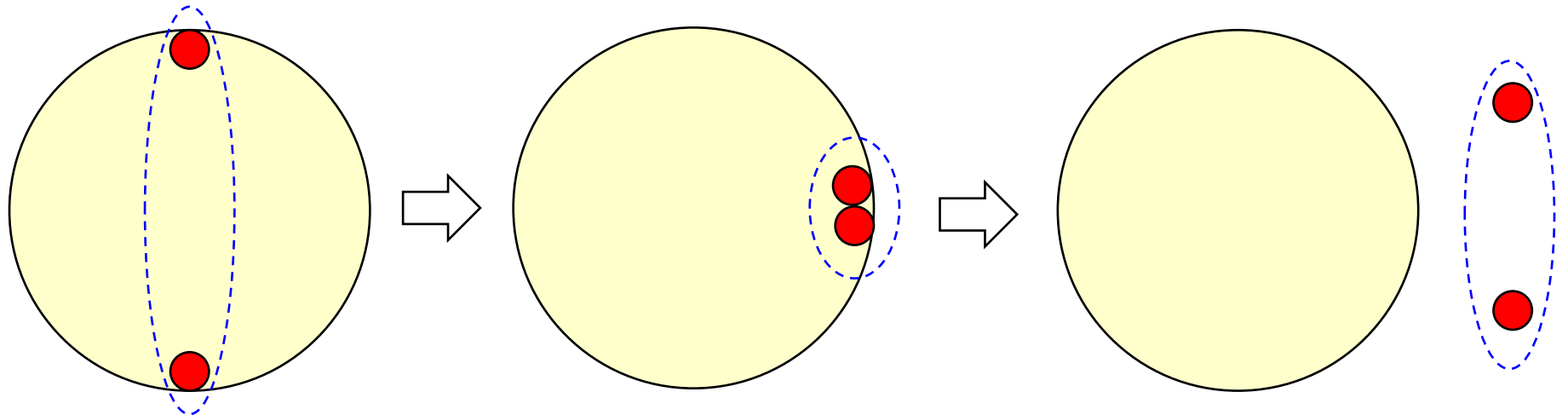
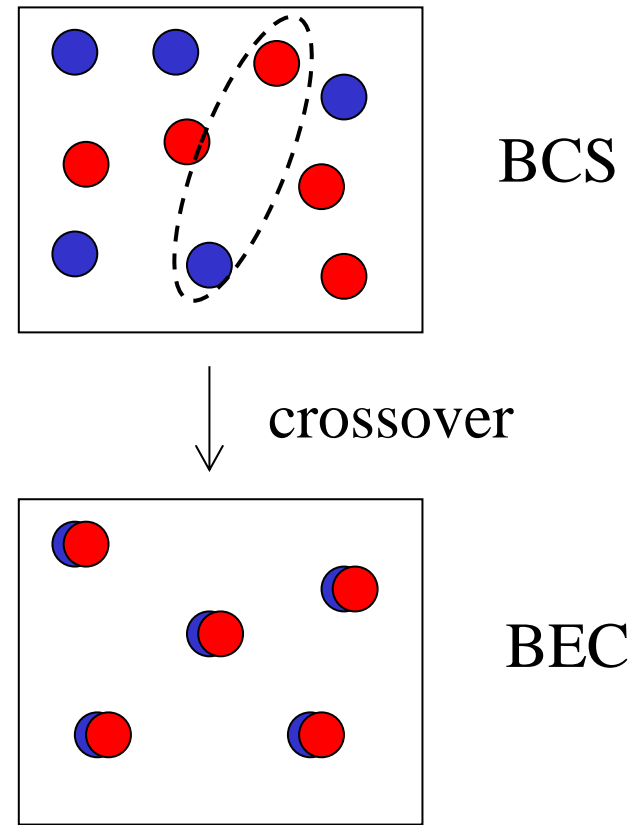
K.H., H. Sagawa, J. Carbonell, and P. Schuck,  
PRL99 ('07) 022506



# ダイニュートロン相関

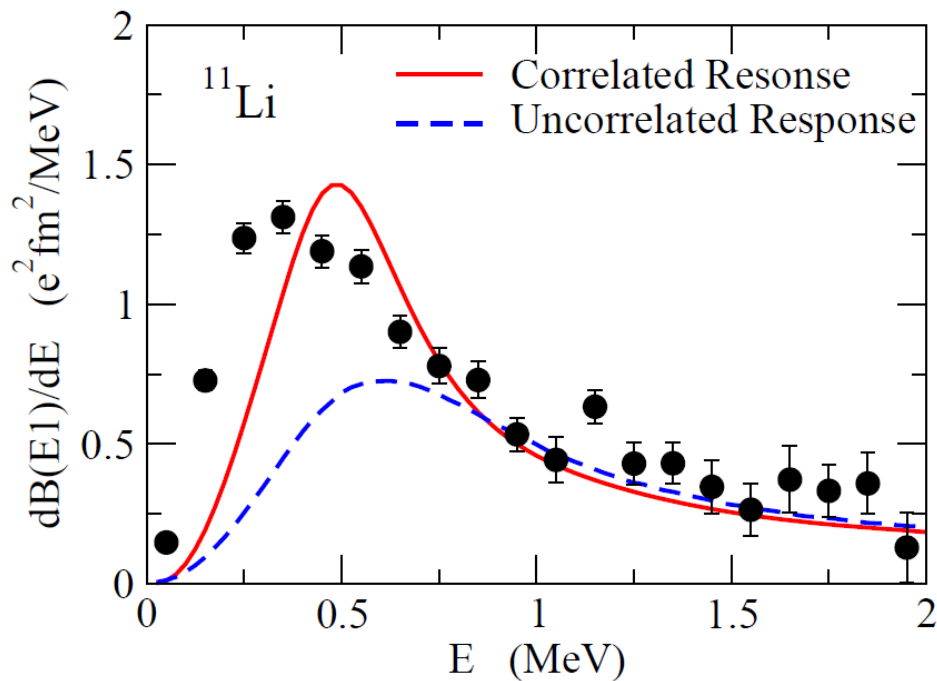


K.H., H. Sagawa, J. Carbonell, and P. Schuck,  
PRL99('07)022506



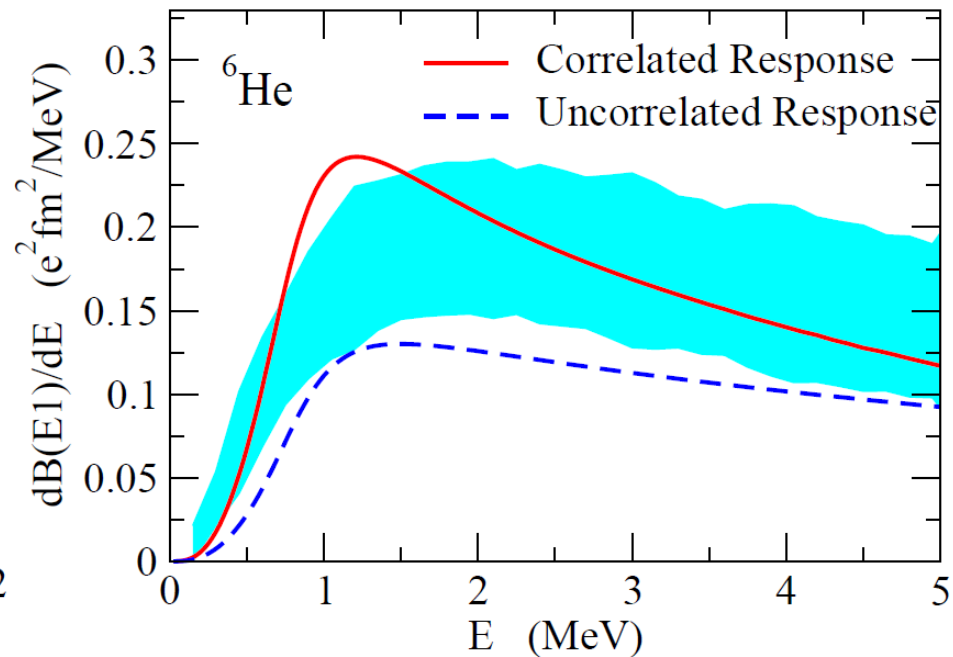
## 2中性子ハロー核のクーロン分解

外的刺激を与えて放出2粒子(2中性子)を観測する → **クーロン分解**



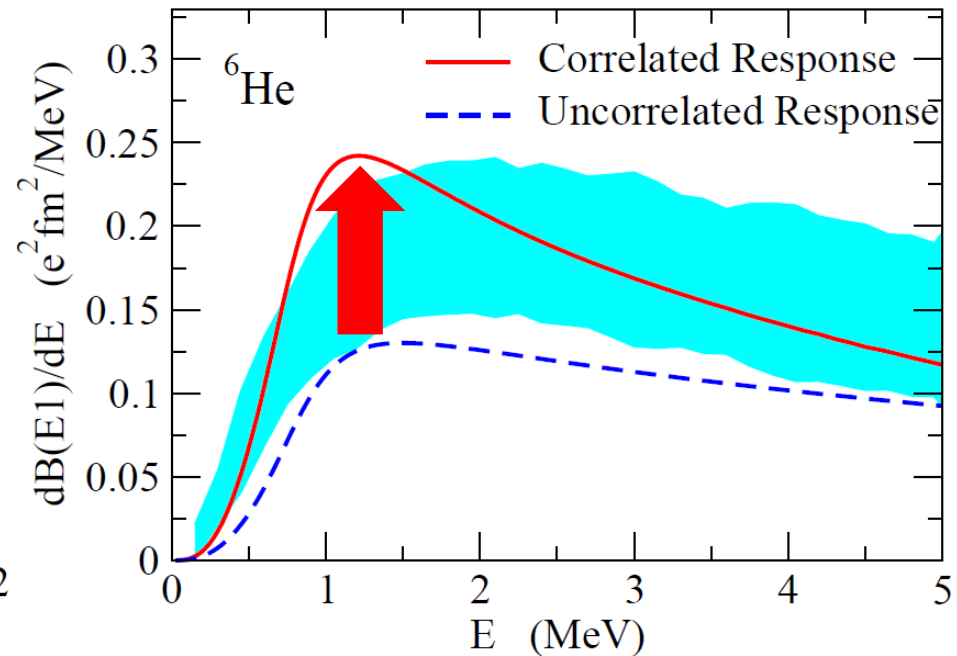
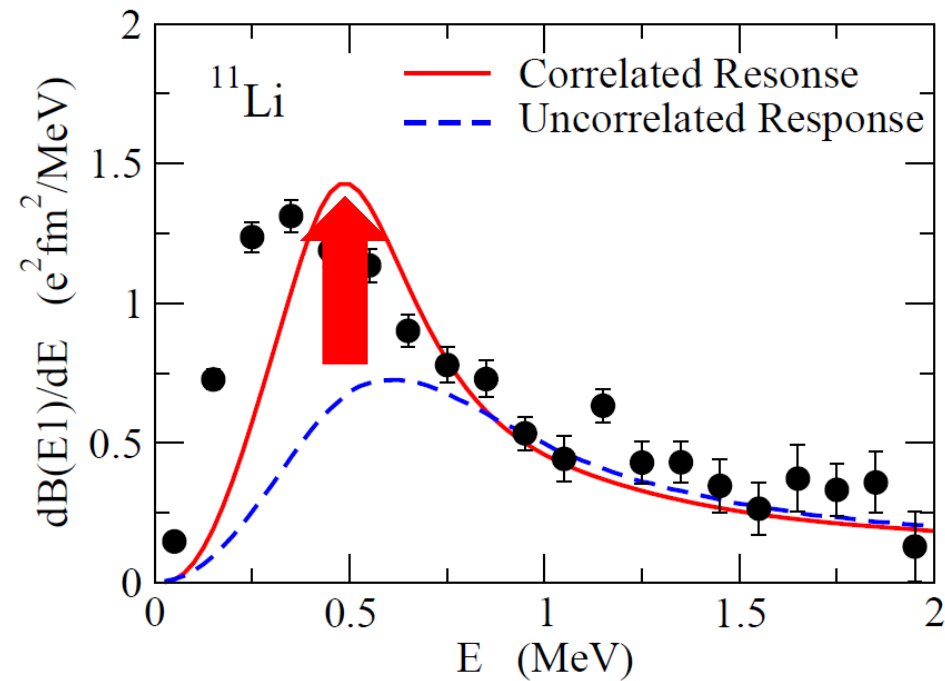
実験:

T. Nakamura et al., PRL96('06)252502



T. Aumann et al., PRC59('99)1252

# クーロン分解における核子相関の効果

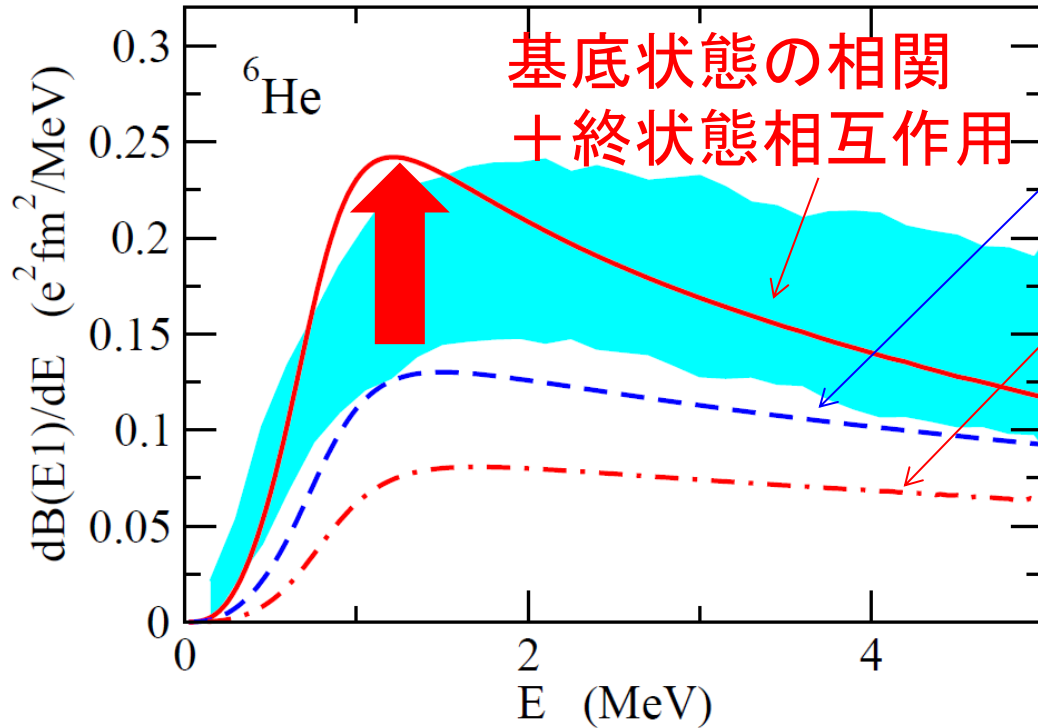


- 基底状態: 相関ありの波動関数
- 励起状態: 相関あり(赤線)、相関なし(青点線)

相関の効果で E1 強度が増大する

→ 基底状態における相関の果たす役割は?

# 基底状態の相関の果たす役割



基底状態の相関  
+ 終状態相互作用

基底状態の相関のみ

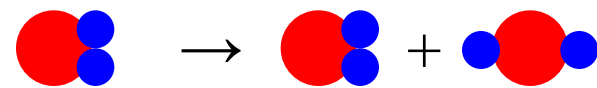
励起状態の相関のみ

cf. クラスタ和則

$$B_{\text{tot}}(E1) \sim \frac{3}{\pi} \left( \frac{Z_{ce}}{A_c + 2} \right)^2 \langle R_{c-2n}^2 \rangle$$

✓ 基底状態のdi-neutron相関を切ると E1 強度は小さくなる

←  $R_{c-2n}$  が小さくなるため (3.63 → 2.61 fm)



E1励起には基底状態の相関と励起状態の相関の両方が重要



# ボロミアン原子核の幾何学

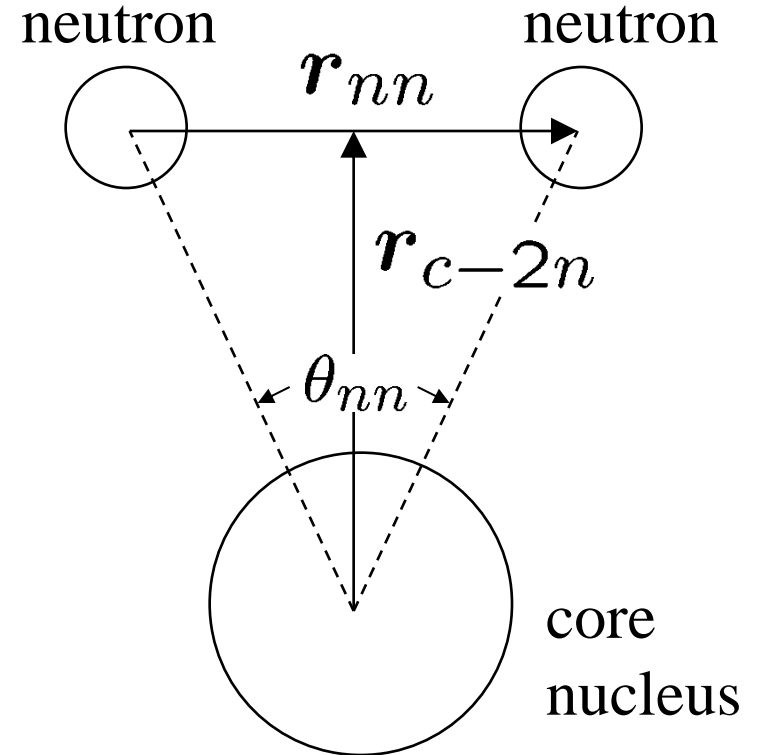
実験データから2中性子の空間的配位を決められないか?



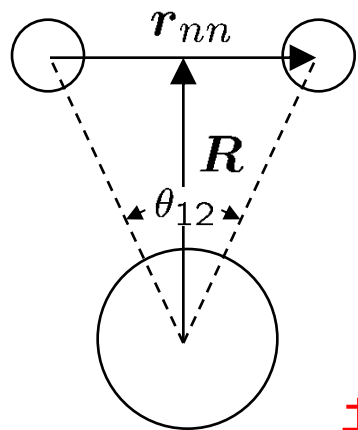
$r_{c-2n}$  と  $r_{nn}$  の情報があれば、  
2中性子の間の角度は

$$\cos \frac{\theta_{nn}}{2} \sim \frac{r_{c-2n}}{\sqrt{r_{c-2n}^2 + \frac{r_{nn}^2}{4}}}$$

と見積もることができる。



# ポロミアン原子核の幾何学



## クラスター和則

$$B_{\text{tot}}(E1) \sim \frac{3}{\pi} \left( \frac{Z_{ce}}{A_c + 2} \right)^2 \langle R^2 \rangle$$

基底状態の相関のみが反映

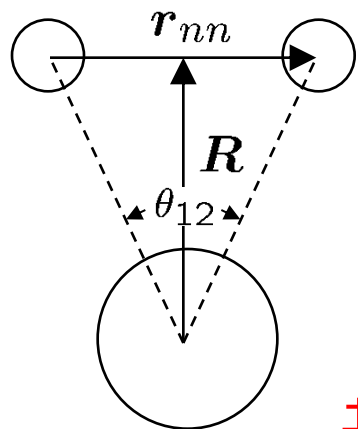
## $nn$ 間角度の「実験値」

$$\sqrt{\langle R^2 \rangle} \longleftarrow B_{\text{tot}}(E1)$$

$$\sqrt{\langle r_{nn}^2 \rangle} \longleftarrow \text{物質半径}$$

$$\langle r_m^2 \rangle = \frac{A_c}{A_c + 2} \langle r_m^2 \rangle_{A_c} + \frac{2A_c}{(A_c + 2)^2} \langle R^2 \rangle + \frac{1}{2(A_c + 2)} \langle r^2 \rangle$$

# ボロミアン原子核の幾何学



## クラスター和則

$$B_{\text{tot}}(E1) \sim \frac{3}{\pi} \left( \frac{Z_{ce}}{A_c + 2} \right)^2 \langle R^2 \rangle$$

基底状態の相関のみが反映

$nn$  間角度の「実験値」

$$\sqrt{\langle R^2 \rangle} \longleftarrow B_{\text{tot}}(E1)$$

$$\sqrt{\langle r_{nn}^2 \rangle} \longleftarrow \text{物質半径}$$

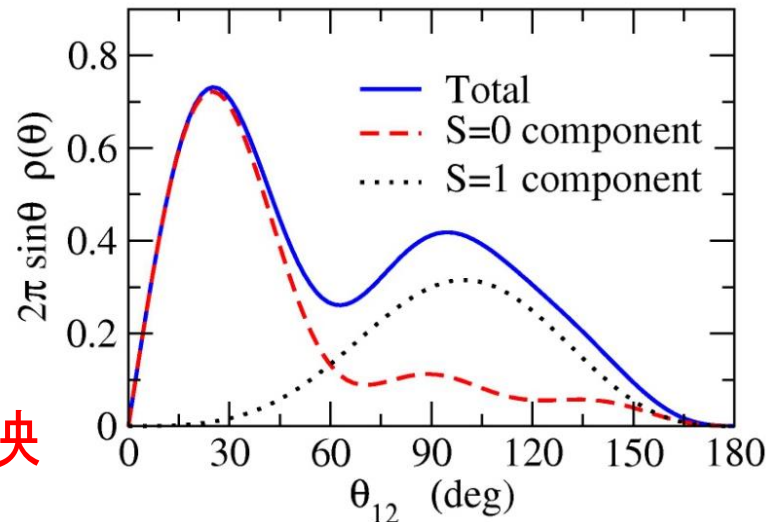
$$\begin{aligned} \langle \theta_{12} \rangle &= 65.2 \pm 12.2 \text{ } (^{11}\text{Li}) \\ &= 74.5 \pm 12.1 \text{ } (^6\text{He}) \end{aligned}$$

K.H. and H. Sagawa, PRC76('07)047302

cf. T. Nakamura et al., PRL96('06)252502

C.A. Bertulani and M.S. Hussein, PRC76('07)051602

## 3体模型計算 ( $^{11}\text{Li}$ )



$$\langle \theta_{12} \rangle = 65.29 \text{ deg.}$$

$\langle \theta_{12} \rangle$  が90度より著しく小

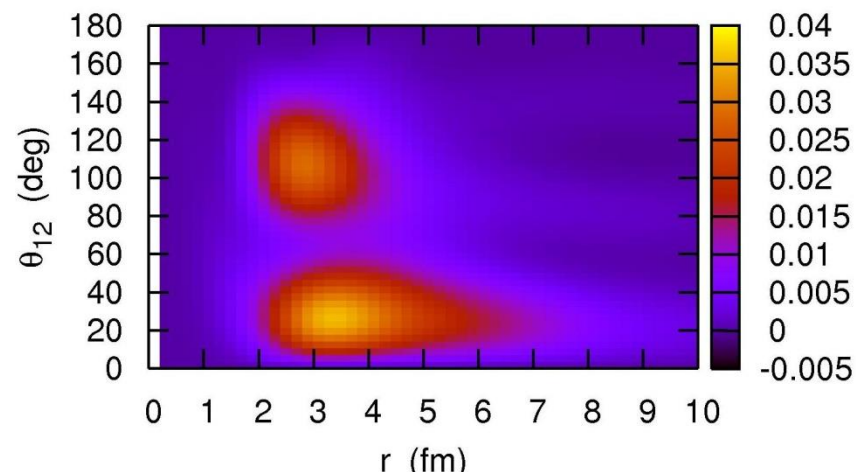
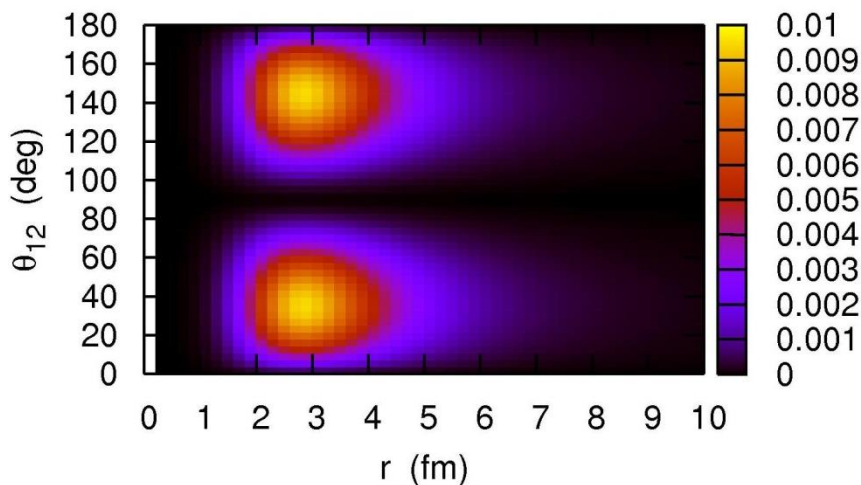
di-neutron 相関を示唆  
(ただし、大きい角度の成分が混ざって見えている)

(注意点)

## $nn$ 間角度の「実験値」

$$\langle \theta_{12} \rangle = 65.2_{-13.0}^{+11.4} \quad ({}^{11}\text{Li})$$

$$= 74.5_{-13.1}^{+11.2} \quad ({}^6\text{He})$$



相関がなければ  $\langle \theta_{12} \rangle = 90$  度

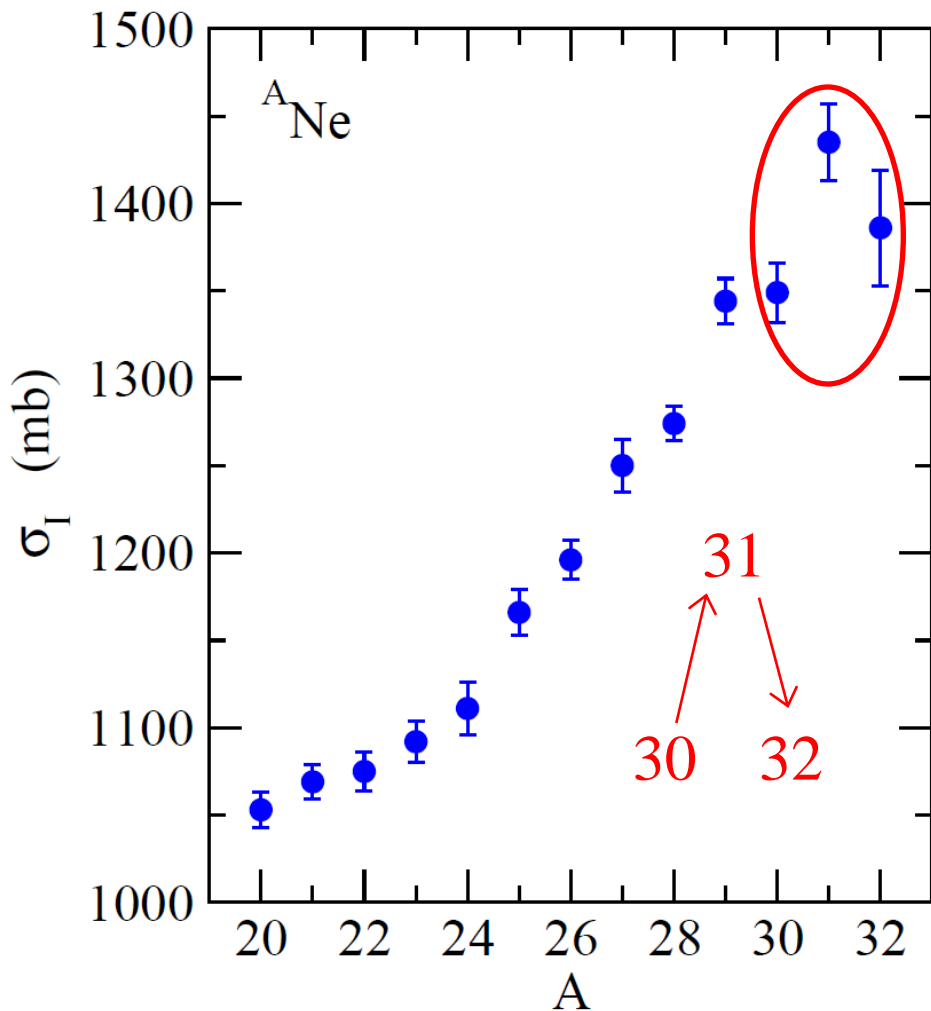


ここからのずれが相関の強さの度合いを反映する

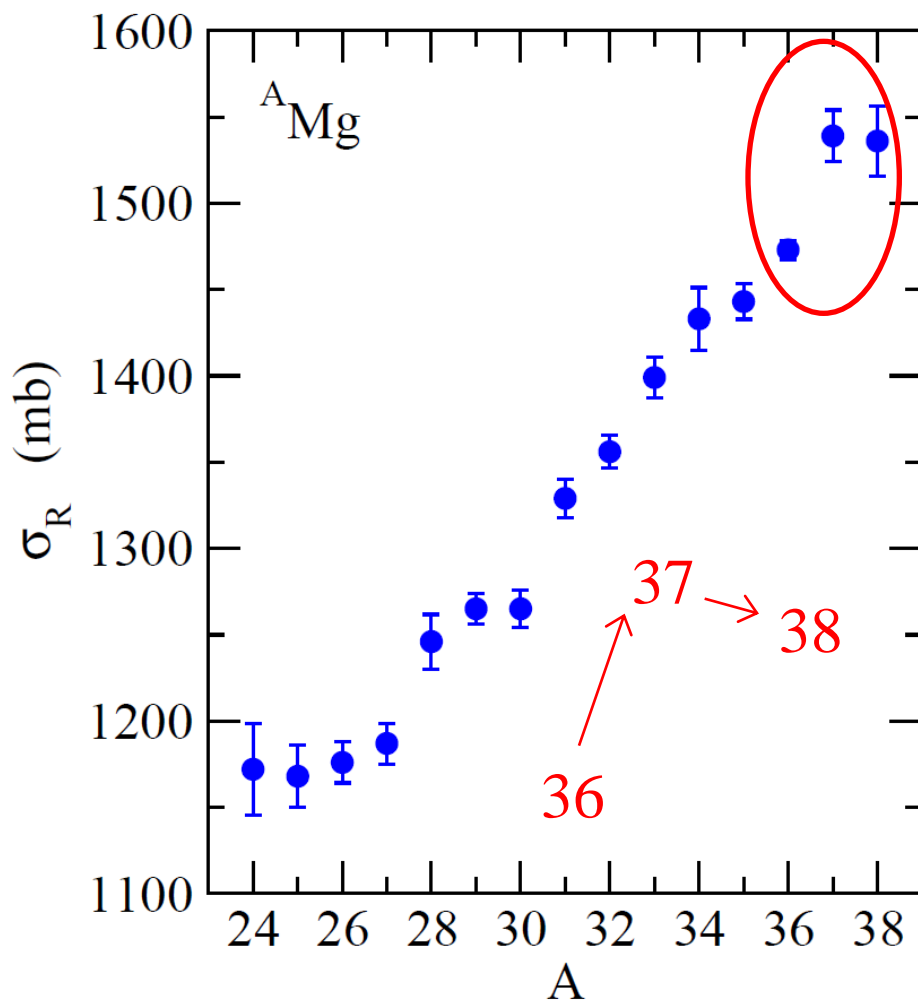
$\langle \theta_{12} \rangle = 65$  度は dineutron 相関とは矛盾しない (2つのピークの平均となっているため)

# 対相関による反ハロー効果

## 反応断面積に見られる顕著な偶奇効果



M. Takechi et al.,  
Phys. Lett. B707 ('12) 357



M. Takechi et al.,  
Phys. Rev. C90 ('14) 061305(R)

# 対相関による反ハロー効果

## 反応断面積に見られる顕著な偶奇効果

### 対相関と関係あるのか?

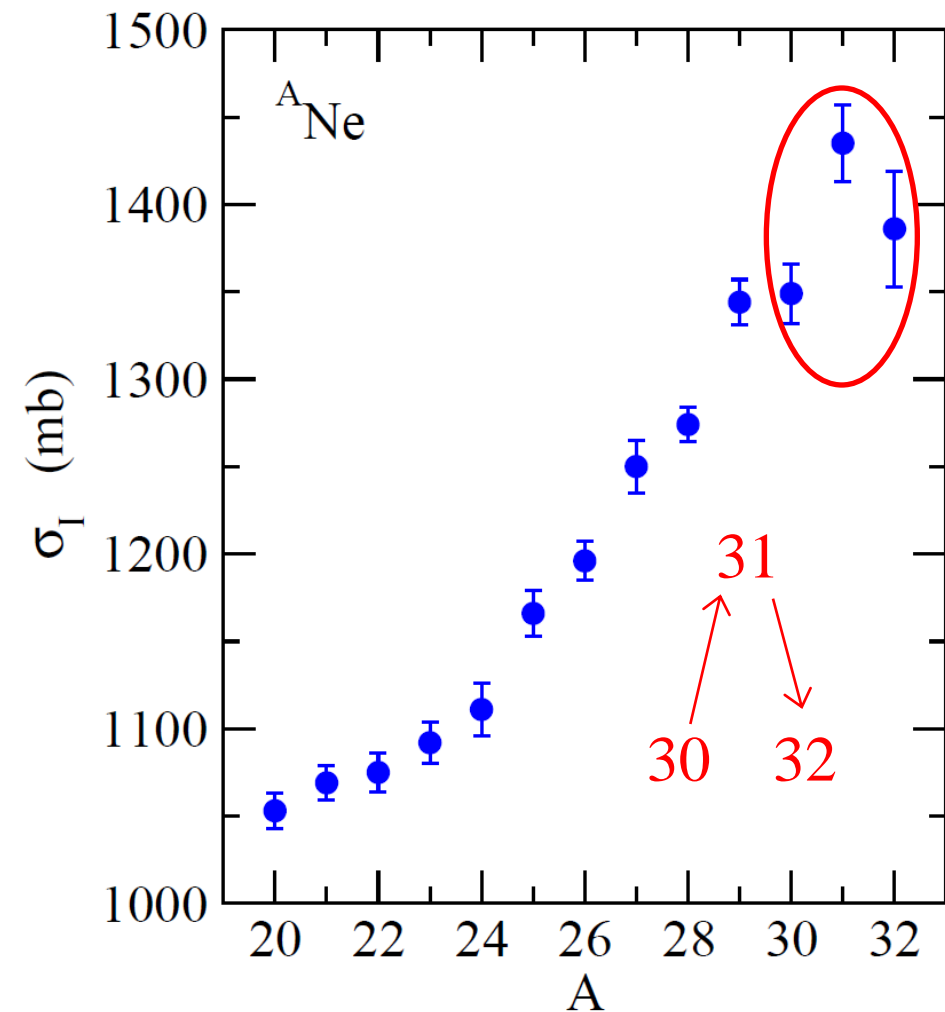
K.H. and H. Sagawa,  
PRC84 ('11) 011303(R)  
PRC85 ('12) 014303  
PRC85 ('12) 037604

### cf. ペアリング anti-halo 効果

K. Bennaceur, J. Dobaczewski, and  
M. Ploszajczak, PLB496('00)154

### 対相関

- 波動関数の遠方での振る舞いに変化
- 密度分布の広がりが抑制




M. Takechi et al.,  
Phys. Lett. B707 ('12) 357

## ペアリング反ハロー効果とは何か?

i) 対相関がない場合の波動関数の漸近形 ( $l = 0$ ):

$$\psi(r) \sim \exp(-\kappa r) \quad \kappa = \sqrt{\frac{2m|\epsilon|}{\hbar^2}}$$



$$\langle r^2 \rangle = \frac{\int r^2 |\psi(r)|^2 dr}{\int |\psi(r)|^2 dr} \propto \frac{1}{\kappa^2} = \frac{\hbar^2}{2m|\epsilon|} \rightarrow \infty$$

ii) 対相関がある場合:

粒子  $\rightarrow$  準粒子

$\epsilon \rightarrow E - \lambda$  ( $\lambda$  はフェルミ・エネルギー)

$$E_k \sim \sqrt{(\epsilon - \lambda)^2 + \Delta^2} \sim \Delta \quad (\epsilon, \lambda \rightarrow 0)$$


$$\langle r^2 \rangle \propto \frac{\hbar^2}{2m\Delta}$$

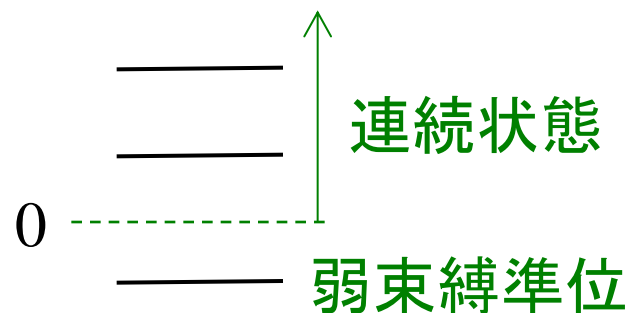
“ペアリング anti-halo 効果”

# 3体模型によるペアリング反ハロー効果

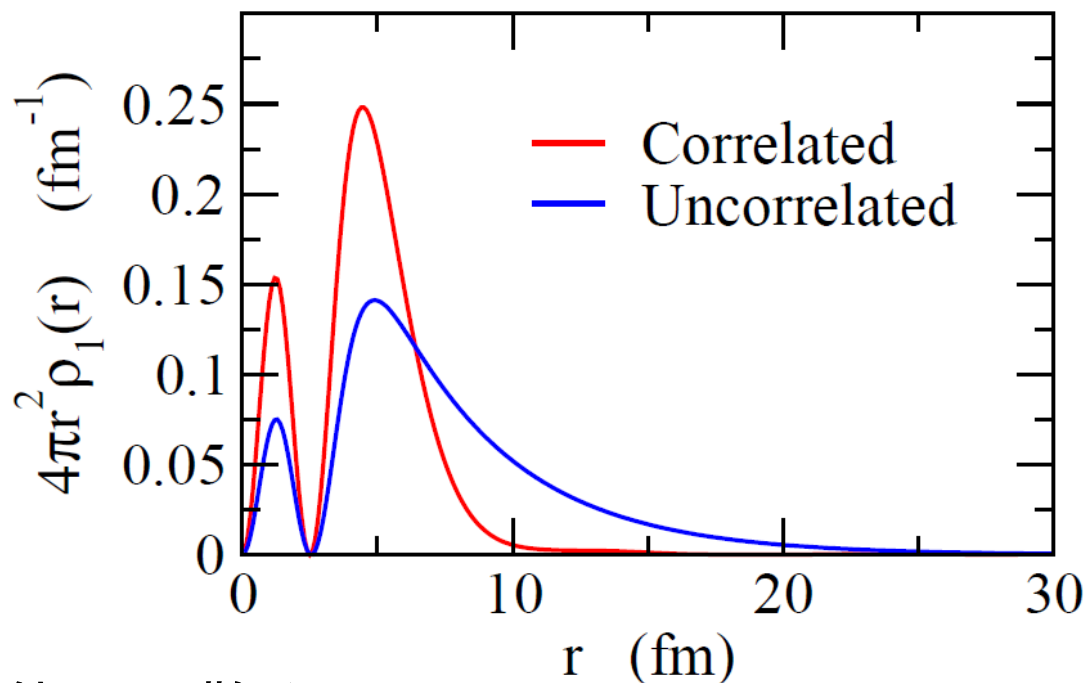
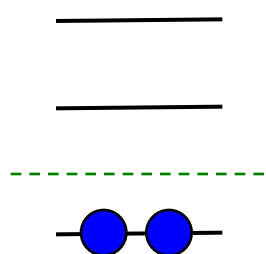
$^{24}\text{O}$  (s-wave only)

$e_{2s1/2} = -0.275 \text{ MeV}$ ,

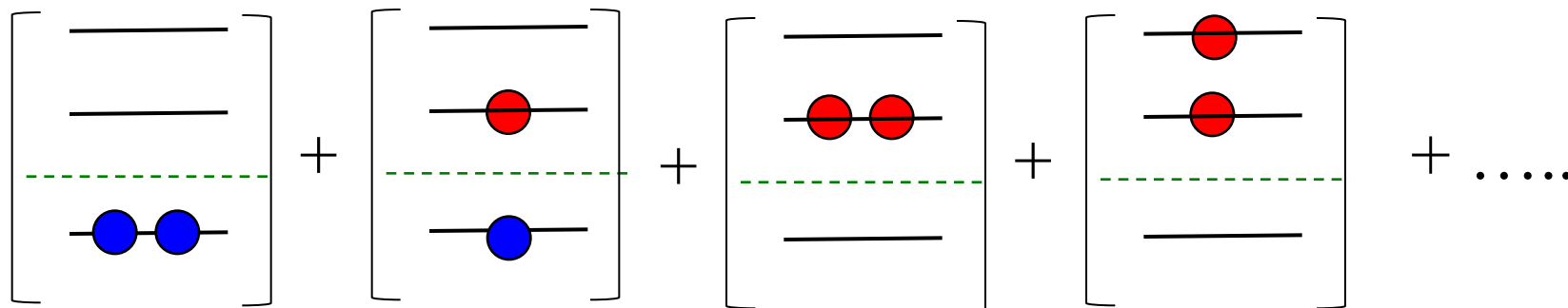
$E_{3bd} = -2.46 \text{ MeV}$



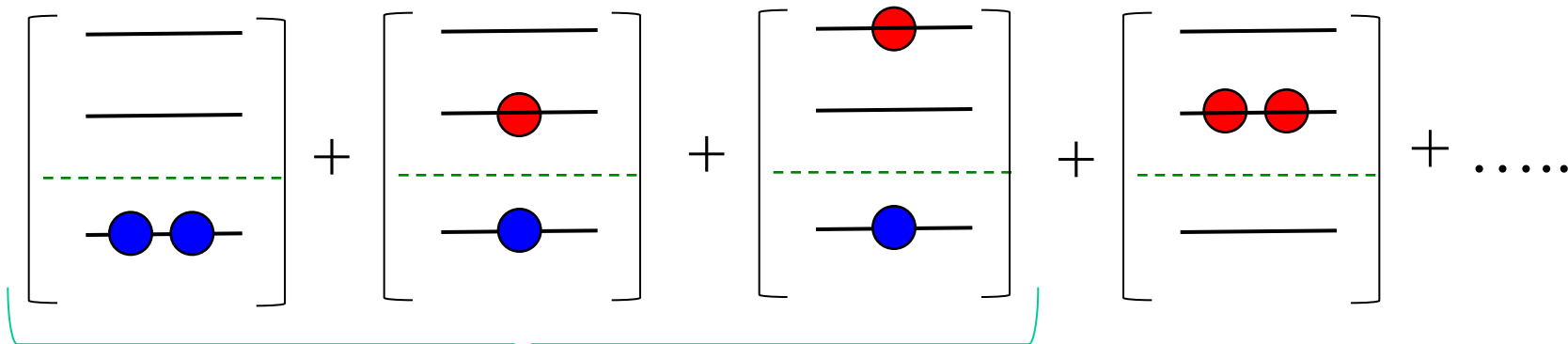
## ◆ 対相関がない場合



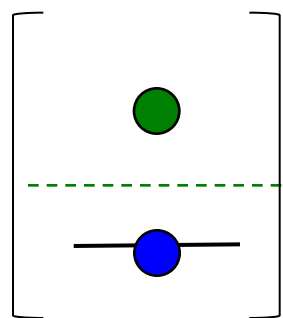
## ◆ 対相関がある場合: 連続状態への散乱







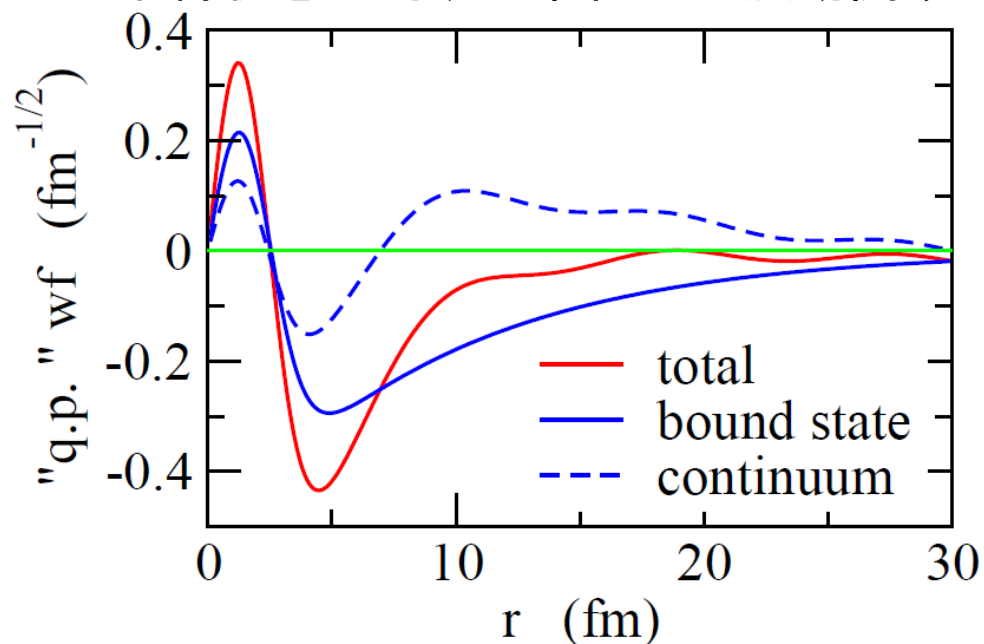
「準粒子」



$$\begin{aligned} \Psi(1, 2) &= \sum_{k, k'} \alpha_{kk'} \phi_k(1) \phi_{k'}(2) \\ &\equiv \sum_{k'} \tilde{\phi}_{k'}(1) \phi_{k'}(2) \\ \rightarrow \rho(r) &= \sum_{k'} |\tilde{\phi}_{k'}(r)|^2 \end{aligned}$$

K.H. and H. Sagawa,  
PRC95, 024304 (2017).

束縛状態に対する準粒子の波動関数



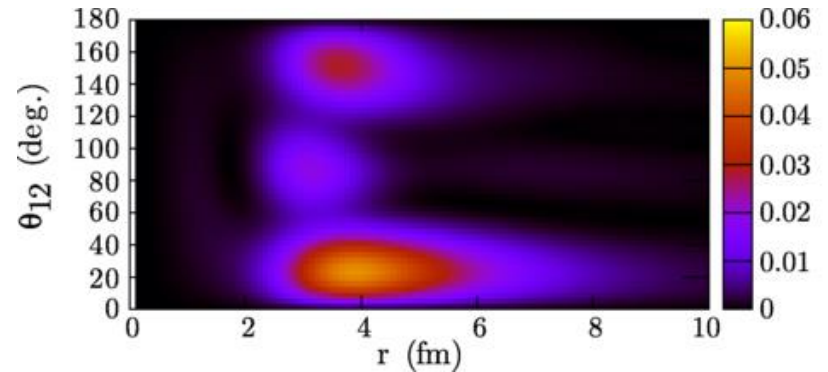
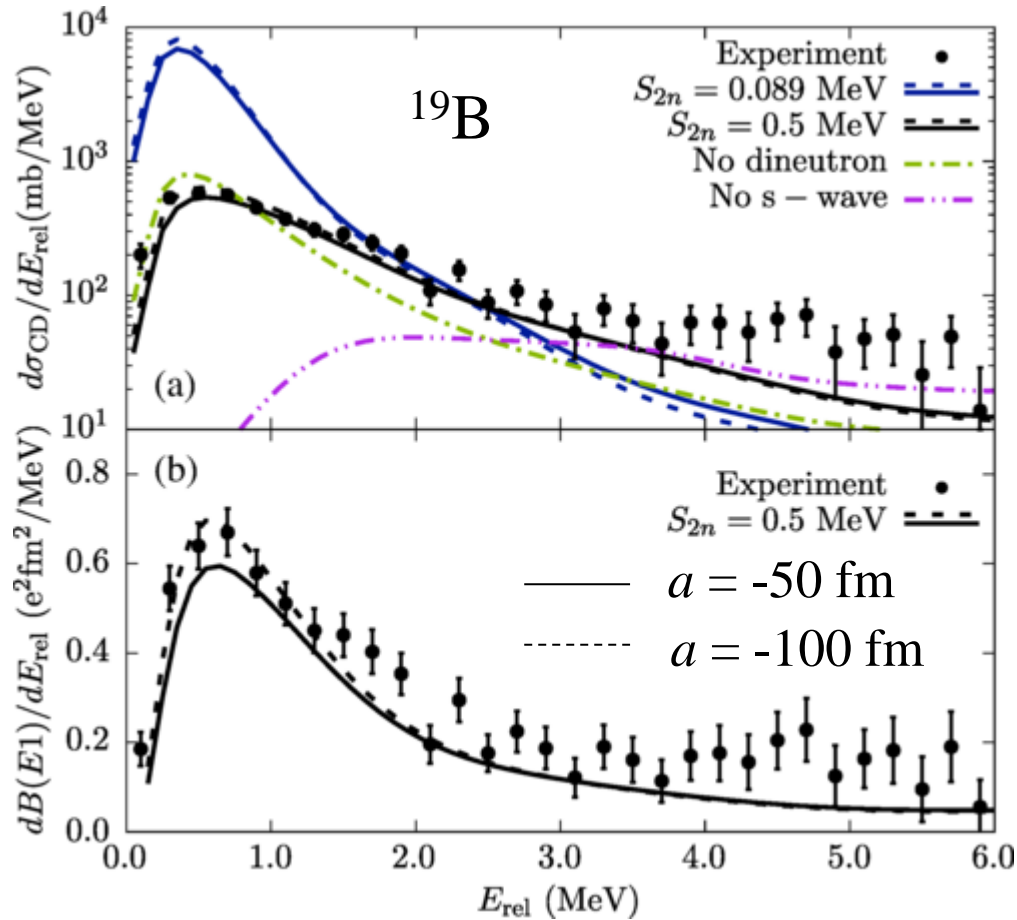
連続状態へコヒーレントに散乱されることにより局在化された波動関数 (波束) が形成

# どのようにダイニュートロンをプローブするか？



## ➤ クーロン分解

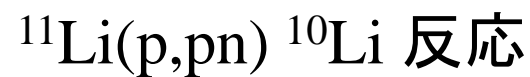
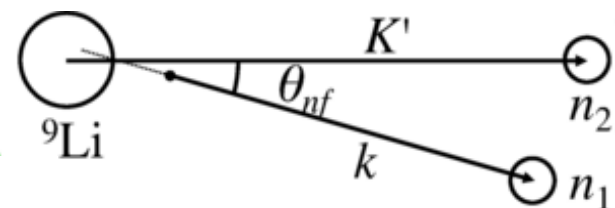
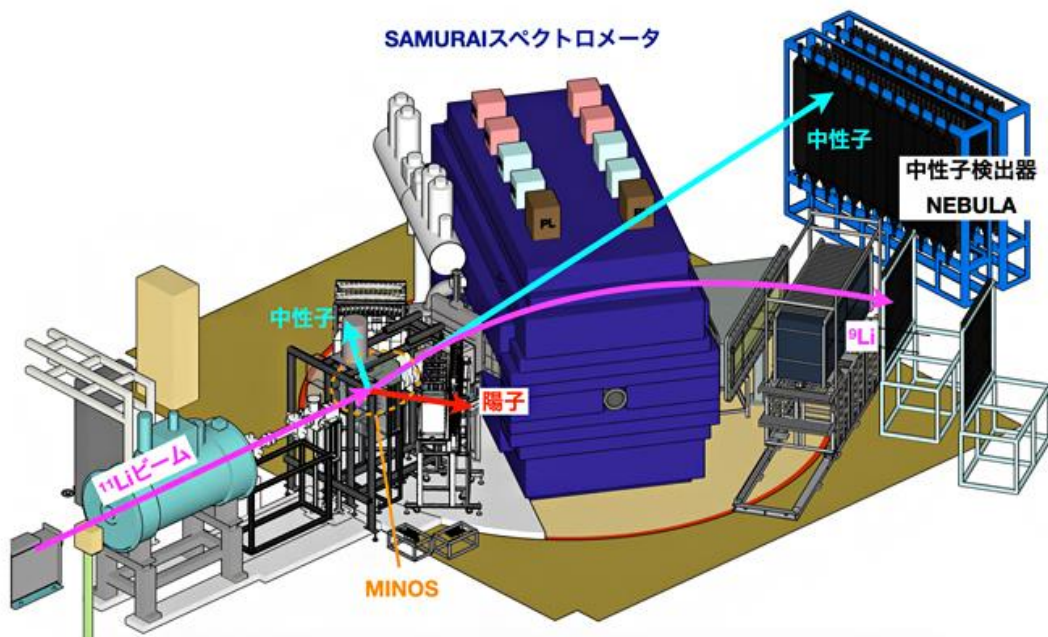
## 最近の $^{19}\text{B}$ の実験 (東工大グループ)



K.J. Cook, T. Nakamura,  
Y. Kondo, K. Hagino, et al.,  
PRL124, 212503 (2020)

# どのようにダイニュートロンをプローブするか？

## ➤ ノックアウト反応

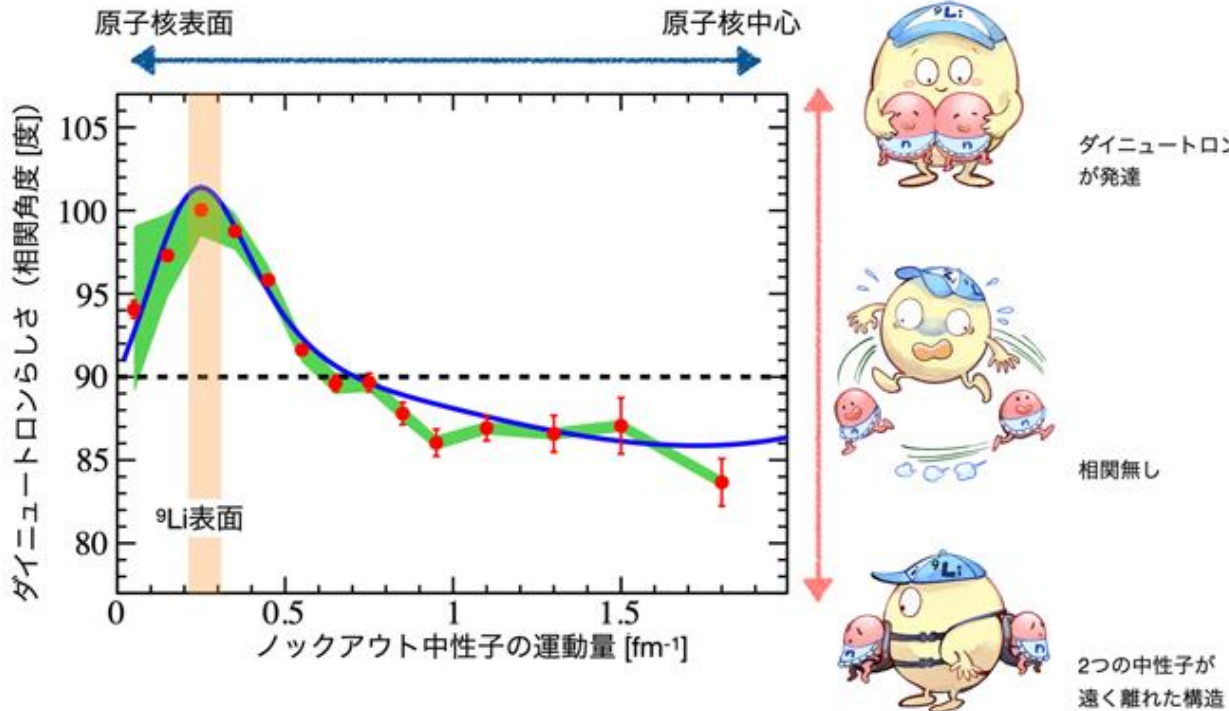
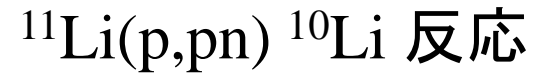
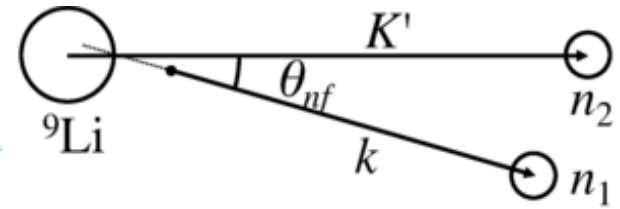
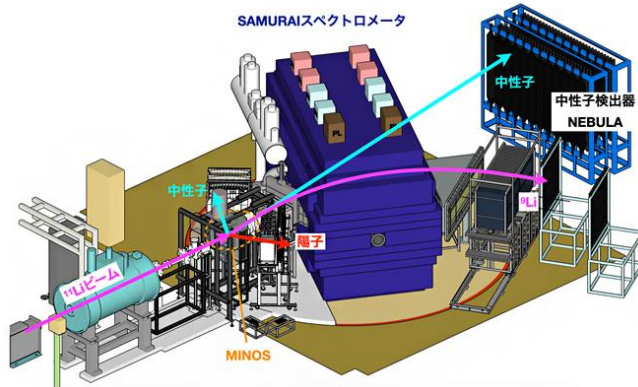


Y. Kubota et al.,  
PRL 125 ('20) 252501

# どのようにダイニュートロンをプローブするか？



## ➤ ノックアウト反応

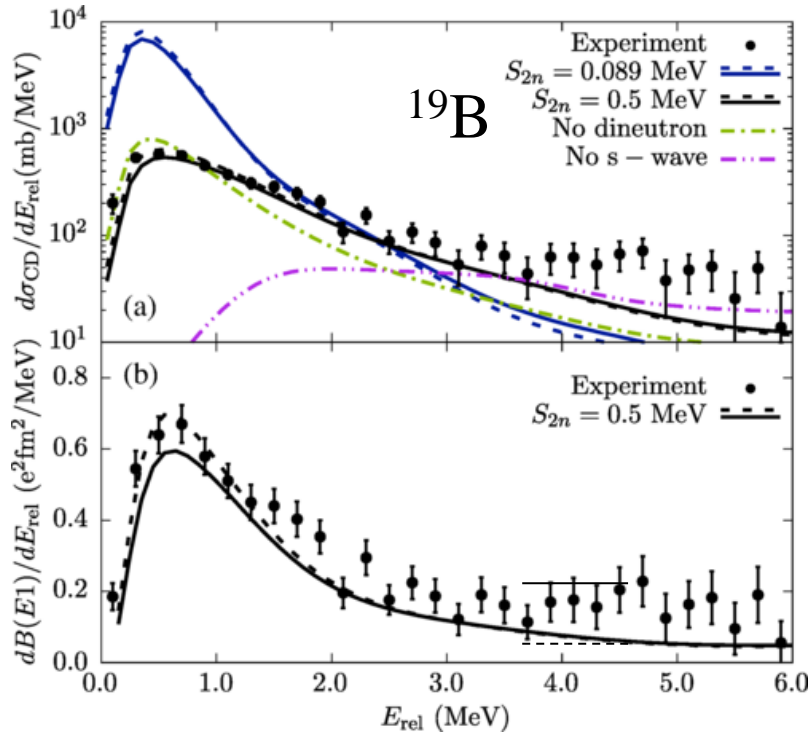


Y. Kubota et al.,  
PRL 125 ('20) 252501

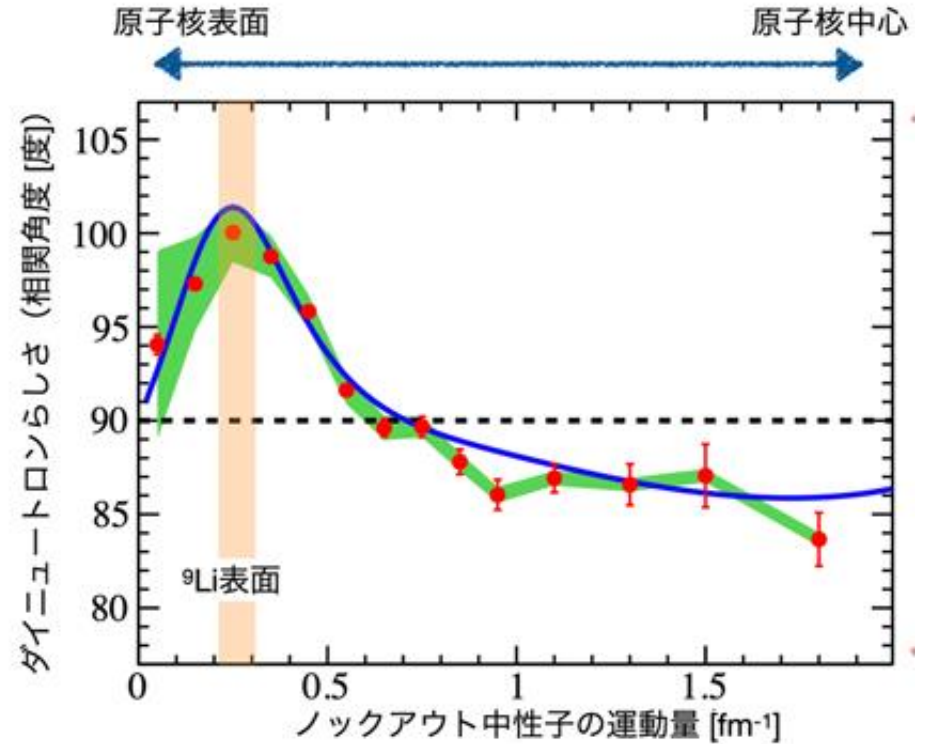
# どのようにダイニュートロンをプローブするか？

## 1. クーロン分解

### 最近の $^{19}\text{B}$ の実験



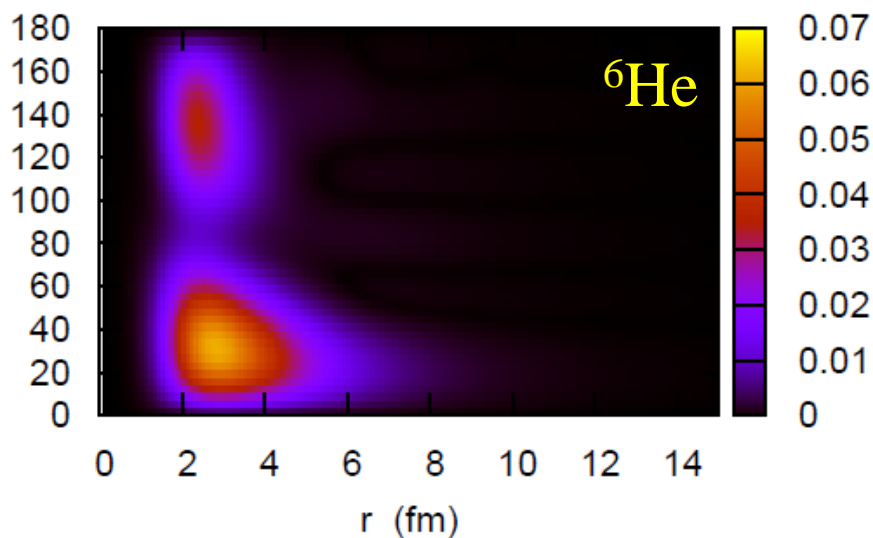
## 2. ノックアウト反応



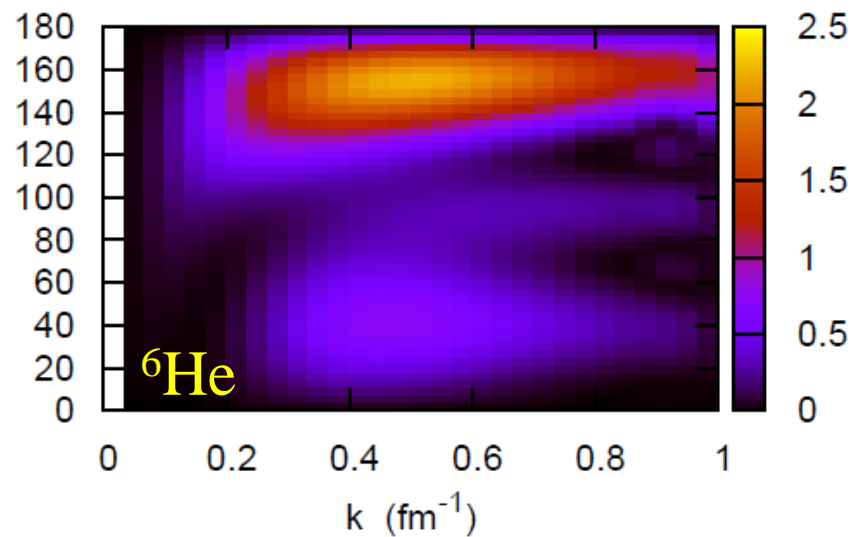
# どのようにダイニュートロンをプローブするか？

## 3. 2p 放出崩壊・2n 放出崩壊

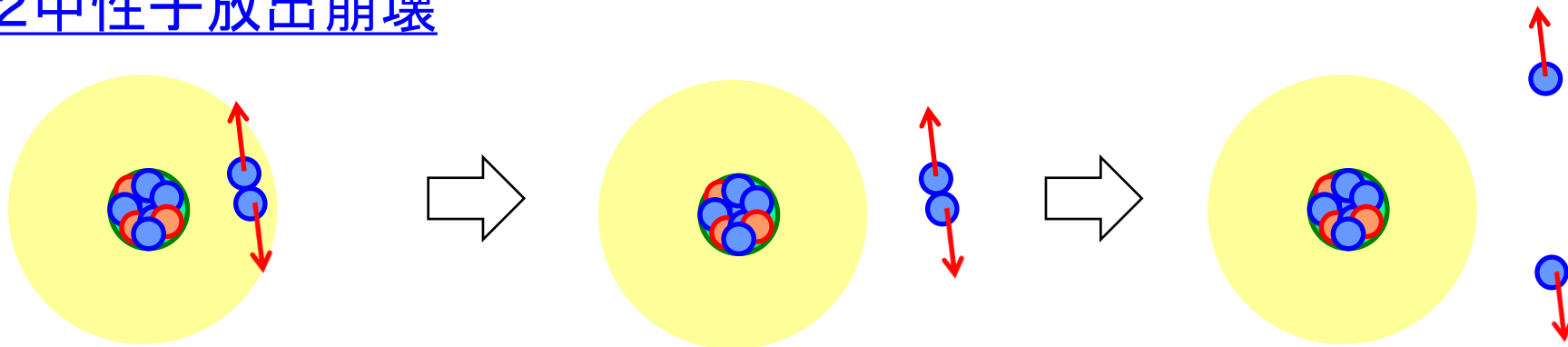
### 座標空間の分布



### 運動量空間の分布

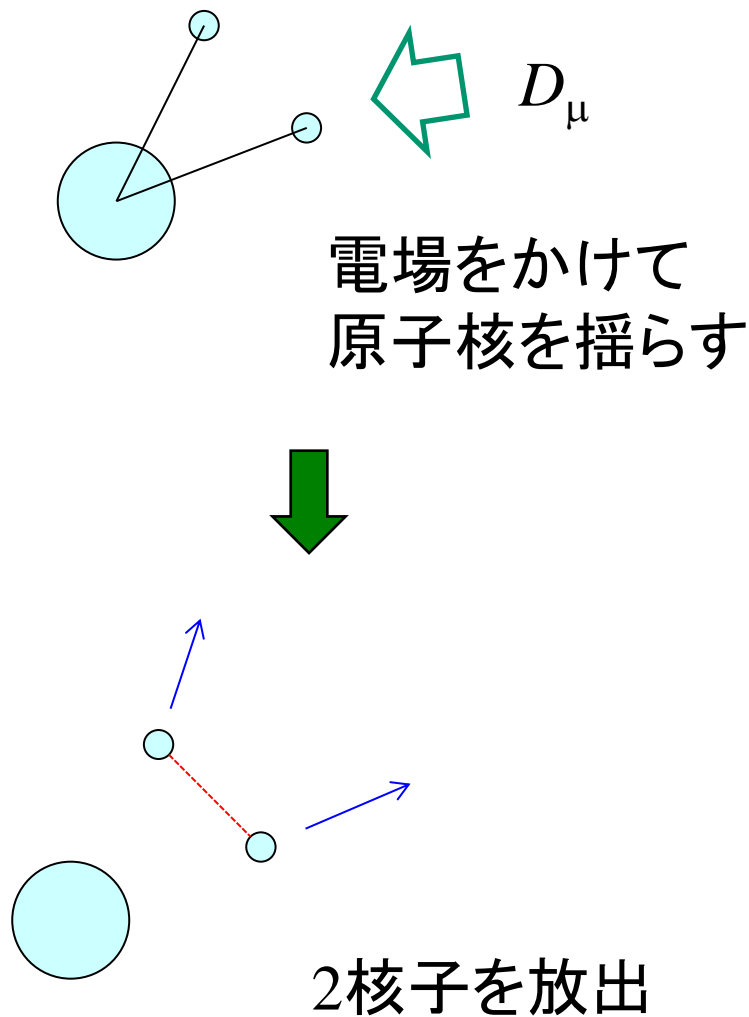


## 2中性子放出崩壊

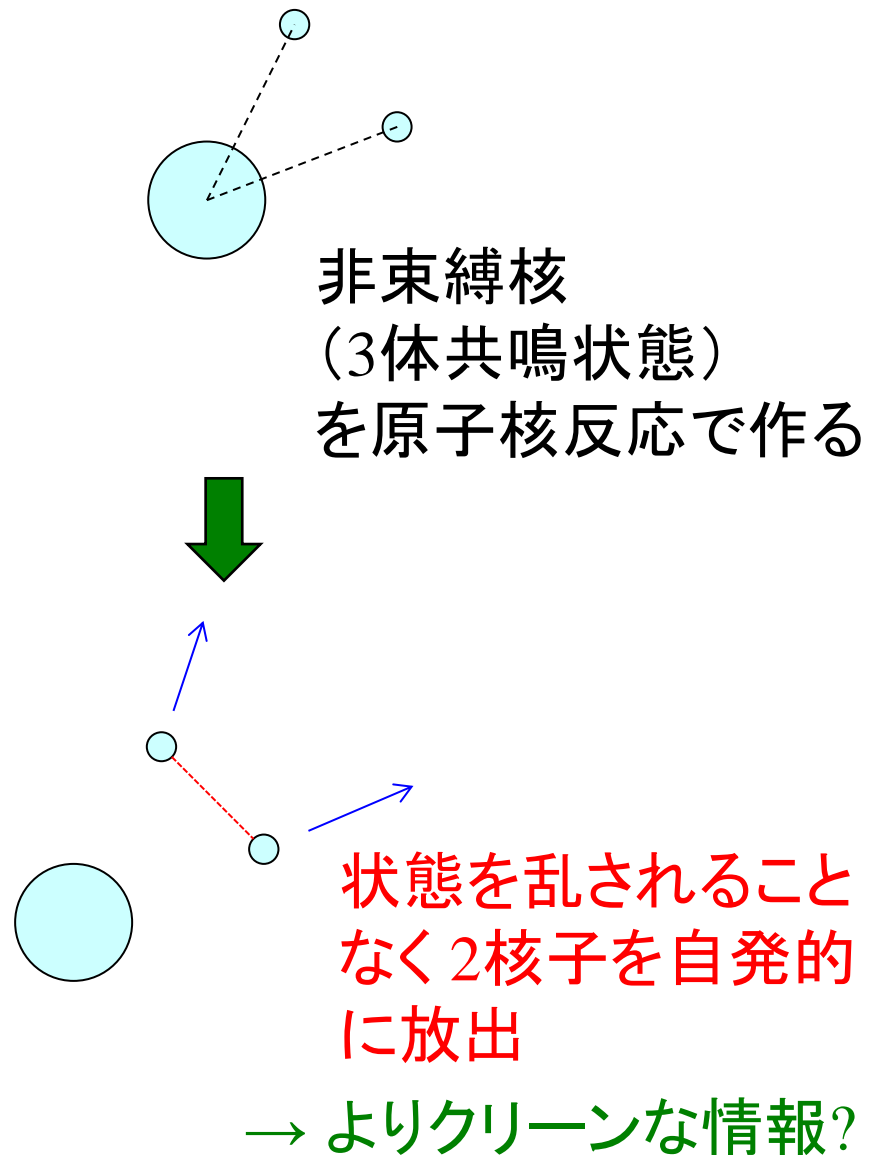


# クーロン分解と2核子放出崩壊

## クーロン分解



## 2核子放出崩壊



# 考察: 運動量空間でのダイ・ニュートロン/ダイ・プロトン相関

$$\Psi(r, r') = \alpha \Psi_{ee}(r, r') + \beta \Psi_{oo}(r, r') \rightarrow \theta_r = 0: \text{増大}$$

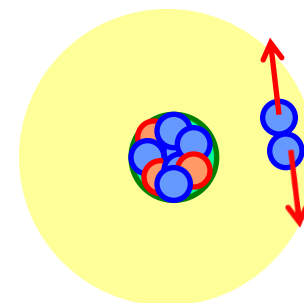
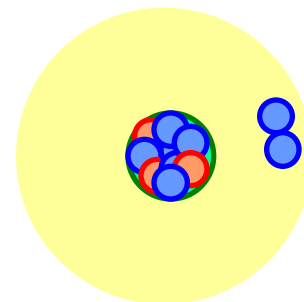
→ フーリエ変換

$$\tilde{\Psi}(k, k') = \int e^{i\mathbf{k}\cdot\mathbf{r}} e^{i\mathbf{k}'\cdot\mathbf{r}'} \Psi(r, r') dr dr'$$

$$e^{i\mathbf{k}\cdot\mathbf{r}} = \sum_l (2l+1) i^l \dots \rightarrow \begin{matrix} i^l & \cdot & i^l & = & i^{2l} & = & (-)^l \\ \uparrow & & \uparrow & & & & \\ r & & r' & & & & \end{matrix}$$

$$\tilde{\Psi}(k, k') = \alpha \tilde{\Psi}_{ee}(k, k') - \beta \tilde{\Psi}_{oo}(k, k') \rightarrow \theta_k = \pi: \text{増大}$$

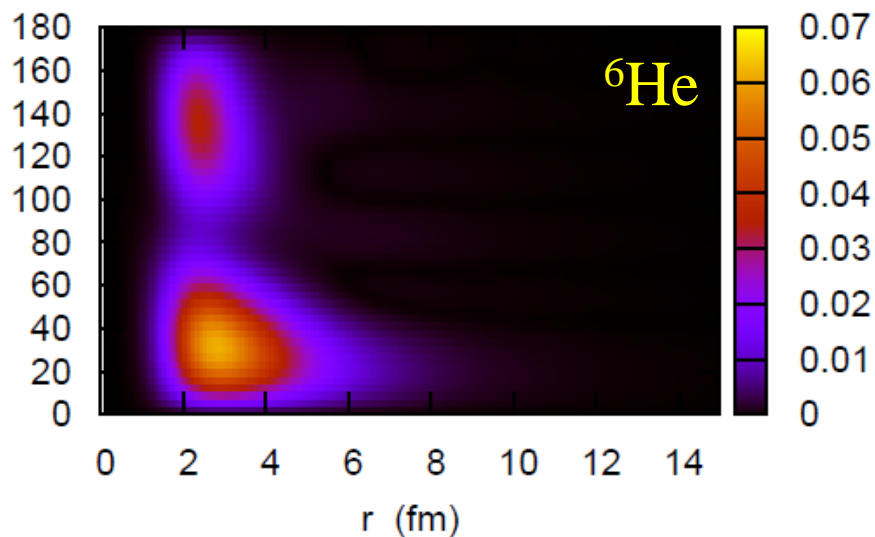
\* 不確定性関係の観点からも理解可





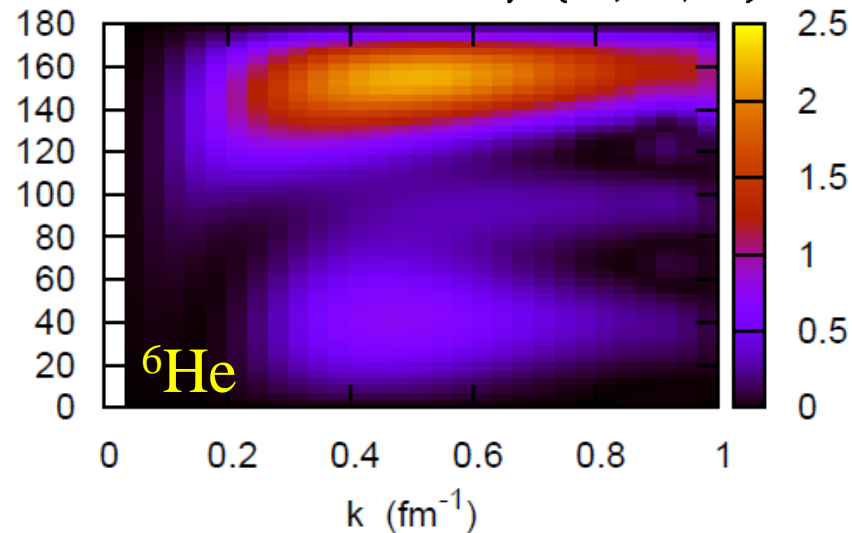
座標空間での2粒子密度:

$$8\pi^2 r^4 \sin \theta \cdot \rho(r, r, \theta)$$

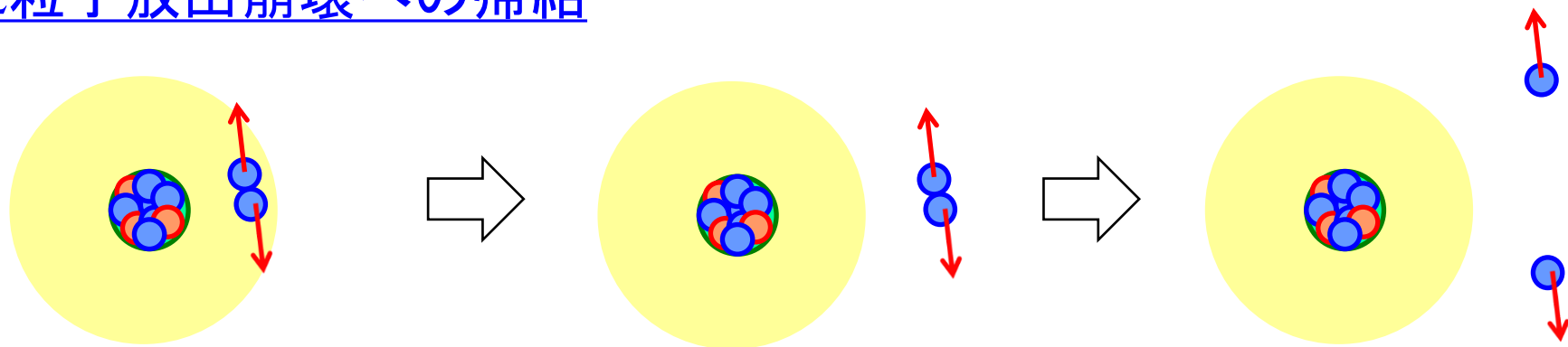


運動量空間での2粒子密度:

$$8\pi^2 k^4 \sin \theta \cdot \rho(k, k, \theta)$$

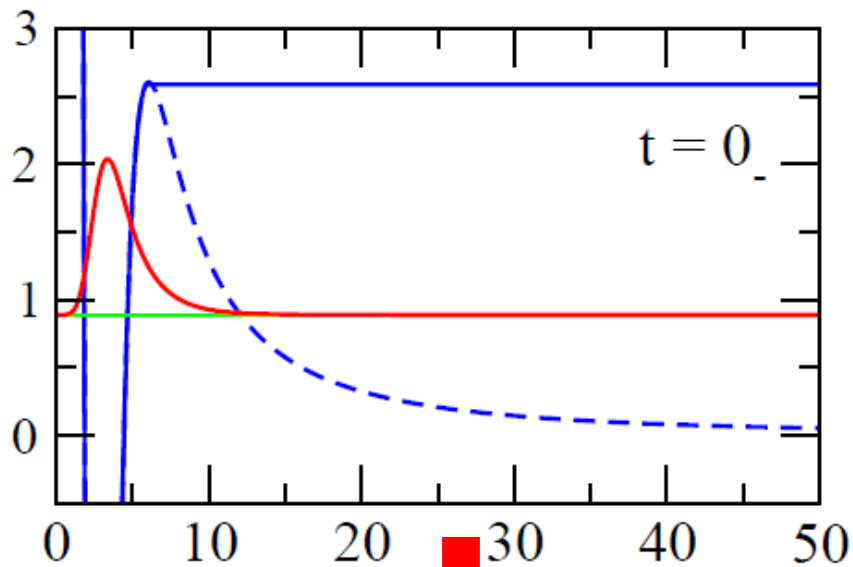


2粒子放出崩壊への帰結

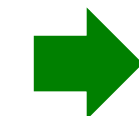
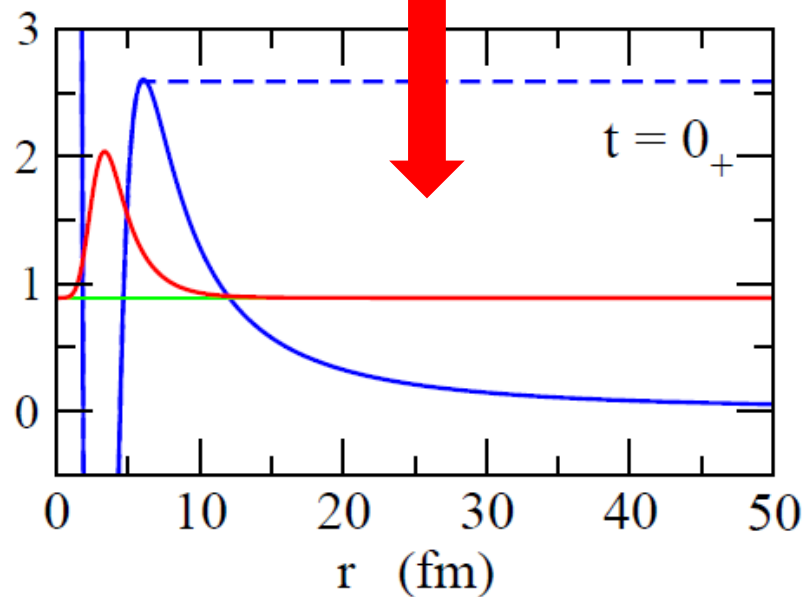


実際にこのようになっているのか? → 時間発展の方法で確かめる。

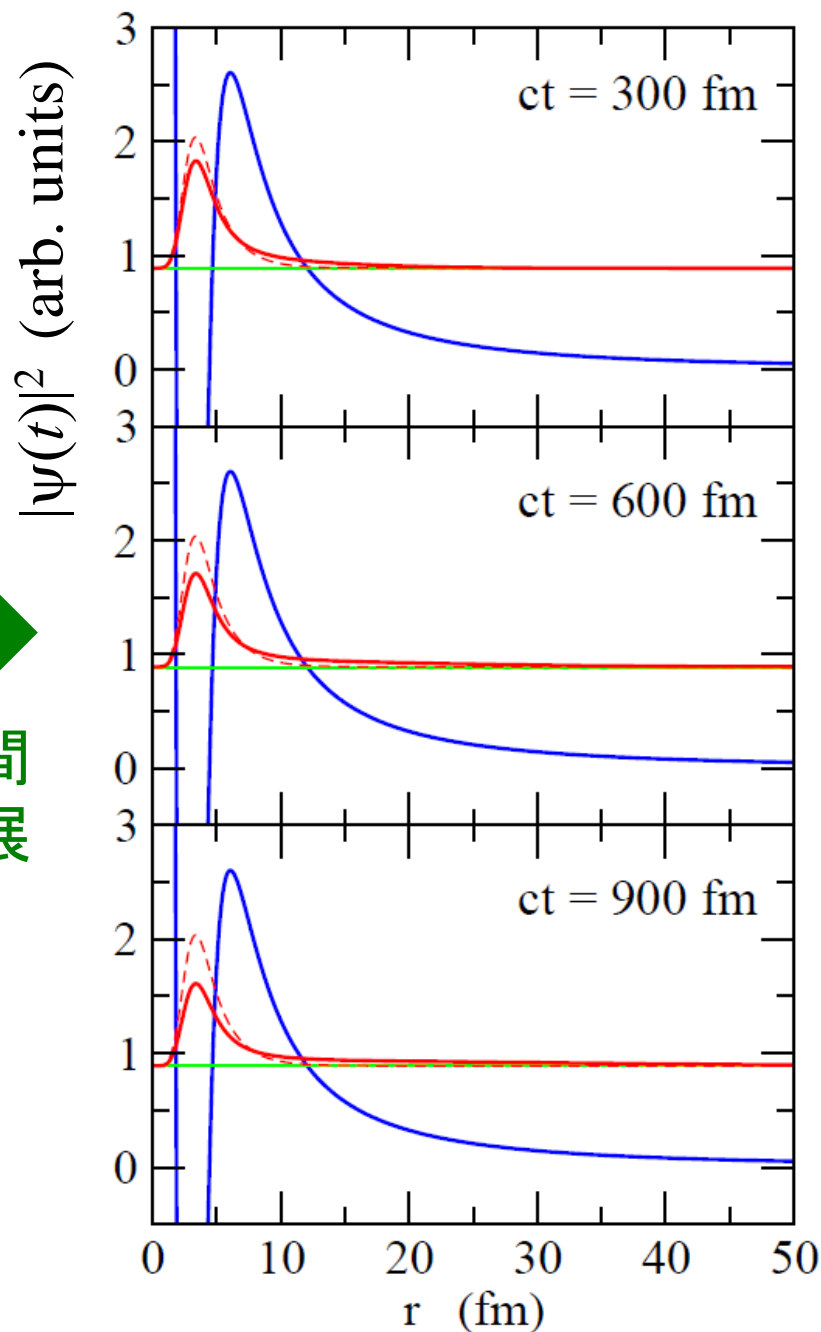
# 時間発展法による量子トンネル崩壊の記述



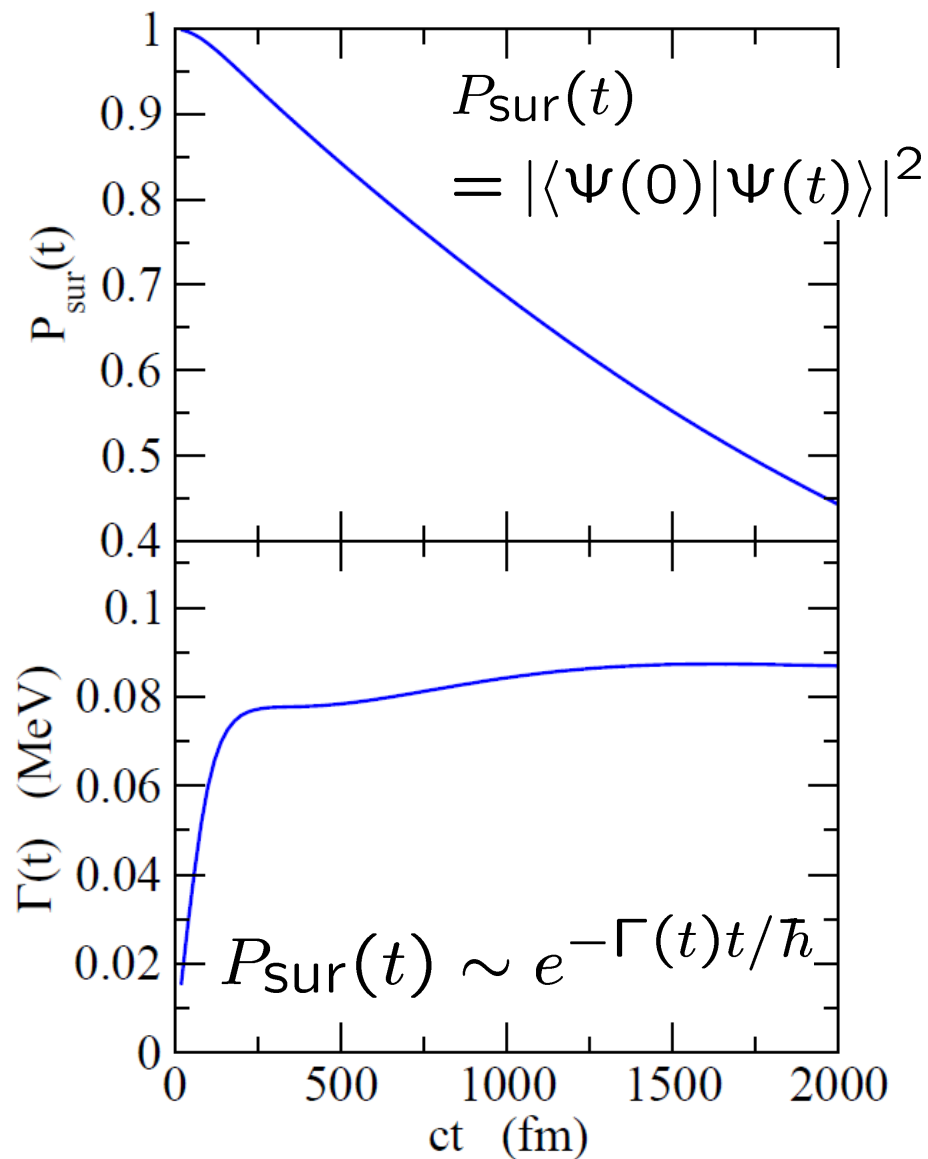
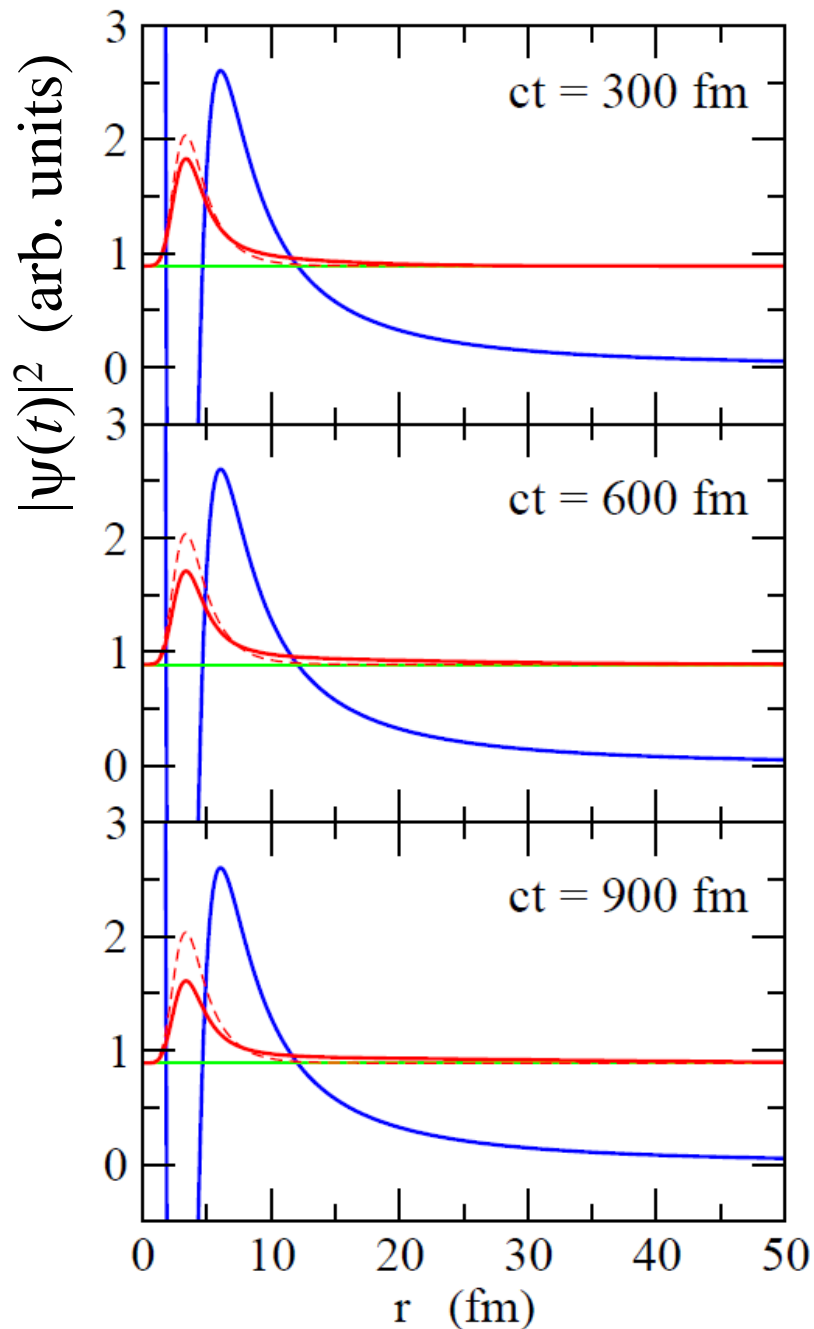
$t = 0$  にポテンシャルを変化



時間  
発展



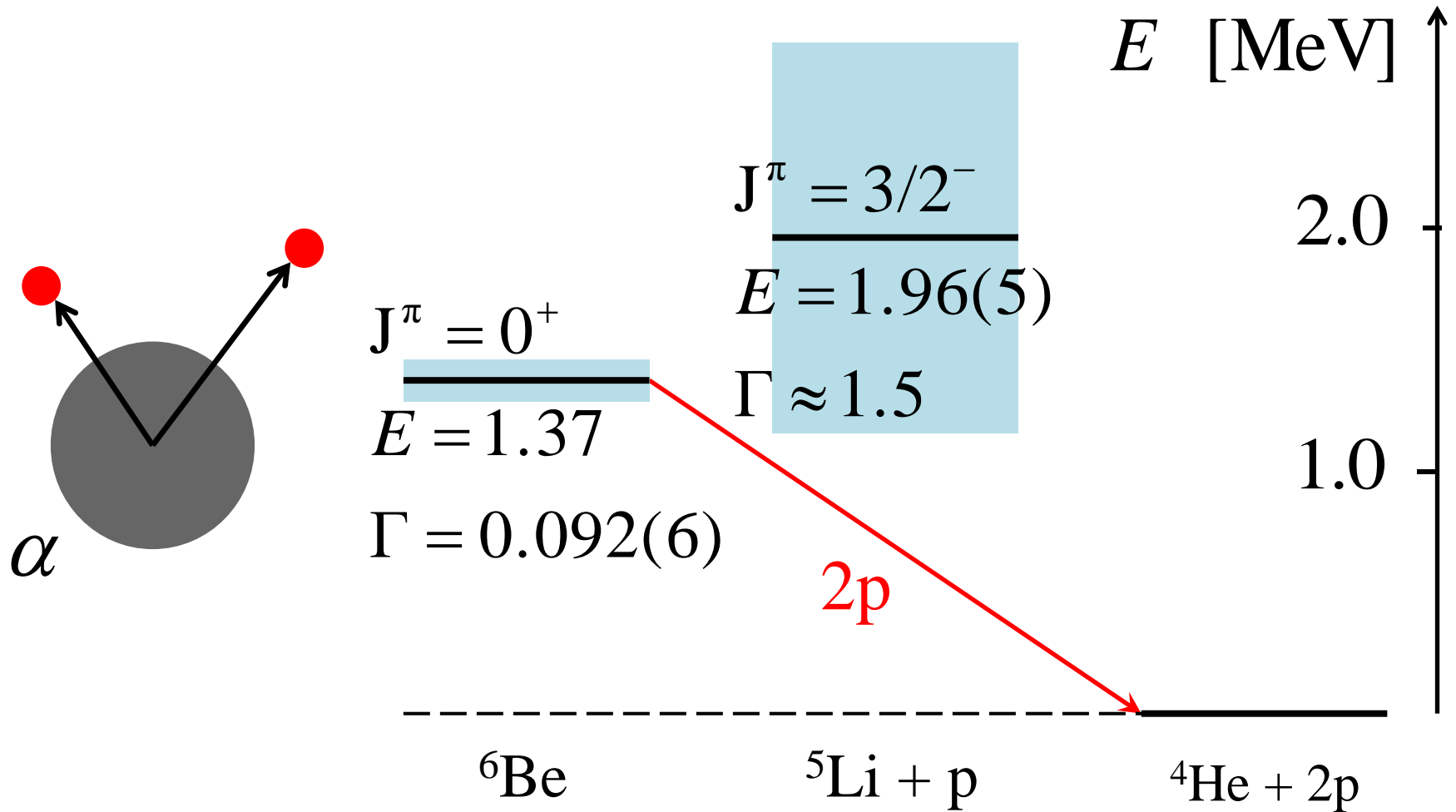
# 時間発展法による量子トンネル崩壊の記述



この方法を3体模型に適用

# ${}^6\text{Be} \rightarrow {}^4\text{He} + \text{p} + \text{p}$ 崩壊への適用

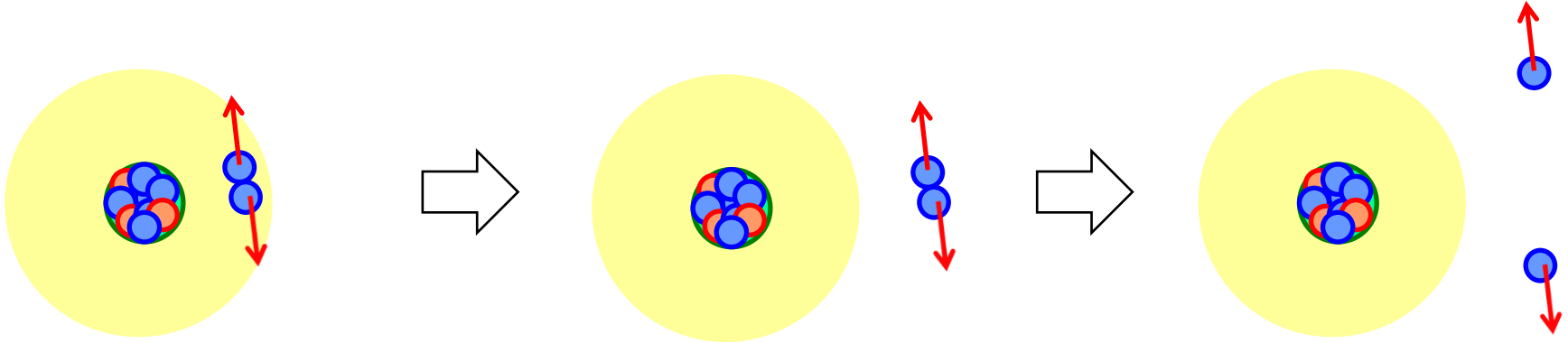
T. Oishi, K.H., and H. Sagawa, PRC90 ('14) 034303



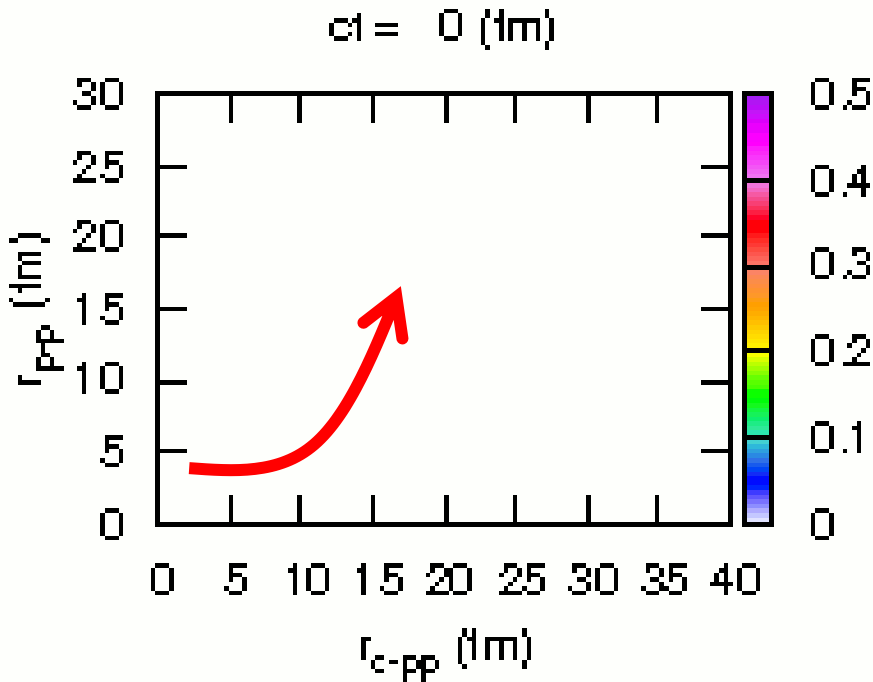
中間状態 ( ${}^5\text{Li}$ ) の幅が大きいものの、「正真正銘」の2陽子崩壊に近い状況

# ${}^6\text{Be} \rightarrow {}^4\text{He} + p + p$ 崩壊への適用

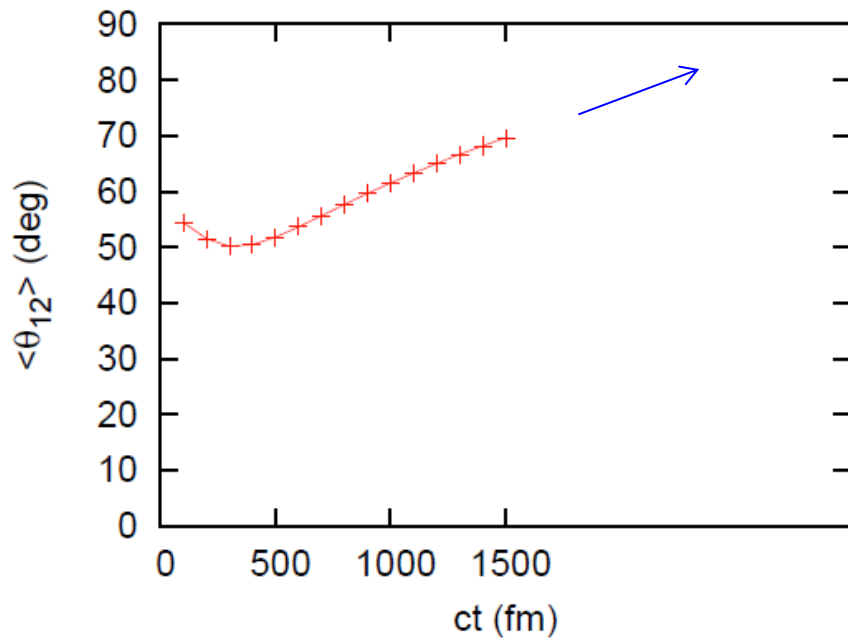
T. Oishi, K.H., and H. Sagawa, PRC90 ('14) 034303



この予想通りの2陽子放出



T. Oishi, K.H., H. Sagawa,  
PRC90 ('14) 034303

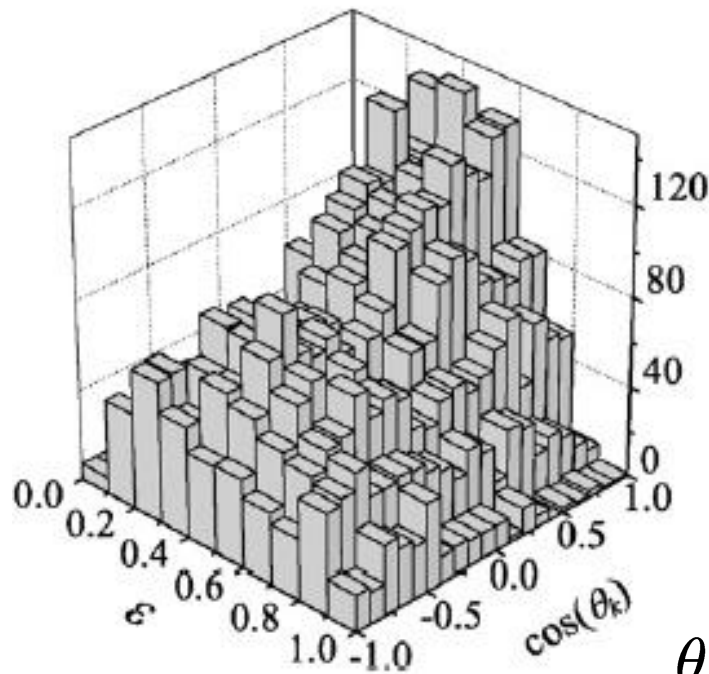


## 実験データとの比較

→より長時間の時間発展が必要

Grigorenko によると、 $R \sim 10^5$  fm  
くらいまでとらないと収束しない  
(長距離クーロン力のため)

← 計算上挑戦的課題



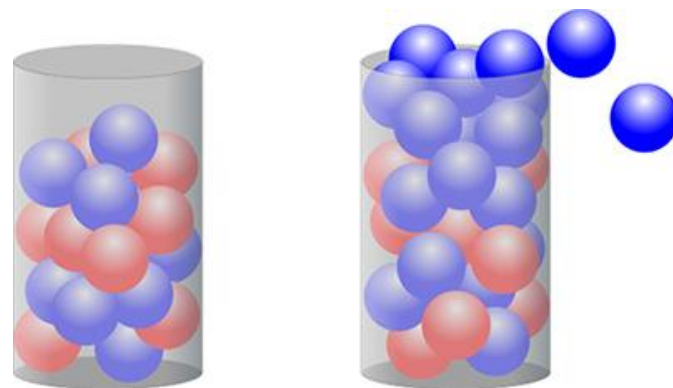
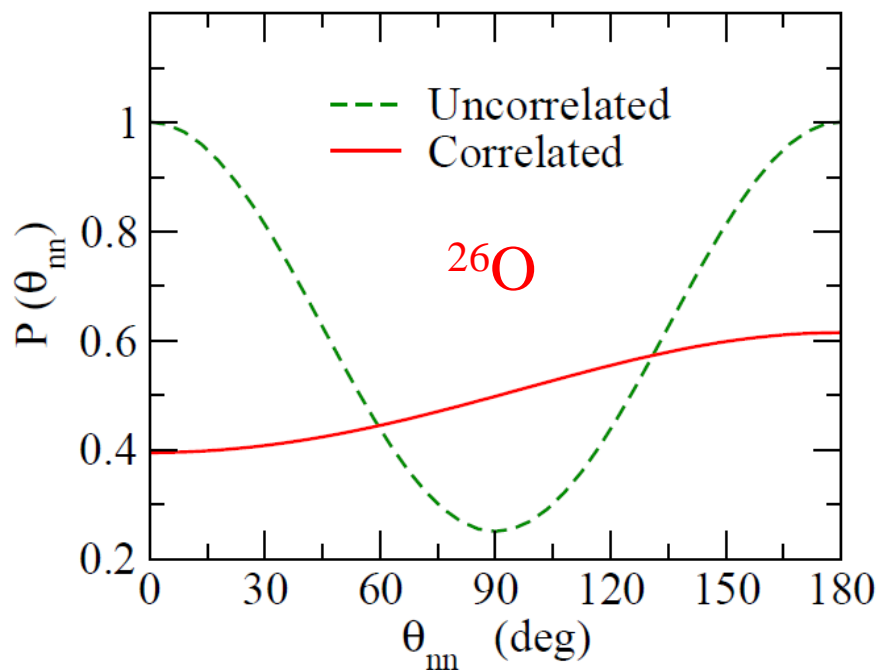
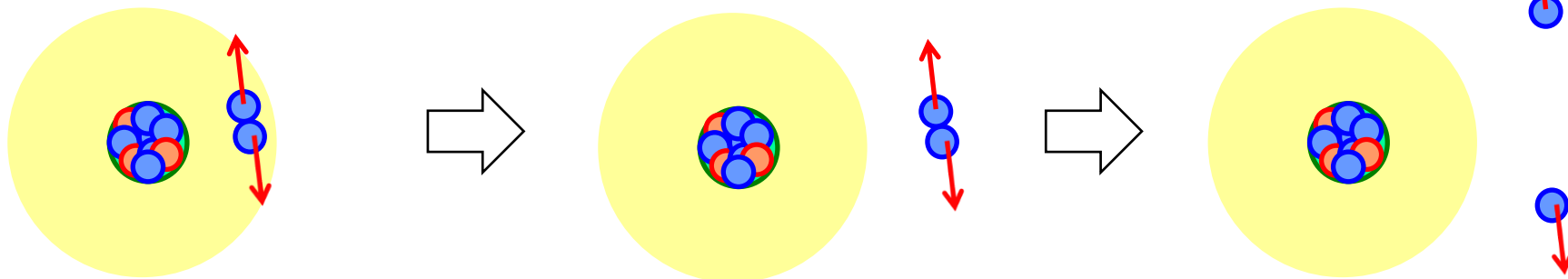
$$\theta_k \sim \pi - \theta_{12}$$

L.V. Grigorenko et al.,  
PLB677 ('09) 30

# どのようにダイニュートロンをプローブするか？

## 3. 2p 放出崩壊・2n 放出崩壊

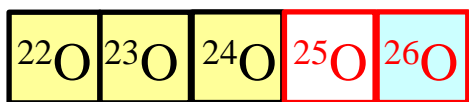
### 2中性子放出崩壊



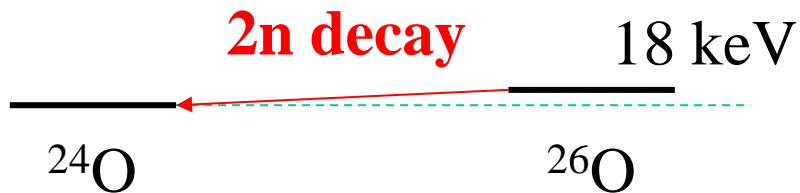
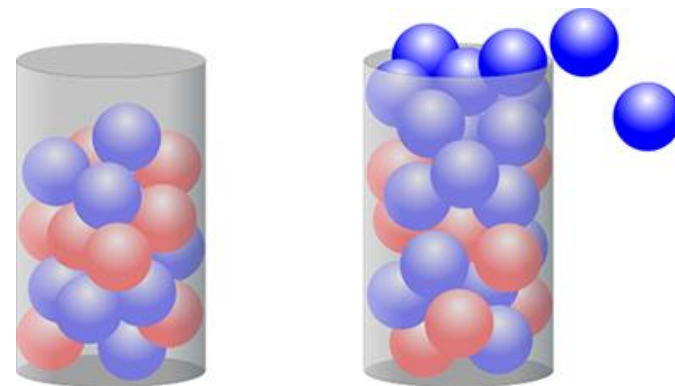
K.H. and H. Sagawa,  
PRC89 ('14) 014331;  
PRC93 ('16) 034330

# $^{26}\text{O}$ 核の2中性子放出崩壊

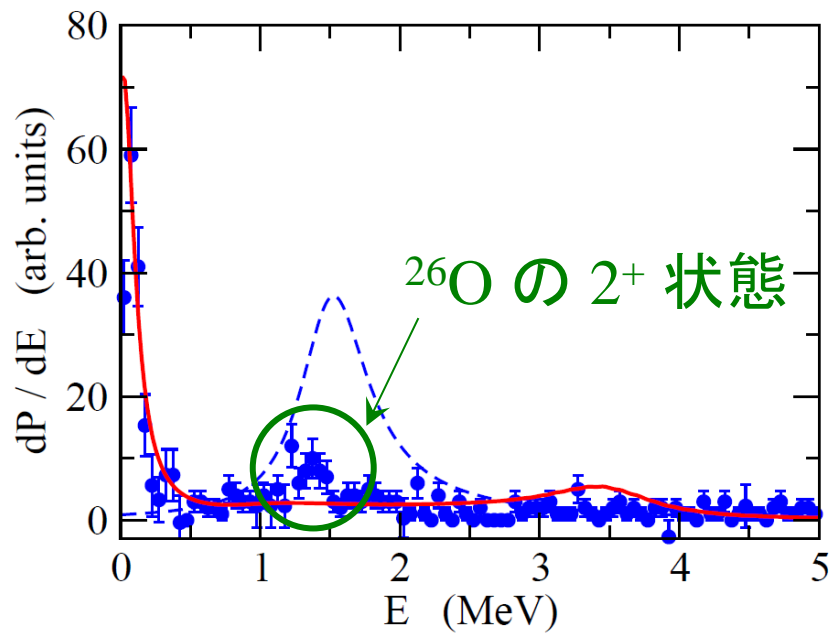
Y. Kondo et al., PRL116 ('16) 102503 (RIKEN)



749 keV  
—  
 $^{25}\text{O}$



(中性子ドリップ線)



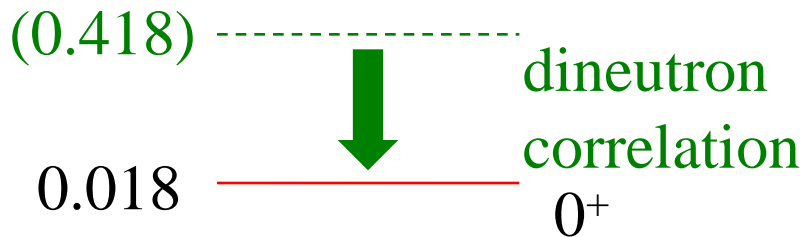
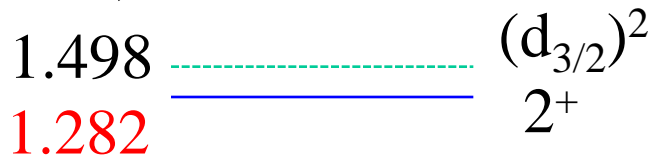


$$[jj]^{(I)} = 0^+, 2^+, 4^+, 6^+, \dots$$

6<sup>+</sup>  
4<sup>+</sup>  
2<sup>+</sup>

## 対相関の教科書的な例！

(MeV)

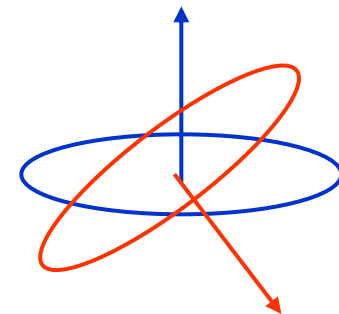
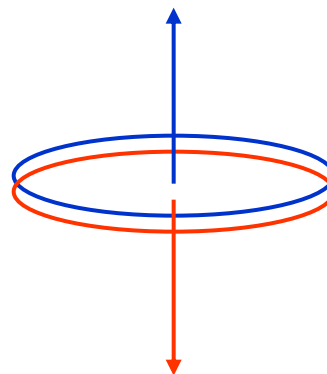


<sup>26</sup>O

対相関あり

I=0 対

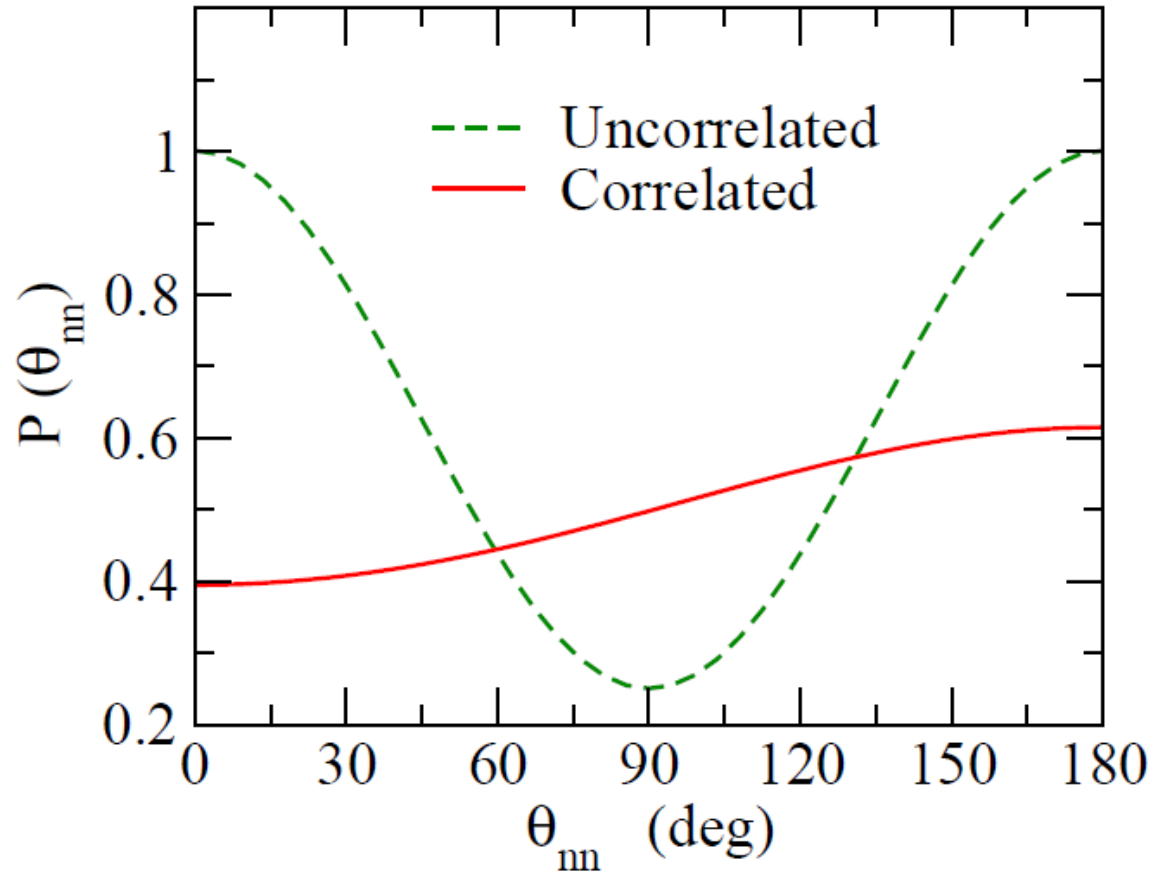
I ≠ 0 対



## 放出2中性子の角度相関

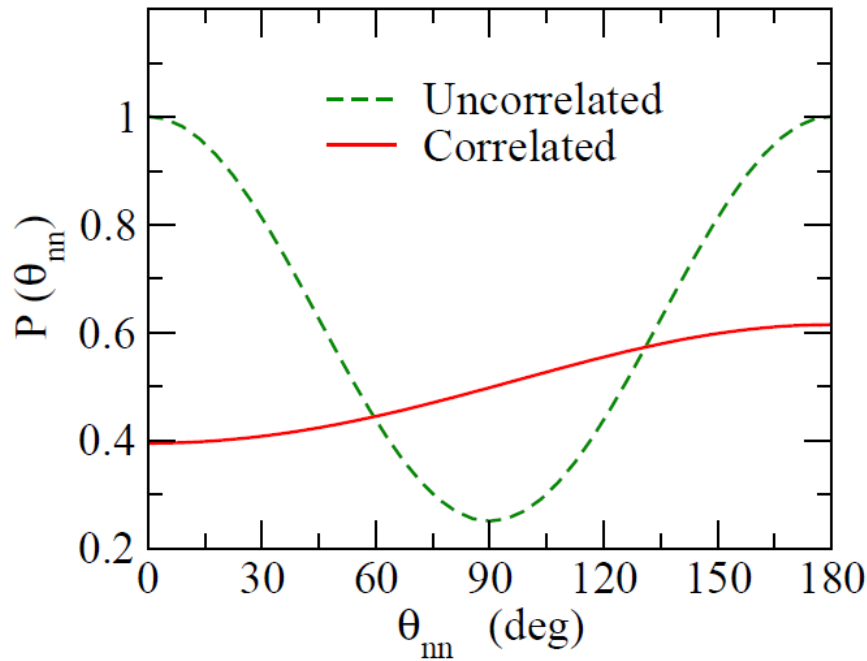
K.H. and H. Sagawa,  
PRC89 ('14) 014331;  
PRC93 ('16) 034330.

$$P(\theta) \sim |\langle \mathbf{k}_1 \mathbf{k}_2 | (1 + vG_0)^{-1} | \Phi_0 \rangle|^2$$



相関 → 逆方向 ( $\theta = 180$ 度)への放出が増大

# 放出2中性子の角度相関

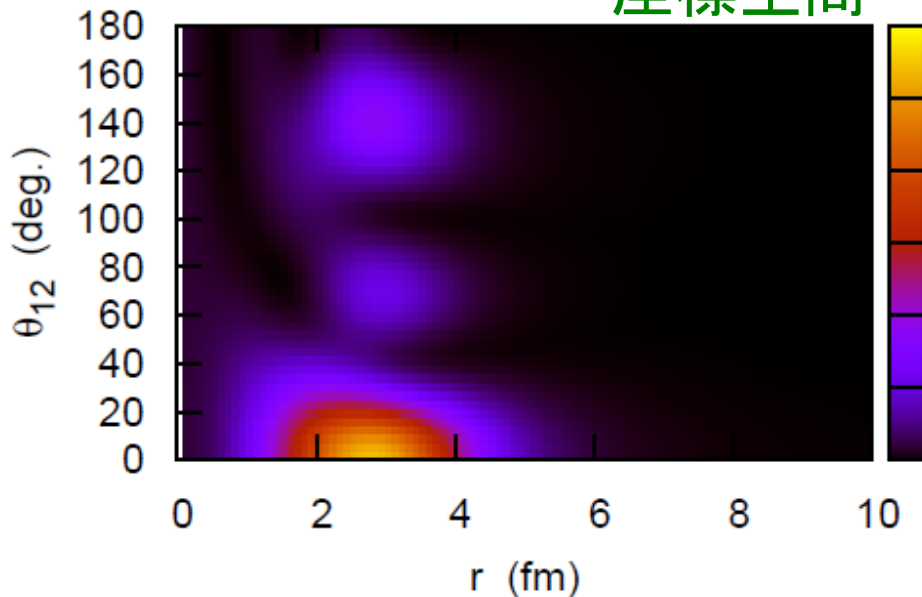


ボックス近似による  
共鳴状態の2粒子密度

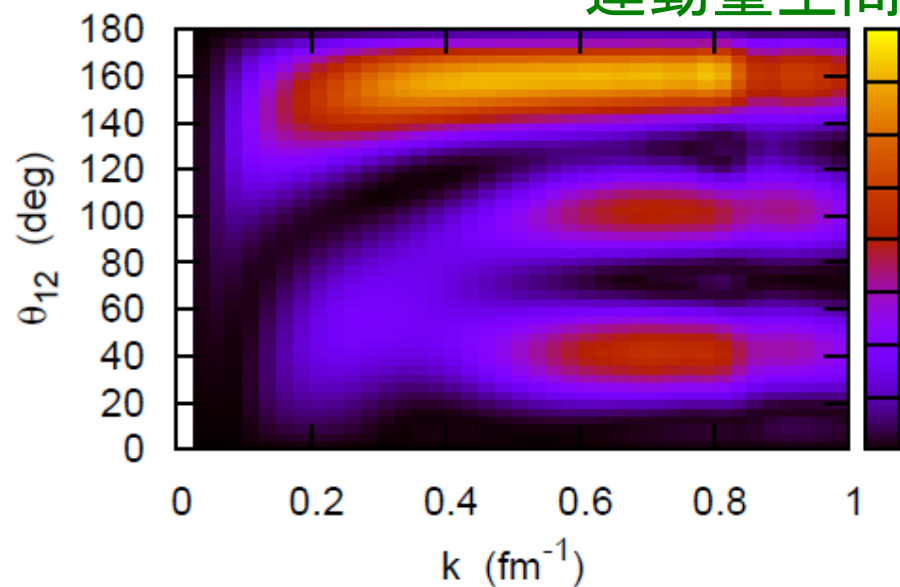
$$\rho(r, r, \theta)$$

$$8\pi^2 k^4 \sin \theta \cdot \rho(k, k, \theta)$$

座標空間

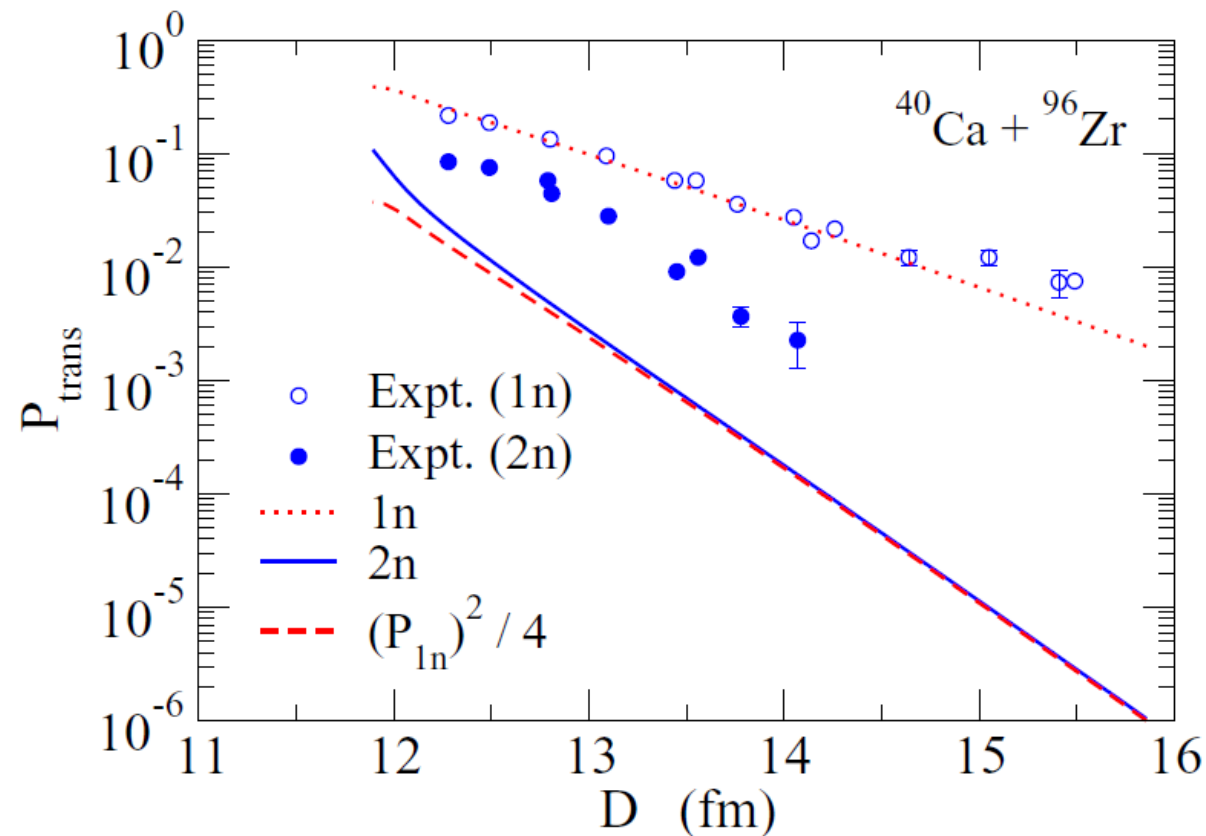


運動量空間



# どのようにダイニュートロンをプローブするか？

## 4. 対移行反応 c.f. H. Shimoyama and M. Matsuo, PRC88, 054308 (2013)



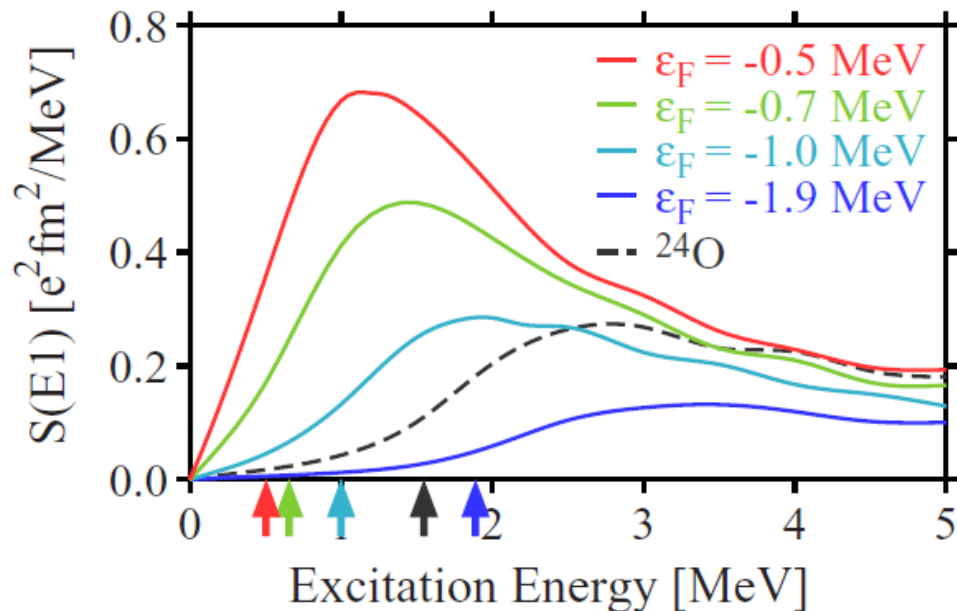
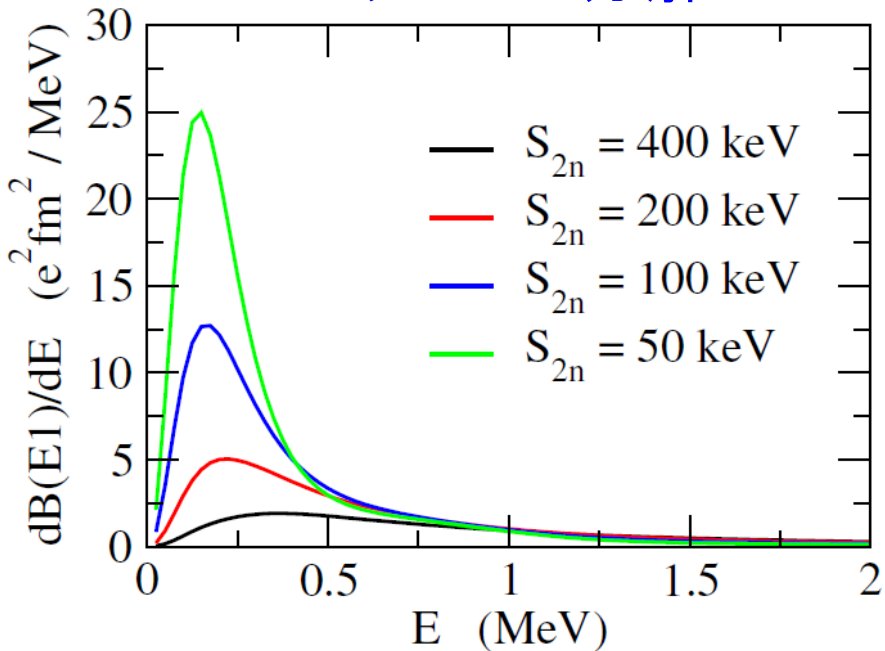
2n移行断面積の増幅  
→対相関

K.H. and G. Scamps, PRC92 ('15) 064602  
Data: L. Corradi et al., PRC84 ('11) 034603

# 理論研究の今後

➤ 球形核の芯+2中性子 → 変形核の芯+2中性子への拡張

## $^{22}\text{C}$ のクーロン分解



実験データ(中村さん)は1MeV  
くらいにピーク

cf. Zhukov らの3体計算でも我々  
と同様の結果

S.N. Ershov, J.S. Vaagen, and M.V. Zhukov, PRC86 ('12) 034331

Skyrme HF+RPA 計算

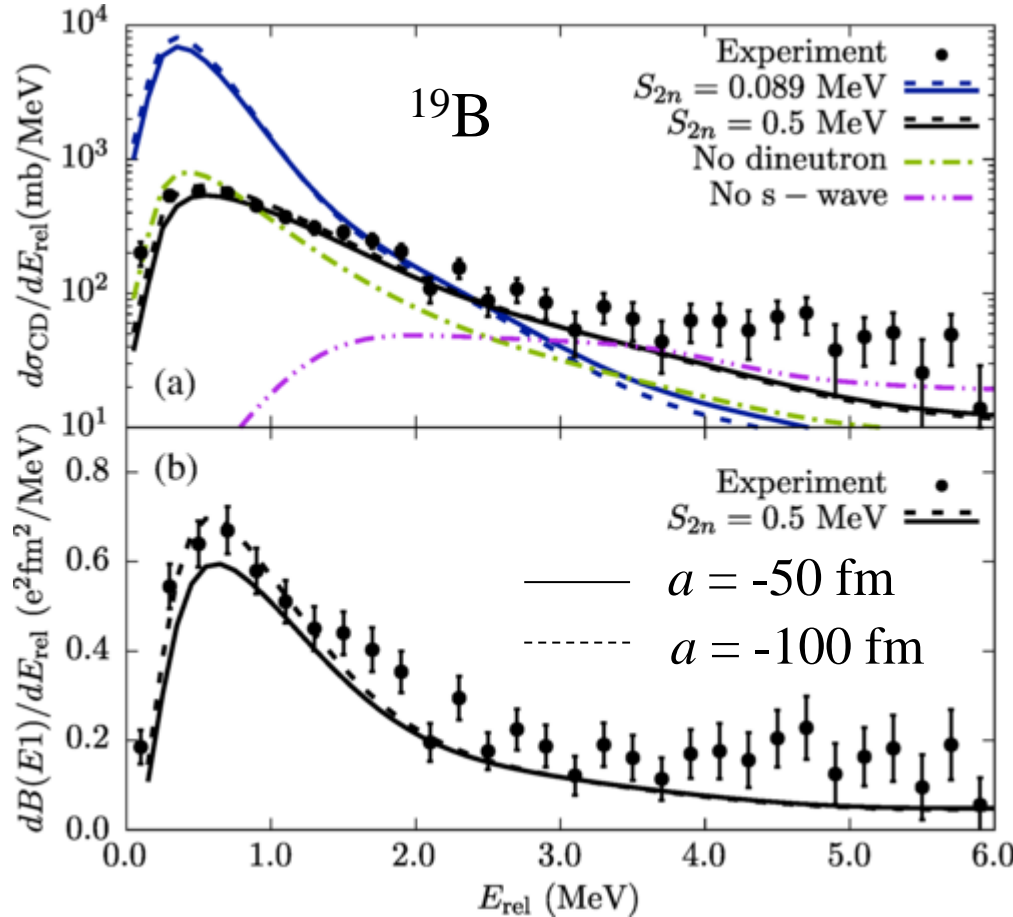
→変形の効果を示唆

(ただし、対相関は入っていない)

T. Inakura et al., PRC89 ('14)  
064316

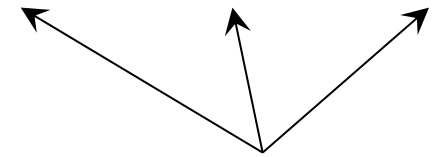
# 理論研究の今後

➤ 球形核の芯+2中性子 → 変形核の芯+2中性子への拡張



$^{19}\text{B} = ^{17}\text{B}$  (spherical) + n + n  
の3体計算

$^{15}\text{B}$ ,  $^{16}\text{B}$ ,  $^{17}\text{B}$ ,  $^{18}\text{B}$ ,  $^{19}\text{B}$ ,  $^{20}\text{B}$



非束縛

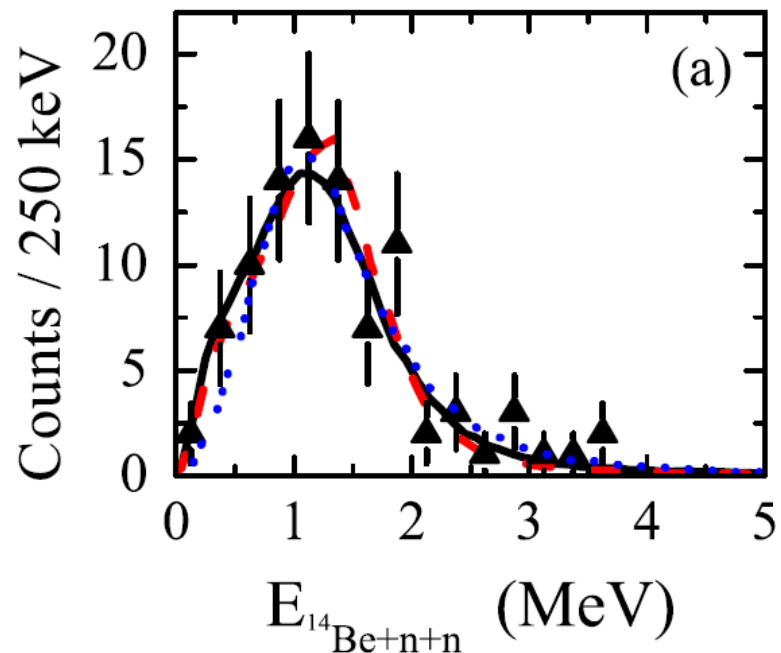
束縛核、非束縛核が  
交互に現れる

→変形効果を考えると  
自然に説明できる可能性

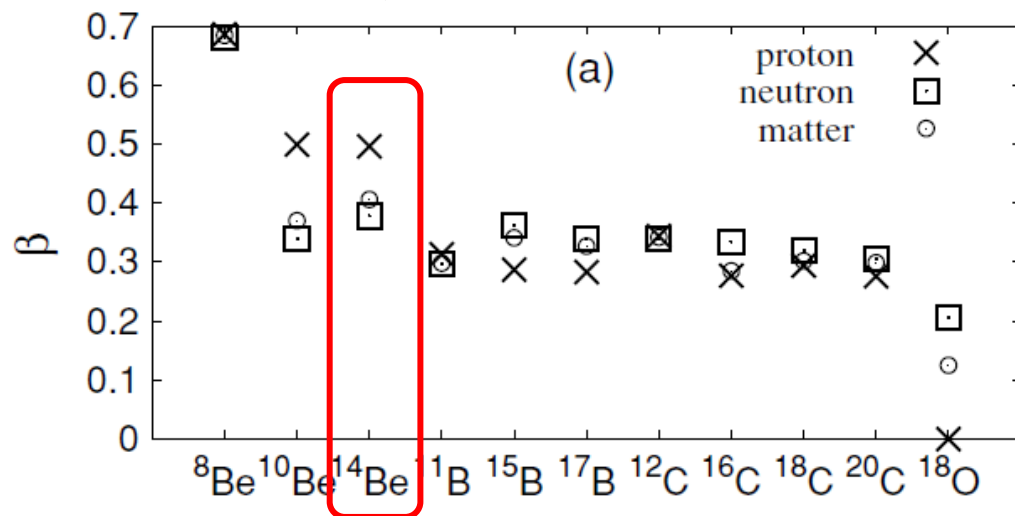
## 理論研究の今後

➤ 球形核の芯+2中性子 → 変形核の芯+2中性子への拡張

$^{16}\text{Be}$  核の2n 放出崩壊



AMD計算



Y. Kanada-En'yo and M. Kimura,  
PRC72 ('05) 064301

実験: A. Spyrou et al., PRL108 ('12) 102501

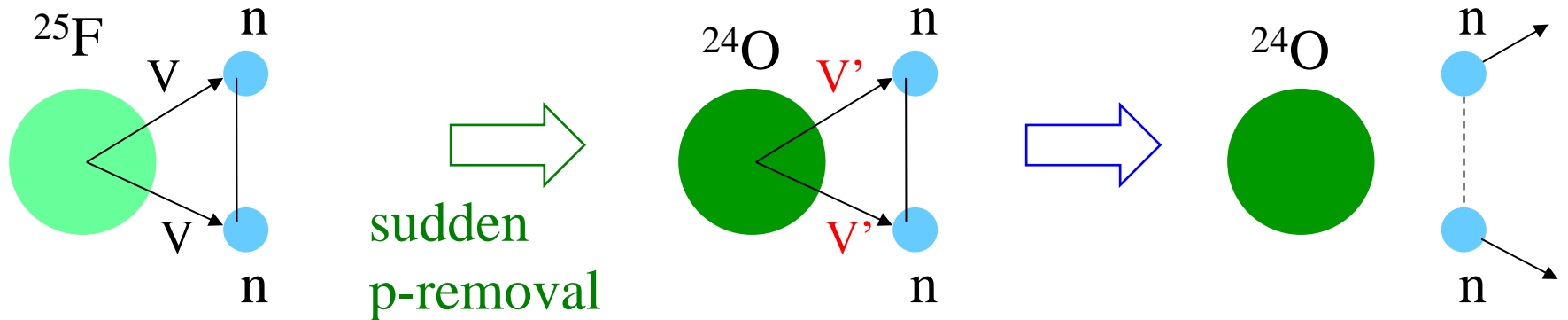
理論(3体計算): A.E. Lovell, F.M. Nunes, and I.J. Thompson,  
PRC95 ('17) 034605

# 理論研究の今後

➤ 3体模型 → 5体模型への拡張

K.H. and H. Sagawa,  
PRC89 ('14) 014331;  
PRC93 ('16) 034330

$^{26}\text{O}$  の  $2n$  放出崩壊

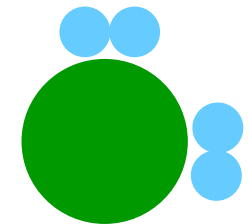


749 keV  
 $^{25}\text{O}$

近藤さん(東工大)の実験(SAMURAI)

Y. Kondo et al.

Nature620, 965 (2023)



ダブル・ダイニュートロン

